

110 太陽面諸形象の光と熱

黒點が黒く見えるといふことは其部から来る光が一般光球面に比して著しく弱い故である。黒いといふのは比較的のことであつて全然闇黒なものではない。現に水星や金星が黒點の心核の前を通過する際星の方が遙かに黒く見え其間に明確なコントラストが認められるのは其證據である。ハーシェン W. Herschel やリエイ Liais の測定では本陰影の光度は光球の平均光度に比し一〇乃至一五分の一とされ、グーイ Gouy 及びトロン Thollon の分光光度測定でも同様な結果を得て居る。斯くの如く一見眞黒と見ゆる黒點心核も意外に強い光輝を發して居るもので、ラングレン Langley は之を満月の表面光線に比し其五〇倍に達する光度ありと言つて居る。

周囲の光球面に對比した光輝の差は波長の長い光に於ては左程著しくはない。ラングレンの測定に據ると黒點心核部の熱線は光球面の半分である。又ウィルソン W. E. Wilson は此「比」を三分の一とし、フロスト E. Frost は之を更に小さく見積

つて居る。此關係は黒點輻射のエネルギー曲線を見れば更に分明であつて、アボット等が種々の波長に就いて這の「比」を檢測した結果は第三十表の通りである。

第三十表

λ	比
0.320	0.12
0.448	0.377
0.586	0.424
0.799	0.535
1.218	0.610
2.115	0.761

之は黒點部の溫度が一般光球面より低くて比較的長波の輻射に富む爲だとするか、若くは黒點の「闇黒」は上を覆うて居る瓦斯の遮光作用が此部に限つて特に顯著なるがために生じたもので、其作用が短波の光程よく利くので以上の如き結果になるのだとする外はない。恐らく這の兩因共に存するのであらう。其は黒點のスペクトルを檢すれば分るので、此點は後節に更めて詳論する筈である。

尙一つ黒點から發する光線が他の部に比し長波線に富む證據として擧ぐべき事柄がある。太陽像の光度は其中央部を標準として測つた場合、縁に近い所程弱

いのであつて、而かも短波長の光程其差が著しいのであるのに、黒點の光度に於てはさういふことが甚だ少いのみならず近傍の光球面を標準として相對光度を測ると黒點が縁に近い程反つて強光に見える。而して其が短波線程著しい。シユヰワルツシルト及びヴィリガーが前記の如き方法で第一一三頁參照(1837)の紫線に就いて測定した所に據ると中央部の○・一—○・一四に對する縁邊の○・三〇—○・四〇といふ結果を示して居る。斯くの如き事實は恐らく長波線に對する太陽雰圍氣の擴散作用が比較的薄弱であるための結果であらう。而して其は亦太陽黒點が長波線に富むといふ結論に裏書するものと見られる。

黒點のスペクトルは第二五五頁に掲げた通り(第七十七圖)大體に於て光球のスペクトルの如く連續彩帶の上に無數の吸收闇線が横斷して居り、闇線の位置も光球のと略同じで之に相當する元素も共通なものが多い。即ち兩側に並んで見える光球スペクトルを全體に薄くしたやうなものである。然し仔細に觀察すると特異な點が少からずある。以下逐次其概要を記し且其意義を探求して見よう。第一地の薄く見えるのは主として無數の細線と闇帶の密集せるものである。

黒點スペクトルの闇帶に就いては既に一八六九年^(二七)セツキが詳述して居る。次いでヤングが其構造を論じ、紫色側に於て明確な分界線を有し赤色側でぼやけて居る點を指摘してから漸く一般の注目をひき始めたのであつて、之等の闇線が無數の細線の密集であることは既に一八八一年グリニツチ天文臺に於て發見されたのであるが、其後^(二八)コーチーやフォーゲルが之を確むるに及んで研究家の的となつたのである。次いでファウラー、ミツチエルの研究を経て最近ウィルソン山天文臺に於ける大仕掛な觀測に依つて更に著しい開展をなすに至つた。

之等闇細帶や闇線は如何にして生ずるかといふに、其れは黒點の上を覆ふ瓦斯の吸収に基き、之が黒點の闇く見える原因であることは既にヤングの論斷せるところでファウラー其他同説の大家も少くなかつたのであるが、一層根本に突込んだ實驗的研究に依つて其性體に光明を投じたのはウィルソン山天文臺のバサデナ實驗所に於けるヘール一派の功績に歸さねばならない。ヘール等の研究に立入る前に全然之等と反對の意見を有する一派の門を叩いて見度い。其は「黒い」といふことを「格段な高温度に歸する考である。エバーシエツド及びマウンダーは

嘗て黒點の部に於ては特別に温度が高いために一般光球面に於て考へらるゝ如き炭素其他熔解點高き物質の凝結が起ることなく氣體のまゝ存して居る筈であり従つて輻射能が弱くて黒く見えるだらうといふ説を唱へた。けれども瓦斯體でも温度が高くて可なりの厚みがあれば十分の發光能を有することが出来るものであるから此説は取るに足らない。エバーシエツドは黒點瓦斯の高温度にある結果エネルギー曲線の極大が遙か紫外部に偏して居るといふ事に「黒さ」の因由を求めるとも出来ると思へたけれども、温度の增高は紫外部のみならず同時に赤色光の増加をも伴ふものだから、斯様な考で「黒さ」の説明をなすことは出来ない。又ウィルソンやフィツツゲラルド Fitzgerald の如く黒點の「黒さ」を高熱のため瓦斯の對流運動が格段に強烈で内部からの光を散亂せしむること夥しき結果として、深所からの光が外に出ないので、浅い所従つて低温の層が見えて居るのだとする説もあるが、光の屈折、反射、吸收等を今少し數量的に考察した上の議論でなくば斯くの如き説は何等の價值がない。

順序は轉倒するが、黒點の黒く見える原因に關する學說の歴史的管見に暫らく

筆を向ける。すつと古くガリレオ、シャイナー等が黒點を浮雲や鑛渣様の物とし、之等の作用で光が遮蔽される結果黒く見えるのだと考へたのは近代的の物理學的考察や太陽の物理的狀態に關する我々の智識と全然相容れぬ妄見であつたのは言ふ迄もない。次いで現はれたのはダーラム Derham (1703-1711) の噴火山説で、噴出物に依つて光が遮蔽されるといふのである。此説では噴出物が消散し吐焰を主とする時期に入ると黒點が亡くなつて白斑が現はれるとして居る。之と似寄つたのはラランド Lalande の「雲層を貫いて凸出せる山岳様のもの」とする説である。之等は何れも一つのアナロジー以上に出ない推論で確固たる論據のない學說たるは云ふまでもない。次いで現はれたハーシェル W. Herschel の「太陽面を形成するざらざらした雲狀物質の層の破れた穴から内部の闇黒な部分が見えるのだ」とする説及び其子ジェー・ハーシエルの龍卷説は近代的物理學の論究法に一步を進めたものとして特筆に値するものと思ふ。更に近代の學說に關しては後章太陽の理論に於て再び筆を起すこととしよう。

却説、アポットやバーマーの觀測したやうに黒點輻射のエネルギー曲線に於け

る「極大」が光球のより遙かに赤色側にずれて居ることや、スペクトルに現はれる顯著な闇線、闇帯などに據つて見ると黒點を形成せる瓦斯の吸収作用が顯著であることと其比較的低温度に在るものであることは争はれないことであるが、更に此假設を確めるには光球面のスペクトルに對する黒點のスペクトルの相異點に着目することが必要である。其は前記の外

- 一、闇線の「強さ」が或ものは増し、或ものは減ずること、
 - 二、闇線の幅が増すものあること、
 - 三、闇線の中央に反彩輝線を現はすものあること、
 - 四、線が二つ又は三つに分裂するものあること、
 - 五、片側に薄黒い縁が添附するものあること、
 - 六、普通に輝線として出るヘリウムのD₃線が往々闇線として現はれること、
- 等である。最も變化の多いのは

鐵、タイタニウム、クローム、ニッケル、ヴァナヂウム、カルシウム、マンガン、コバルト、ナトリウム、シリコン、イツトリウム、ランサニウム、マグネシウム、水素、ヘリウム、銅、

スカンヂウム

の線であるが、同じ線でも場合によつては一般光球に比し顯著な相違を示すことと格別異らぬこととある。又黒點に限つて現はれ一般光球には現はれぬ線がある。

先づ線の強さの差異に就いて述べると、ヘール等の研究に據れば、ローランドのスペクトル線表中の40%乃至0.70%の線でカルシウムは殆ど全部、又スカンヂウム、マンガン、クローム、タイタニウム、ヴァナヂウム及びコバルトは大半、黒點スペクトルの方が強く現はれ、之に反しシリコン、水素は全部、又ニッケルは過半、線が弱く出る。此原因を確めるためヘール等は先づ黒點で特に強く出る線が實驗室内で光源の温度を低下した場合に強くなるか弱くなるかの試験を行つて見たのである。其はアーク電流を二アンペアから三〇アンペア迄の間で増減してタイタニウム、ヴァナヂウム、クローム、マンガンのスペクトル線の強さの變化を検べたもので、其結果左表の如く一般光球から黒點に移るときの變化と電流を弱めるときの變化とが互に對應して居ることが明白となつたのである。

第三十一表

○ 黒點の方が光球より強くなる線 : : : : :
 ○ 右の中電流を弱めるため強くなるもの : : : :

Ti	83	88
Cr	42	46
Fe	18	19
V	52	56
Mn	6	11
	201	220

剩へ變化の程度も實驗と太陽觀測と同じ位に現はれて居る。又黒點に於て弱くなる線は光源を電流から火花(高温)に變へたときに強まる線であることも見通せぬ事實である。即ち

○ 前表の線中「火花」にて強まるもの : : : : :
 ○ 黒點にて弱まるもの : : : : :

Ti	8	8
Cr	10	10
Fe	13	10
Mn	1	1

である。尙此結果は電氣爐を用ひ電流の強さを加減して行つた同様な實驗からも十分確められて居る。實驗の對象は輝線であるから線の強さに關する上記實驗の結果は主として温度と放射能の關係を示すものであるが其はキルヒホフの法則に據つて直ちに吸収能と温度との關係に轉換される。従つて此實驗の結果

は黒點の上に在る吸収瓦斯が一般光球面上のものより遙かに低温度なることを示すものと考へなければならぬ。

黒點(Black Spot)スペクトルに限つて現はれ一般光球面のスペクトルに出ない線は大抵比較的低温度に屬する線である。就中酸化タイタニウムやカルシウム・ハイドライド等の變狀關帶は最も著しいもので之は分子内の振動に屬しつと温度の高い間は分子が解離して原子となつてしまふため之等變狀帶は現はれないのである。現に實驗室に於て光源の温度が高い間例へば火花や強電流の電弧は現はれず、温度が低下するに従つて漸次著しくなるので明かに低温特有のスペクトルであることが分る。で此種の關帶が黒點のスペクトルに限り甚だ顯著であつて一般光球のスペクトルには殆ど現はれないと云ふことは黒點の上に在る吸収瓦斯體が他の部のよりも遙かに低温度であることを物語るものと見られよう。

更に黒點上の瓦斯の低温を語る事實として見通すことのできないのは色やスペクトル階級から見て太陽よりも遙かに低温度と認められて居るオリオン星や牛飼座α星のスペクトルが黒點のと酷似し其關線が黒點のと同じやうな特性

を帯びて居ることである。

(二四)

ラッセル H. N. Russell の研究によると Na, K, Li, Rb 等の電弧線の中で低度の煽昂に

依つて現はれる線が黒點に於てつよく現はれ、Ca, Sr の中性原子に依るスペクトル線が一般太陽面では微弱であるのに黒點では顯著に現はれる。而して電離し難い Mg, Zn などの中性原子の線は一般太陽面でも黒點でも大した相違がない。是は黒點の温度が低くて低度の煽昂に基く線の發生に適して居ることを語るものであるとともに、サハの電離説に有力な論據を與へるものといはねばならない。

斯様な次第で黒點上の瓦斯が一般光球面上の瓦斯に比し低温だといふ事は最早疑ふことが出来ないものといはなければならぬ。

白斑は一般光球面よりも強い光を放つて居り又比較的短波光に富むことも知られて居るが其光の特質に關しては黒點程立入つた研究を遂げられて居ない。

緬羊斑は彩層及び其諸象を太陽面に投影した畫像だとされては居るが其光輝の淵源に就いては確定説がない。輝線羊斑が主として白斑上に現はれるのは白斑の強烈な輻射を受けて上層のカルシウム瓦斯が煽昂され輻射が増大するので

はないかと云ふ考をニユーウォルやセントジョン等は述べて居るが、白斑を伴はないカルシウム羊斑も屢現はれるといふ事實は白斑以外にも別に羊斑に光輝を添へる原因がなければならぬことを物語るものと言へよう。

(二五)

ヘールはカルシウムの H_2 , K_2 の輝線は白斑の部を通して内部より噴出する高熱

カルシウム瓦斯に因るものと考へて居るが、デランドルは K_2 羊斑の光輝はカルシウム瓦斯が上層から沈降する結果壓縮されて温度が上昇するためだとして居る。

(二七)

セントジョンの測定に據ると K_2 緬羊斑の部分に於てはカルシウム瓦斯が中層で

は上昇し上層では下降して居り、其相對速度は毎秒三籽秒に及ぶといふことであるから、這の兩反流の衝突錯綜によつて可なりの熱を發生する道理である。同氏はキングの實驗に鑑み斯様にして温度が僅か許り昇ればカルシウム瓦斯の輻射が著しく増加するものだとし、是が K_2 羊斑の光輝の源であらうとの説を持して居る。

(二八)

ジュリウスは氏一流の異常分散説で K_2 輝線の發生を説明しようとして居る。

即ち光球を包む高熱瓦斯層中には黒點に於けるが如き小渦卷が無數に在つて其

渦動軸が略垂直に立列んで居ると考へる。すると密度の勾配は渦動軸に直角な方向に最大で平行の方向に最小と見られるから、此軸の方向と大體平行に出て来る光線に對しては異常分散が起つてH及びKの中央線の前後で之に極近い波長を有する光は光球から出て後異常の收斂を起し著しく強められる。斯くしてH及びK吸収線の中央線の兩側に細い輝線を生ずるに至るのである。此考は太陽像の中央部にはあてはまらぬし、實際K₂羊斑が黒點に於ける如く縁邊からの距離に従つて投影作用に基く變形を呈するといふ事實から考へても、其が事實太陽面に着いて居る形象だとする方が穩當である。

K₂線の縁の光で撮つた羊斑は太陽大氣中比較的の下層の形象を示し同線の中央の光で撮つたものは最上層の形象であり、而して其中間の光で撮つたものは中層の形象を示す。と斯様に考へてK線の種々の部分でとつた寫眞を比較すると羊斑は立體的に見て上擴がりの朝顔なりの形をしたものだと言はれる。之はロッキヤの說であるが、此說に據るとカルシウム瓦斯は下から立ち上つて四方に擴つて行くやうに考へられるのでセント・ジョンの得た垂直氣流の方向と矛盾する。

ニユー・ウォルは白斑から發する放射線が上層のカルシウム瓦斯に煽昂を與へて發光せしむるのであらうと考へて居る。此說も源を白斑の作用に置く點に於てセント・ジョンの說と大同小異であつて、何れにしてもH及びK線が煽昂に對して極めて敏感であるといふ假定に立脚せねばならない。而して煽昂作用が白斑から放射狀に八方に擴がつて行くことを假定し、H線を中心に近い輻射程之に對し敏感であるといふキング等の實驗と併せ考へるときは、K線の中央に近い部で撮つた寫眞程羊斑が大きく現はれるといふ現象も此假設に依つて解釋が出来る。尙輓近サハの唱道する太陽や恆星の大氣の電離説とボリア等のスペクトル線の起源論とを併せ考ふるときは、カルシウム瓦斯は上層の稀薄な所に於ける程電離が容易であるからして、KHの輻射又は吸収が強く顯はれ、而かも電子が高位の量子軌道に昇騰され易く、従つて放射が強くなり勝ちであるといふことも首肯されるのであつて、其は聽てキングの實驗に理論的基礎を與へるものであるといふことが出来るだらう。

普通考へられて居る如く太陽大氣中では上に昇る程次第に溫度が低下するも

のとし、 H_2 、 K_2 線を生ずるカルシウム瓦斯が H_1 、 K_1 の瓦斯よりも上層にある一層稀薄な部分だとするならば、 H_1 、 K_1 の上に輝線として浮み出る道理がないのであるが、一面斯様な論難の由つて来るキルヒホフの法則といふものが所謂「温度輻射」のみを考へたものであることを忘れてはならない。輓近實驗的に確認を経たもので温度以外に原子を煽昂して發光せしむる作用を有するものはいくらかも考へられる。例へば陰極線の如きX線の如き即ち是である。

K_2 輻射線の起源に就いて今一つ考へ得べき事がある。大氣中に於ける種々の瓦斯の混合の割合などで光の吸収能や輻射能の分布に格段な不均等が生じ得べき道理であつて其結果大氣の中層に顯著な氣温逆轉層が所々に生ずるだらう。其れは特に大氣の靜寂な部分を選んで發現する筈である。この逆轉層の頂部に於ては温度も電離度も共に上下に比して優つて居る故に闇線の中央に輝線を生ぜしむることが出来る道理である。又この「逆轉層」は上下の運動に對して著しく安定な所で恰も此處に一種の衝壁を築いた勢を呈し、此層と光球面間に十分の熱が蓄積せねば之を突破して更に上層に昇上することが出来ない。従つてこゝま

で昇つて來た瓦斯は其下底に沿うて四方に水平に擴がる外はない。で一段と温度の高い瓦斯が其處に朝顔なりに分布される。之が白斑となつて吾人の目に映ずるのではあるまいか。此假設に於ては逆轉層の下底より上では對流に依る熱の運搬が阻止されて居るため周圍よりも温度低く、又其れから下では周圍より高温であるべき道理である。従つて上方では瓦斯が其區域の外部に於て上昇し内部に於て沈降して此面に沿うて四方に流れる。而して此下降氣流は最上層で周圍から流れ込む氣流に涵養され、斯くして内外の間に一つの環流系を形成せねばならない。セント・ジョンの觀測に於てカルシウム斑の上では一般の部分に比し下降氣流が特に大きく出て居るのは上記の假設に對し其驗證とするには足らぬまでも一個有利な事實たるを失はない。

以上述べた如き單光寫眞は太陽周圍氣の比較的上層即ち彩層より發する各種の光の分布を示すものであるが、彩層の光を更に細かく檢べるには前に述べたジャンセンの法に依り太陽縁外のスペクトルを觀測するに如かぬ。彩層のスペクトルは大體に於て光球スペクトルの闇線を輝線に反彩したものであるが、光球に

在つて彩層にない線や彩層にあつて光球に無いものも少くないし、彩層の線中には時によつて現はれたり現はれなかつたりするものがある。いつも必ず出る線は左の十一種である。

第三十二表

符號	λ	元 素
	7065.5
C	6563.1	水 素
D ₂	5876.0	ヘリウム
	5316.8
F	4861.5	水 素
	4471.8	ヘリウム
	4340.7	水 素
	4101.9	同
	3970.2	同
H	3968.6	カルシウム
K	3933.8	同

以上の外形層スペクトルに出る線は澤山あるが、場合によつて同じでないし、彩層下底部に於ては線の数が甚だ多くなるが光球の光に妨げられて観測が非常に困難である。其等の中比較的多く現はれるのは

マグネシウム、鐵、ストロンシウム、バリウム、ナトリウム、セシウム、ダイタニウムニ

ツケル、ヴァナヂウム、マンガン、クローム、コバルト、イットリウム、ビウム、錫、ランサニウム等である。彩層スペクトルの線中發光元素の不明なるものも少くない。

彩層スペクトルを観測するに最好の機會は皆既日食の際にある。日面の縁邊が月面の背後から現はれ始むる瞬間又は月の後に將に没入せんとする瞬間、太陽の縁は三日月形の細い閃光となつて、コーメーターを通して見た分光器の細隙の代辨を爲す。故にカメラの筒先にプリズムを附けた器械を之に差向ければ直ちに分光器として働き立派なスペクトルが撮れるのである。勿論分光器細隙の代用をなす細光は三日月形である故スペクトル線は直線ではなく、總て三日月形を呈する理で、三日月形の輝線は夫々彩層の單光像を表はして居るものと見做して差支ない。此際光球面が一部でもかくれずに見えて居る間は通常の太陽スペクトルが現はれ連続色帯を横斷するフラウンホーファー間線を見るに過ぎないので、たゞ僅かに食皆既前若くは生光後數秒間彩層だけ見える瞬間が所要の目的に供される。此瞬間今迄間線として映じたものが忽然と輝線に化するのである。其は平素は光球面の外層を成す比較的低温の霧圍氣が吸收作用に依つて間線を生

ぜしひるのであるが、皆既食の際闇黒裡に太陽の縁を天空に投影するときは背後に強光の存在せざる結果吸収線とならずして輝線を現出するのである。

閃光スペクトルに於てスペクトル線が輝線として見える時間は大體に於て其線に相當する瓦斯層の厚みを表はすものと考へて差支ない。之に據つて其厚みを測定することが出来る。又該スペクトルの弧線(三日月形)の長さも同様な目的に供することが出来るけれども、線の強いものと弱いものとで弧線が長くも短くも追跡され得る故種々の瓦斯の層厚を比較するにはなるべく同じ強さの線を取つて観測せねば信據すべき結果を得ることが出来ない。此種の研究で現在基準的に認められて居るものはミツチェル Michel が一九〇五年八月三日の皆既食の際スペインのダルコに於てグレイチングを用ゐて撮影した閃光スペクトルに基いて諸線の層厚を算出したもので、比較的線の多く出る元素に就いて其結果を摘出して掲げると第三十二表の通りである。

之に據つて見るに層位は必ずしも重さに伴つて居るとのみ言へない。例へばカルシウムの高さがヘリウムの倍に達し鐵やタイタニウムが炭素の數倍に達す



第八十六圖 日食の閃光スペクトル
一九〇〇年五月二十八日フロント撮影

る高さによつて居る。

第三十三表

元 素	原子量	高 サ	備 考
H	1	^斤 400— ^斤 8000
He	4	400—7500
C	12	250—1500	主トシテ ^斤 300— ^斤 400
Ca	40	300—14000
Sc	44	250—6000	主トシテ 300—400
Ti	48	250—6000	主トシテ 300—500
V	51	250— 900	主トシテ 300—500
Cr	52	250—1400	主トシテ 300—400
Mn	55	250— 800	主トシテ 300—400
Fe	56	250—7000	主トシテ 300—600
Co	59	250—1200	主トシテ 250—400
Ni	59	250— 800	主トシテ 300—400
Y	89	250—1600
Zr	91	250— 900	主トシテ 300—500
La	139	300— 800
Ce	140	250— 800	主トシテ 300—500
Nd	144	250— 600	主トシテ 300—400

ミツチエルの測定に於て特筆すべきことは軽い元素の線が重いものに比して概して強く現はれて居ること、カルシウムのH及びK線の如きは其最も著しい例である。其は多分太陽が太陽の前を横過して行つて縁の部分が掩ひ盡される

際太陽像の中心に近い方即ち下層から順次に掩はれて行き、又生光の時は外層から順次に現はれて来る結果として、比較的下層に在る重い元素の光に對しては暴露時間が短くなる爲ではあるまいかと考へられる。

今一つ見通せない事實は同一の元素に屬する二つの線で、普通の太陽スペクトル中に於て同等な強さを示す線であつても、彩層スペクトルに於ては著しく強度に懸隔があつたり、又は強度の割合が普通のスペクトルと全然反對になつて居たりすることが往々あるのである。殊に火花スペクトルに於て強度に現はるゝ線は大抵彩層スペクトルに於て格段に強く出るといふことからして、彩層に於ける温度、氣壓、電氣的磁氣的状態が或る程度まで推定される可能性がある。

ロツキヤーは火花スペクトルに於て強さを増す線は高温度に特有な線であつて、火花が電弧より温度の高いために線の強さを増すのだとして居るが、此説に據ると彩層は大氣の下底よりも高温度にあるといふ受取りにくい結論に到達する。然るに此種の線は壓力に對し敏感だといふことが實驗上認められて居るから、彩層に於ける強度優越の主因は太陽大氣の上層に於ける壓力の減少といふことに

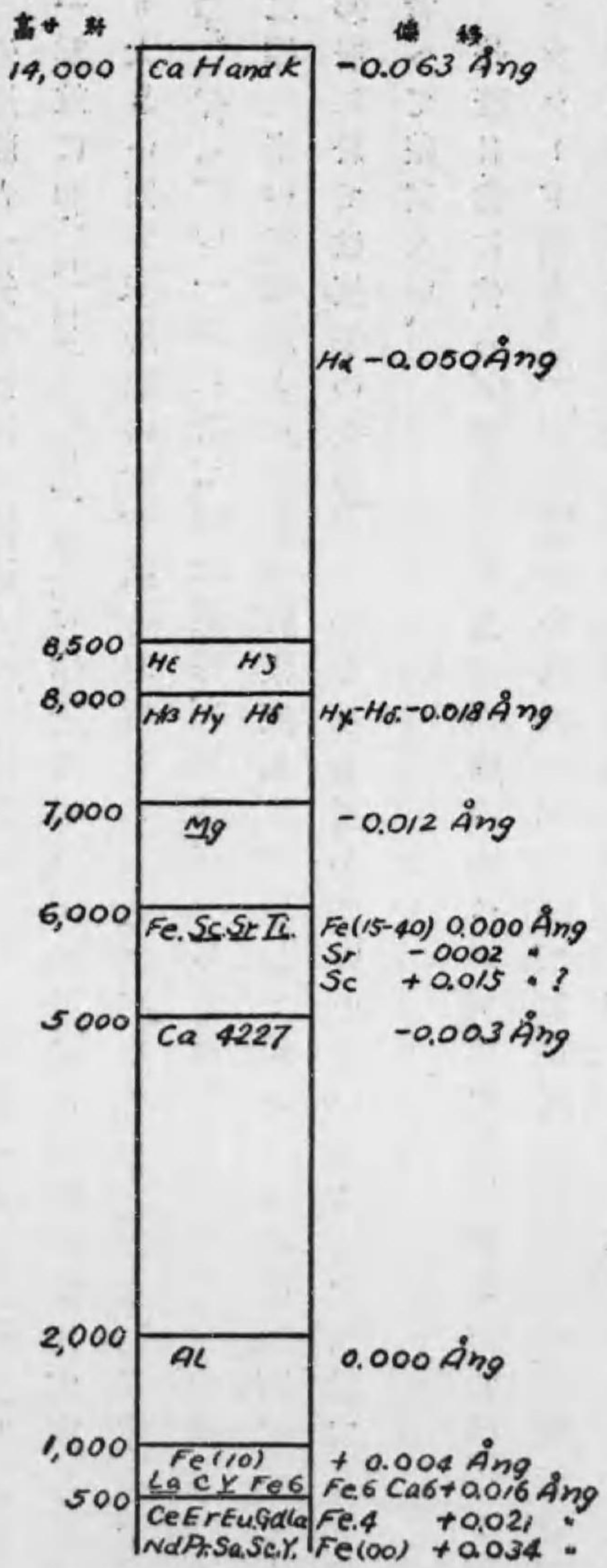
之を歸する方が無難である。サハが雰圍氣中に於ける電離に關する理論を作つて巧みに之を説明して居るのは既述の通りである。

ミツチエルの測定した層高をフラウンホーファー線の強さと比較するに大體に於てセント・ジョンの層高は吸収線の強さに比例すといふ考に一致して居るが往々可なり此法則にはづれたものもある。今其一例として鐵の線に就き強度吸収線としての)と高さの關係を示すと左表の通りである。

第三十四表

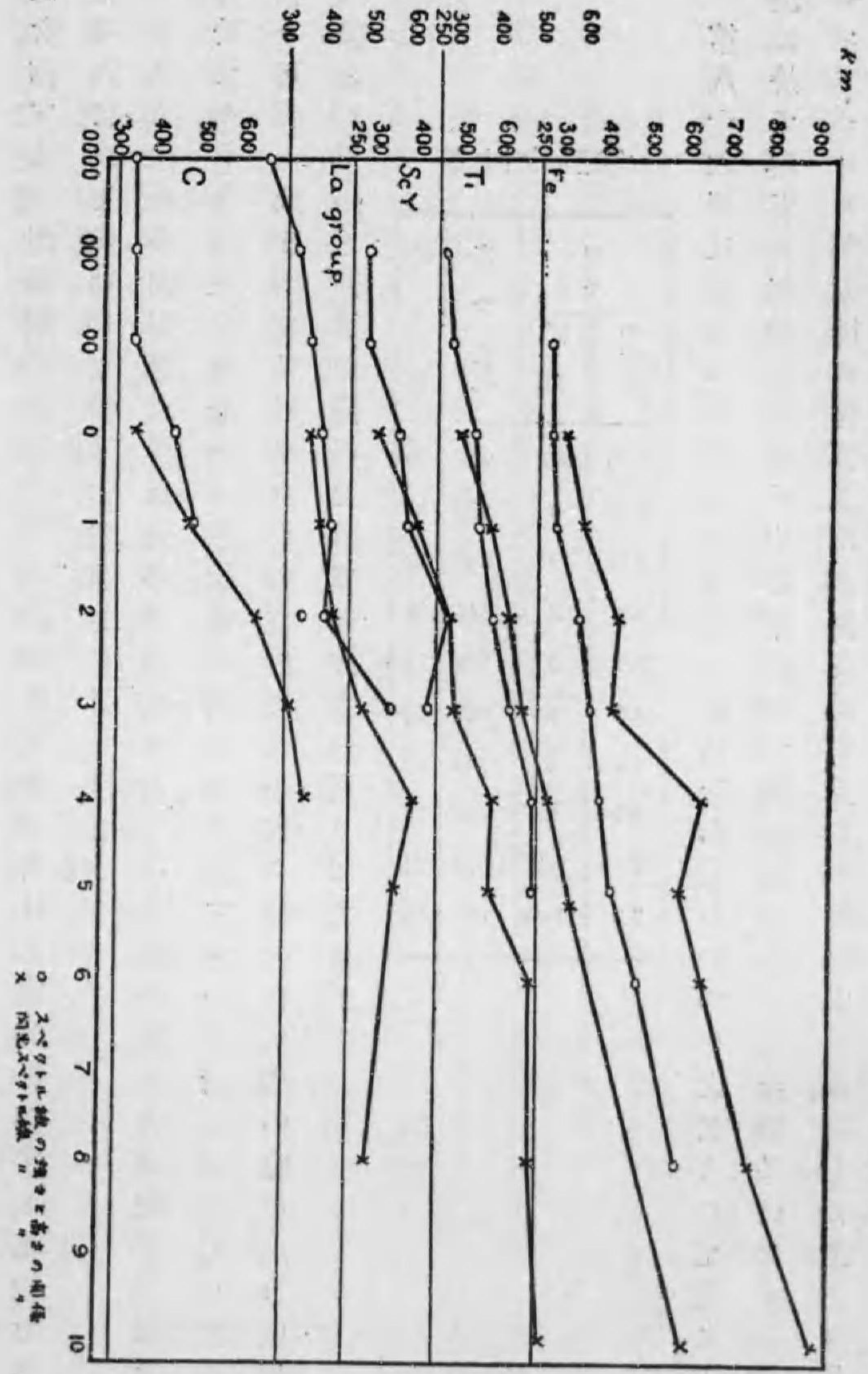
強サ 吸収線	閃光	高サ (Å)	線ノ 數
0.26	0	279	19
0.33	1	288	30
0.8	2	344	55
1.4	3	369	72
1.6	4	397	49
2.0	5	425	40
3.5	6	488	28
3.8	7-9	590	24
7.0	10-40	806	25

第八十六圖は諸種の元素に就き這の關係を示したもので、之によつて見ると大體に於て兩者の相伴つて増減するぐあひが明かに分る。又此結果はアダムスやセント・ジョンが太陽の自轉及び黒點周圍の瓦斯の運動から論結した所と同様で



第八十八圖 太陽大氣中の元素の配列

ある。左圖はミツチエルとセント・ジョンの結果に據り太陽大氣中の元素の配列を示したものである。左端の數はミツチエルの測定した高さを籽で表はし、右端のはセント・ジョンの測定に依る黒點瓦斯の輻射運動のドップラー偏移であつて、氏が以前から層高の指數として用ゐて居るところのものである。

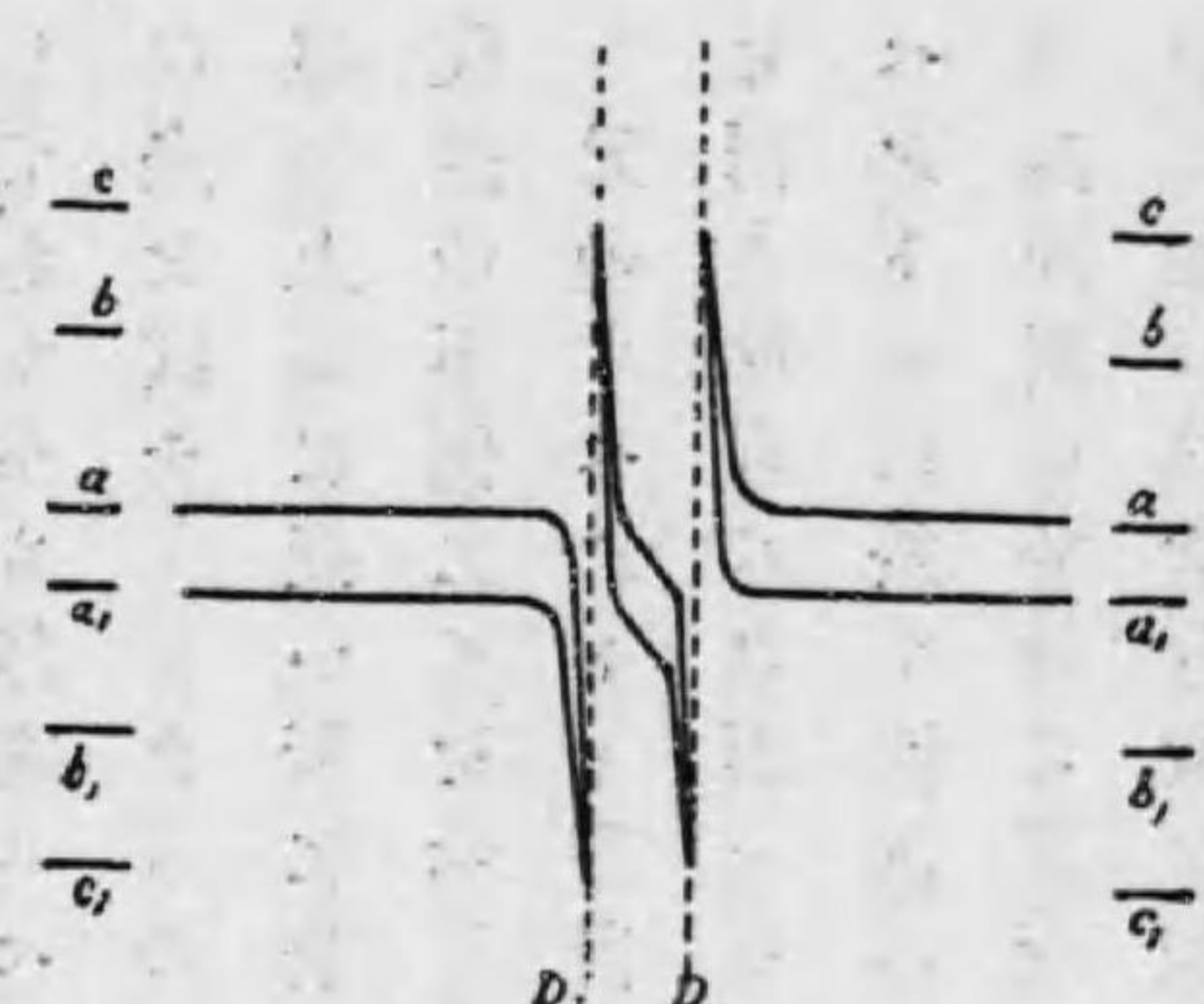


第八十七圖 吸收係の強さと層高の關係

彩層線と一般太陽面の闇線との強度の比を作つて見ると、Cr, V, Ti, Zr, Sr, Ba の一群並に Se, Y, La, Ce, Nd, Sm, Er 等所謂稀土類に属する一群は此比が概して一より大きく、即ち彩層線の方が強く現はれる。之に反して Fe, Ni, Co, Mn 等の一群と Ca, Mg, Al の一群に於ては此關係が逆になつて彩層線の方が弱し。此關係は丁度之等元素の電弧線と火花線との強度比に對應して居る。之は甚だ面白いことで、彩層に於ては原子の煽昂が下層よりも遙かに強いといふことを暗示するものと考へて差支なす。

皆既日食に依らず常時の觀測で彩層のスペクトルを撮影する方法は、ヘールがケンウッド Kenwood 天文臺で一八九一年初めて之に成功したもので、當時は僅か十九本の輝線を現出せしめ得たに過ぎなかつたが、一九〇九年ウィルソン山天文臺の塔狀望遠鏡と強力な分光器を利用するに及んで百數十本の線の波長を精測することが出来たのである。この成功は主として高山に於て太陽像の靜寂なることと有力な望遠鏡に依る像の直径の大なることに歸さるのであるが、其他露出中像の外縁を分光細隙に正確に切せしむるために彩層線の一つを分光器の乾

板端に於ける眼鏡に依つて絶えず直視しつゝ望遠鏡を誘導する巧妙な装置も與つて力あるものといはねばならない。此方法は以後次第に成功の域に入り一九一四年には五百本以上の線を寫すことが出来、ミツチエルの閃光線の測定と並んで今迄に於ける基準測定と見做されて居る。



第八十九圖 異常分散の爲に生ずる輝線

彩層輝線の成因に關しては一般に信じられて居る如く、背後に光球の強光なき爲、吸収線の代りに輻射線が出るのだといふ學說に反對したジュリウス Julius の說に一言せねばならない。光線が或る媒質を通過して來るとき其媒質内の密度の分布によつては、スペクトル帯に直角に分散を起すやうになることがある。而して密度の勾配が極端に大きいときは選擇吸収の起る細域の兩側に於ける分散能が異常な相違を起し、連續スペクトルは其所に於て右圖の如く色帯の兩側に突出し、元のスペクトル帯の兩側に刷毛の如く輝線

の角が生え、元のスペクトルを掩蔽してしまつても輝角の先端だけは見えるからして、あたかも輝線スペクトルに對するが如き觀を呈する。此圖はジュリウスが白光をばナトリウムの焰を通じて觀測し、 D_1 及び D_2 の吸収線を現出せしめたとき、焰の上端に近い所に於て密度勾配が異常に大きくなつた部に生じた異常分散(吸収線の兩側にて)を示したものである。

元のスペクトル帯自身に於ては吸収線は其兩側に於ける連続スペクトルの光を削り取られた形となる故、闇線の幅が著しく増大する。でジュリウスは黒點スペクトルに於て闇線の幅の廣いことや或種の闇線が二重反彩を起すのは黒點及び其周圍に於ける瓦スの密度勾配が異常に大きくなる(黒點渦動に伴つて)結果上記の如き異常分散を起したものだとして居る。此考へ方を日食の閃光スペクトルに及ぼすときは太陽面から切線の方向に出發する光線は雰圍氣を通過する際密度の異常勾配に基いてフラウンホーファー闇線の兩側に於て異常分散をおこし、スペクトル帯の外に突出を見、恰も輝線スペクトルを得たるが如き觀を與へる。斯様な理に基いてジュリウスは閃光スペクトルの輝線は太陽の縁に於て光球の

白光が異常屈折をする結果生じたものだと主張して居る。若し此説が正しいとすれば之等輝線は之に該當する闇線より波長が稍大きくなければならぬのであるが、上記のヘール、アダムス、ミツチェル等の測定では此學説の要求する如き波長の差は存在して居ないといふことである。此説は面白い着想ではあるが、種々の點で非難が多く今の所評判が甚だよくない。

分光器細隙を太陽像の縁に直角(半徑の方向)にあてて、 C_a の線を觀測する場合、像の縁に接して居る部分は線の幅廣く、遠ざかるに従つて細く尖つて行く。之は下層の氣壓や温度の高いこと、下層の光は大氣の中を通つて來る道程の長いことなどによつて説明することが出來よう。之に反しヘリウムの D_3 線は太陽の縁より少しく離れた所で最も太く兩端に於て尖つて居る。此現象に對しシャイナーは此元素が光球面から少し間隔を置いた所に薄い層を成して存在して居るものと考え、考へて説明することが出來ると唱へて居るが、近來反彩層にも H の闇線が多數に發見されたことなどと照合して合點のゆき兼ねる節がある。

彩層の事は此位にとゞめて、コロナの光に眼を轉じよう。コロナの光や熱の分

量及び性質は可なり以前から喧しい論議的であつた。其光の強さと其分布を詳かにすることは難て之を構成する物質の密度や温度を推定する手掛りであり、コロナの性體に一道の光明を投ずるものでなければならぬ。處が此種の測定は甚だ不精確で観測者によつて大きな相違がある。ハークネス Parknes は一八七八年の日食の観測から太陽の縁の直ぐ外の所では満月の面に比して十五倍の光輝を有し、縁からはなれるに従つて大體距離の二乗に反比例して光輝が減少するとし、又ラングラーは同じ日食の観測から、縁から一分の角距離の所で満月の六倍の光度あり、十分迄離れた所でも月の十分の一位の光輝があるとして居る。一九〇五年の日食ではファブリー Fabry が赤道部の縁外五分の所で月の光輝の約四の一といふ値を出して居るし、同じ日食でシュワルツシルトは寫真的方法に依つて五分の角距離で月の十分の一、十分の所で百分の一と出した。コロナ全體の光は諸家の測定が大體に於て一致し、〇・一乃至〇・二米燭の範圍にあり、満月の光と同等とされて居る。縁からの距離と光度の關係に就いてはアウエルスは之を距離の六乗に反比例するものとして居るが、大體に於てベッカー Becker の出した

$$I = \frac{c}{(140 + r)^2} \quad \left(r \text{ は縁からの距離を直徑の千分位で表はしたものである} \right)$$

なる式が観測によく合ふ。

コロナの色に關しては一般に眞珠色と謂はれて居るが、スペクトルの各部の光の強さに就いていふと、赤外部即ち熱線も紫外部即ち寫眞光線も共に可視線に比して遙かに弱いと云はれて居る。シュワルツシルトは一九〇五年の日食で見たコロナに就き波長 3500—5000 Å 間(可視域)の連續スペクトルの強度分布を調べた處、大體太陽自身と同じであるが紫外部に至ると強さが遙かに太陽に劣ることを確認、強さ極大の點が太陽よりもずつと赤の方に偏つて居るから、コロナは赤味がかつた色を有する筈だとし、又デランドルは $\lambda = 1.3 \mu$ 邊迄の輻射を測定し、空の光の半分位の強さはあるとして居るが、何れも、甚だ不確實のものと思はれて居る。^(二三五) コロナの全光度は近代の比較的信用すべき観測の結果を對比して見ると逐年變化するものらしいが、確かなことはまだ言へない。

コロナの光が独自の輻射に依るものか反射光なのかといふことは其性體を究

める上に重要な問題である。コロナの光が反射光に特有な「偏り」の現象を呈することは、二〇年來の日食観測で一般に認められたことである。偏光の度はジュリウス、ベリン、ヤング等の観測に據ると、太陽の縁のすぐ外では殆ど皆無で、遠ざかるに従つて増し、五分位の角距離で三七%といふ極大値を示し、更に遠ざかるとまた次第に減じて行く。斯様な現象に基いて一部の學者はコロナの光が主として太陽の周囲に浮遊する細塵の日光を反射して輝くものであつて、恰も地球大氣の微粒子が日光を擴散して天空の碧色を呈すると同様であると見做した。コロナの場合に於ては粒子が分子の程度迄小さくないため各の色を略一様に擴散して白色を呈する點が異なるのであると考へて居る。然し計算に據ると太陽の縁に近い所では細塵が四千度以上に熱される筈であるからコロナの内環は少くも一部は独自の光を發して居るものと見るのが至當であらう。之はコロナのスペクトルに澤山の輝線を含んで居り而かも其輝線が全く「偏り」を示さないことから肯はれるのである。尤もアボットやラングリーの測定でコロナの光が、比較的熱線にとぼしいといふことが認められて居るので、此點から見ると独自の發光(熱源)

はあるにしても其は極めて微量でなければならぬ。擴散が何故長波線に少いかといふことは反射粒子の微小なることに歸さるゝことをウィード R. W. Wood が實驗的に證明して居る。尙又斯くの如く熱線の少いといふことから一部の人はコロナの光を螢光線の作用に歸したり放電現象と見なす傾がある。

コロナのスペクトルは連續彩帶の上に一般太陽面同様のフラウンホーファー闇線を示す外數多の輝線をも現出する。輝線の中最も顯著なのは $\lambda 5308.3$ なる波長を有する所謂コロナウム線(一九一八年六月八日の日食でカメルは之を 5302.98 アダムス及びセントジョンは 5302.0 と測定して居る)と水素の輝線である。何れも太陽の縁から十分位の距離迄見える。縁に近い所では水素線の方が強く、遠ざかるに従つて 5308 の方が勝つて来る。其外 Ca や He の線も見える。一九〇〇及び一九〇五年の観測に據り ^(三六) Dyrson がまとめたコロナのスペクトル線は

第三十五表

5535.8
5303.1
5117.8
5073
4779
4725
4722
4586
4566
4400
4359
4311
4231.0
4130
4087
3987.1
3891
3800.9
3642.5
3505?
3481
3454
3387.9
3361?

の二十四本に達する。此中で 3454 と 3387.9 とは 5303.1 に次いで顯著なものであるが、一九〇一年に見えたり見えなかつたり他の二回は遂に見えなかつたと謂はれ、又他の線でも場合により見えたり見えなかつたりして定まつて居ない。例へば一九〇八年一月三日の日食には $\lambda_{\text{ウイス}}^{(137)}$ は新たに 3602.3, 3328.2 なる線を発見し又 3390.7 なる線が特に顯著であつたが前三回の日食には之等は全く見えず、之に反し前三回の日食に見えて此場合に見えなんだ線も澤山ある。其他一九一四年八月二十一日の日食に $\lambda_{\text{デランドル}}^{(138)}$ は 6374.5 なる線を新たに見出し、 $\lambda_{\text{コーチー}}^{(139)}$ は微かながら二十四本の新線をレコードした上更に赤色部にバンド・スペクトルをも発見したといひ、一九一八年六月八日の日食に $\lambda_{\text{リック}}^{(140)}$ 天文臺の $\lambda_{\text{ウイス}}^{(141)}$ 氏は 3603 なる新線を見出して居るなど人と場合とで観測が大層違ふといふことはコロナの輻射が著しく變化するものではないかと疑はしめる。殊に所謂 $\lambda_{\text{コロニウム}}^{(142)}$ 線 λ_{5303} は紅焰や黒點の顯著な時期には特に強く現はれ、太陽縁より遠い所迄も其痕跡を示して居る。ブルグイネル *Plaviel* の観測によると $\lambda_{\text{コロナ}}^{(143)}$ スペクトル中のフラウンホーファー間線も黒點最多期に著しく最少期には微かになり、日光を反射する微粒子

の多寡が太陽活動の盛衰に伴つて變化する傾あることを指摘して居る。コロナを噴出狀隆角の發生に伴つて生ずる現象と見るならば其は當然のことであるが之等の観測を肯定して議論を進めるのは尙早の感を免れない。

之を要するに「コロナ」の光は、(1) 液體又は固體の微粒子群の高熱に因り自ら發生するもの、(2) 這の粒子が日光を照り返へして輝くもの、(3) 瓦斯狀の雰圍氣より發する特殊の輻射の三種を包含するものであつて、(1) と (2) とは光球と同様な連続スペクトルを出し、(2) は「偏り」現象を呈し比較的遠方の光に多く、(1) と (3) とは縁に近い所に比較的多いのである。以下更に之等三種の光及び之に寄與する物質の性體に關し少しく詮索を試みようと思ふ。

コロナの光の連続スペクトルは太陽を圍繞して居る固體又は液狀の微粒子群に依る反射光及び自己の高熱に因つて發する輻射であるといふ説を肯定するためには其等の粒子が何處から來り如何にして太陽の周圍に保持されて居るかを解釋せねばならない。流星群と同様に微細な物體の集團が太陽面に吸引され或る距離迄近寄ると太陽から受ける一種の反撥力と引力との釣合で太陽面迄落下

せず、或る間隔を保つて浮遊して居るのだとする説と、此粒子は太陽から紅焰に伴つて噴出した瓦斯の凝結滴粒だとする者があるが、何れにしても一種の析力を設定せねばならぬし、しかも此力の作用する法則が粒子の種類によつて異なるものとせねば種々の距離に於て釣合を保つて居る粒子のある所以が分らなくなる。斯様な「力」の存在することは既に前世期中頃から一部の學者が考へて居た所であつて、しかも其が太陽の光線に基くもので小さい粒子に對するほど強力に作用するものだとし、彗星の尾の成生を説明するに此考を利用したものである。之に據ると彗星の尾は其頭部から噴出する粒子に對する太陽光線の析力に依つて反對の方に一種の「吹き流し」を生ずるものだとするのである。然し斯様な「力」の確かに存在すること及び其起源や性質等が闡明され稍力學的基礎の上に議論が進められるやうになつたのはマツクスウェルが一八七二年に電磁論に基いて此問題を論じ一般に輻射が或る表面に當ると之に對し壓力を及ぼすといふことを證明してから後のことである。此理論に據ると表面が完全吸収性であれば單位體積の内の輻射エネルギーに等しいだけの壓力が加はり、又完全反射性であれば壓力

は其二倍だけになる。水面の波浪や音波が或る表面にあつたりする際も一定の壓力を及ぼすことは我々の日常經驗する所であつて、一般に波狀運動に伴つて斯様な壓力が生ずることは實驗的にも理論的にも證明することが出来るのであるが、マツクスウェルは之を輻射の本性に根ざした最も嚴正な立論に據つて證明し非難の餘地なからしめたものである。

今之を簡便法に依つて説明せんば座標軸Zの正の方向に進行する平面波があつて完全吸収性の表面Rに垂直にあたるものと考へる。Rの前面に於て單位容積内に存在する輻射エネルギーをEとし、光の方向に平行なる斷面積 q の直筒を假想すると、 t なる時間にRに吸収されるエネルギーは

$$EqVt$$

となる。但しVは光の速度である。そこでRの表面を光の進行方向に da だけ動かさうとするとRに入るエネルギーはR静止の場合に比し $\frac{1}{2}da$ だけの容積内に含まれるエネルギー、即ち

$$qdaE$$

だけ少くなる。一面に於てZの正の方向にqを通過するエネルギーはRの動靜に關せず前掲の値を保つて居る。而してRは完全黒體だから屈折係數が周圍の媒質と等しいこと、即ちダイエレクトリック・コンスタントが周圍と同一であるといふことを考に入れるとRが動く際に通つた qdz だけの空間に含まれる電磁エネルギーはRの動靜にかゝらず一定不變である。故にエネルギー不滅の原則に據り qdz だけのエネルギーは熱に轉換されたと見ねばならない。而して之はRがdzだけ動いたため外界から爲された仕事に等しくなければならぬ。従つて此仕事を

$$pqdz$$

なる形に書けばpはR面に對する輻射の壓力である。従つて

$$pqdz = qdzE$$

なる關係が成立し、是から

$$p = E$$

太陽常數をSとしジュール常數をJとすれば、一立方方内の太陽輻射エネルギー

rは

$$\frac{S r}{60}$$

となり、

$$J = 4.186 \text{ エルグ}$$

$$S = 1.923 \text{ カロリー・分・(釐)}^2$$

とすれば毎秒一平方釐に受けるエネルギーは 1.35×10^6 エルグである。之は毎秒光線の通過する距離即ち 3×10^{10} 釐に含まれるエネルギーである。故に一立方釐に含まれるものは

$$E = \frac{1.35 \times 10^6}{3 \times 10^{10}} = 4.5 \times 10^{-5}$$

となり、一平方釐に受ける壓力は 4.5×10^{-5} ダインであつて、一平方米の表面に對し約〇・五ミリグラムの重力に相當する力が作用して居る勘定である。

尙實驗的方面に於てもレベデフ P. Lebedew⁽¹⁸⁾、ニコルス E. F. Nichols⁽¹⁹⁾、G. E. Hull⁽²⁰⁾等が之を測定して理論の誤ないことを證することが出来たので、太陽の内外に於ける微粒子の行動を追跡するには是非とも輻射壓の影響を考に入れてかゝらね

ばならぬことが一般に承認されたのである。

這般の關係を乘に先んじて特に深く研究したのはストツクホルムのアレニウスである。輻射壓は發光體の距離が其大きさに比し非常に大きいときは重力と同様に距離の二乗に反比例するものであつて、球狀粒子に於ては壓力が其直徑の二乗に比例し重力は立方に比例(同じ比重としたとき)する故に、粒の大きいものは重力の方が勝つて太陽に引き寄せられるが、直徑の小さくなる程輻射壓の重力に對する割合が大きくなつて行く。完全黒體に就いて氏の計算したところに據ると、水と同じ比重の物質なら直徑が一・五ミクロンに減ずると輻射壓の折力が太陽引力と同等になり、比重が五(鐵位)の物なら直徑〇・三ミクロン迄減じたとき始めて折力が引力と釣合ふやうになる。直徑が更に小さくなると折力が勝つて反撥される。此力はシュワルツシルトの計算に據ると直徑が受光波長に等しくなる迄は次第に増大し、比重一の物質であれば光の波長〇・六ミクロンの場合折力が重力の十八倍に達する。直徑の更に小さい物だと同折作用の爲折力は却つて減少し、波長の三分の一以下の粒子では重力の方が復び勝つて來て太陽に引きつけられる

やうになる。即ち比較的大きいか若くは重い粒子とずつと小さいものとは太陽に引きつけられ、中位の粒子が反撥され、此兩極端の間に在るものが太陽の近所に不即不離の状態で彷徨して居ることになるのである。

さて斯様な粒子がどうして太陽の周圍に出来るかといふことに關してアレニウスは太陽内部より隆角等に伴つて噴出する瓦斯が凝結したものだらうとし、其凝結心核となるべきイオンは、中性の瓦斯原子や分子が稀薄な密度と高温度とで電離に好適な狀況に置かれてある所に太陽面から發する短波放射線の衝擊を受けたり黒點や噴出紅焰等の附近に於て負荷電の特に大きくて異常な電位を有する部分から出る陰極線に衝擊されたりして荷電粒子をはじき出されるために生ずるものだらうとして居る。同氏の如く地球大氣に於ける水蒸氣の凝結から類推して陰イオンに重きを置くときは、折力に依つて負電粒子が他の星辰界に逸散して太陽は陽に荷電され、もし何等かの中和作用が行はれなければ其電位が無限に増大することになるが、然し一面に於て他の星辰から折出される負電粒子が太陽の重力と陽電位とで引きつけられ、之を中和するであらうから、電位はある程度

以上に増大することはない。現在は此收獲と損失とが丁度釣合を保つて略一定の電位を保つて居るものであらう。此説に於ては、コロナ流線は陰極線があつて凝結の特に著しく起つた所であつて、同時にまた粒子の太陽に反撥されて流出する道筋を示して居るものと考へるのである。此假設はコロナ流線が爆發的隆角^{ホクス}に根を据ゑて居ることが多いといふ前記の諸説及び斯くの如き部域に於て顯著な放電現象の起り易いといふことなどから至極尤もらしく思はれる。流線の彎曲はビジェロウ、アレニウスの如く太陽全體を一つの磁石と見、帯電粒子の運動に對する磁場の影響として之を説明しようとして居る者もある。此場合粒子は磁力線を芯として螺旋狀に磁力の方向に動くのであるが、之を遠方から見ると磁力線に沿うて動くやうに見えるので、若し他に力が働かなければ粒子の流線が其儘磁力線を示すことになるのであらうが、實際に於ては輻射壓で放り出される爲の運動が主となり、磁力は單に其軌道を幾分か變形するやうに働き其結果南北兩極附近等に見る如き流線の彎曲を示すに至るものと考へられる。太陽全體が一つの磁石であること及び此處彼處に局部的の強烈な磁場のあることはヘール一

派の學者が研究して實驗的に確認されたことであつて、之に關しては更に節を更めて詳述することにする。

コロナを組成する粒子が流星群の如き外來の物質だとする説がある。之はヤングが一八七一年に唱へたもので、近くはシユスタ^(二四三)ー等が之に共鳴して居るが、今日一般に信じられて居るやうな大さの流星では前記の如きコロナ光の性質が解釋出來ない。やはり所謂宇宙細塵がコロナを形成し其中でも特に顯微鏡的な小さなものが主成分を成すものとする方が穩當であつて、噴出したものの外他の星辰から進入して來て太陽に吸引されつゝあるものも含まるゝであらうが、太陽面に生起する他の諸現象と併せて考へると、中から外に放出されつゝある粒子が主な部分を占めて居ると考へる方が比較的辻褄が合ふやうに思はれる。

太陽に落ち込んで行く微粒子の相互衝突や雰圍氣の抵抗に依り高熱を發して輝くのだといふ考も一理あるが、此説はコロナ粒子なり瓦斯なりの密度が非常に小さいことから考へると受入れにくい所がある。其稀薄さの程度は彗星が太陽の縁から數分の角距離まで接近して毎秒數百軒の高速でコロナの中を突進す

る際でも其運動に影響するだけの抵抗を及ぼさないことから考へても想半ばに過ぐるものがあらう。地上百糎以上の上空に於て氣壓〇一糎以下の非常に稀薄な大氣の中で僅々毎秒數十糎の速度で運動する流星に對してさへ殆ど瞬間的に白熱化する程の抵抗を及ぼすのであるからして、彗星が殆ど無抵抗に「コロナ」の中を長い間通過して來るためにはコロナ物質は言語を絶する稀薄状態にあるものでなければならぬ。従つて粒子の数は可なり疎であつて、相互衝突が全體に光輝を與へる程頻繁に行はれようとは思はれない。又瓦斯雰圍氣の密度は後段述べらる如く光球面上數百糎の所でも一萬分の一氣壓に過ぎぬ稀薄なものであつて、距離が等差級數で増すに従ひ密度は殆ど等比級數的に減るのであるから、太陽縁より數分の角距離即ち約十萬糎の所では非常な稀薄さとならう。太陽の重力は其表面に於て地球上の二十七倍であるから高さの増加に伴ふ密度の遞減率も之に應じて急でなければならぬ。水素の如き最も軽い瓦斯を主成分とするものと假定しても十糎上る毎に密度が半分になつて行く。其割合で千糎の上層に於ける密度を計算すると下底に比し約 10^6 倍だけ薄くなる勘定である。上方に

距たるに従つて密度の遞減する率は小さくなる故に、上記の計算は幾分の更正を要するものではあるが、大體の程度は略此位の見當である。之は大凡百米立方の中に空氣の分子が一個ある位の稀薄さである。斯くの如き稀薄な媒質中で粒子が運動する場合たとへ毎秒百糎を超ゆる高速度で動いても相互衝突の機會は甚だ僅かであつて到底十分の光輝を發せしむるには足らない。

コロナの主成分と考へられて居る太陽細塵は星辰界に於て非常に重要な地歩を占むるものであることは既にアレニウスの道破したところであつて、輻射壓のために放散された細塵は空間の所々に集つて星雲と成り、星雲が凝集して恆星即ち太陽となり、轉々輪廻して窮ないことを説いたのは物理學の原則と相容れぬ點はあるが、或る點に於て近代的宇宙開展論の進路を豫言したやうな觀がある。質量の特に大きくて温度の高い従つて短波長輻射の強い恆星所謂O型星の如きは細塵の放散著しき爲一種の包圍物質を帶ぶること多く、又カルシウム瓦斯の雲に包まれる結果H γ の靜止吸收線を示すのを常とするのは近年の觀測で確められた顯著な事實である。闇黒星雲が細塵の雲集であることも追々確からしくなり、

一昔前迄自體の光で輝くものと考へられて居た所謂瓦斯狀星雲も近頃の觀測によると細塵雲の中や近所に在る恆星の光に依つて輝くやの疑が次第に濃厚になりつゝある。更に一步を進め、ジーンズ等の理論に依り瓦斯狀星雲の凝集する過程として生まれるものと考へられるに至つたところの渦狀星雲が銀河極の方に集つて居る事實を見て、輻射壓の爲細塵や瓦斯分子が恆星の最も少い方面に集する傾向だとして之を解釋しようとする一派の學者さへあるやうな次第である。太陽細塵がコロナ圏外に放散さるゝ例證は近く我太陽其自身に求むることが出来る。闇夜の天空を幻の如き薄光の帯を以て彩る彼の黄道光こそ其れである。黄昏後、拂曉前太陽の在る邊よりピラミットの如く地平線に立ち上る薄光は元中軸が太陽の視徑路たる黄道と一致するものと考へられて居たので黄道光と名づけられたものであるが、近來は太陽赤道面の延長と一致するものと分り、又測り得る程の視差を有たぬことより推して地球大氣に屬する現象ではなく、發光の源が主として地球外遙かの遠方に在るものであることも明かになつた。しかも太陽と同様な連續スペクトルを示し且偏光を呈することからして液體又は固體の

粒子群に日光の反射されたものだと考へるのが一番尤もらしい解釋である。極光のスペクトル中に現はれる綠線がこゝにも現はれると言はれて居るが之は黄道光固有の光ではない。這の粒子が如何なる大さを有し如何なる配列をなせるかは未だ明かでないが、或は流星群の如く一定の軌道に沿うて太陽を周行するものであるかも知れない。太陽から放射された細塵が其赤道面の近所に集まつて遙か地球軌道のあたり迄も彌漫し其れが日光を擴散して白光を放つといふことはありさうなことである。惑星や多くの彗星の運動に對し些の抵抗をも及ぼす形跡もないことから察するに其分布は非常に稀薄なものでなければならぬが、一二の短週期彗星の軌道には抵抗物質の存在に歸せしめねばならぬやうな變化が認められて居るので、何物かが空間に彌漫して居るものと考へなければならぬ。

コロナの輝線スペクトルは如何なる瓦斯が如何なる状態の下に發するものであるかに關しては殆ど定説がない。實驗的に地上の物質から其線を検出し得た者もなければ理論的に完全に其成生を説き明かしたものもない。或る人は稀薄

な瓦斯に陰極線のあたつて生ずる薄光の如きものだといつて居るが未だ具體的に如何なる瓦斯を如何なる状態の下に置いて如何程の強さの陰極線をあてたら此線が現はれるかを證據立てた者はない。たゞニコルソン J. W. Nicholson が量子論的に或種の原子模型に属する電子の運動からコロナ輝線の成立を説明しようとして試みたのが聊か注目し値する。ニコルソンは電子の角速度 ω と原子の半径 r の間に

$$r^2 \omega = \alpha + n\beta$$

(α, β は常数、 n は整数)なる關係の存在することを證明し、之とケプラー法則からして定常状態に在る原子に於ては

$$\omega = \text{const.} \times (\alpha + n\beta)^{-3}$$

となることを立證した。此状態に於てはエネルギーの輻射は起らない。平衡が攪亂されて高位の状態に移されると平衡状態の前後に振動して輻射を行ふのである。で主振動の週期は $\frac{2\pi}{\omega}$ である。C を光の速度とすれば波長は

$$\lambda = 2\pi C / \omega$$

となるから

$$\lambda^3 = \text{const.} \times (\alpha + n\beta)$$

なる關係が保たれる。即ち波長の立方根が等差級数をなすやうなスペクトル線級が出来ると。主振動の外に週期が $\frac{2\pi}{\omega}$ になるやうな副振動が起り得る。而して其が亦一組の「立方根線級」を形成する。コロナの線中

$$\lambda = 3891.0, 3602.3, 3328.2$$

は正に其一組である。

即ち三つの波長間には

$$(3891.0)^3 - (3602.3)^3 = 0.3991$$

$$(3602.3)^3 - (3328.2)^3 = 0.3991$$

なる關係が成立つて居る。更に又 5535.8, 5117.7, 4722.0 は公差 0.457 なる立方根級数の線に属する。ニコルソンは 5e だけの荷電を有する正電心核の周圍に若干の電子が運行する原子に就き輻射波長を計算したところが電子の数を二つから七つまで種々に變へることによつて今迄に觀測されたコロナ線の波長が大部分出て

來ることを知つたので此元素を假にプロトフリュオリン Protofluorine と呼んで居る。但し電子の数の區々になるのは電離の度合によるものと考へるのである。それから $\lambda 6374.5, 5303.3, 4359.0, 3534.0$ は之と別に公差 1.103 なる立方根級數に屬し $7e$ の心核荷電を有し八個のエンクトロンを有する原子から生ずる。而して電子を亡失した場合よりも餘計の電子を有する陰帯電原子の方が強い線を與へる。つまり實驗室内でよく見る negative glow に類する發光である。コロニウムは窒素の同位元素でプロトフリュオリンは硼素の同位元素である。

以上はニコルソンの假設の梗概であつて、之に據ると可なり迄コロナ輝線の解釋が出来るが其説の根柢には多くの假定を含んで居るので未だ俄に肯ふわけには行かない。此問題は元素の陰電スペクトルに關する智識が今少し進んでから更に實驗的に突入るべきものである。

二二 太陽スペクトル線の偏移及び態様と太陽大氣の物理的状態

一八九六年^(二四五)ハンフリース及びモラーが實驗の結果スペクトル線は壓力の増高に伴ひ増幅又は反彩を呈したり或は赤色側にずれたりすることを發見して、其理を太陽スペクトルに應用し、電弧スペクトルと比較した結果其大氣の壓力を二乃至七氣壓と算定し、剩へ種々の元素が大體原子量の順に配列されて居て重いもの程下の方に沈下して居るとまで推斷したので、著しく學界の視聽をそばだたせるものである。然るに其後の研究によると壓力と偏移との關係は可なり複雑なものであつて、斯くの如く單純に應用することを許されないのである。^(二四七)ハンフリース等の確め得た事柄は

- 一、 偏移は全壓力に比例するも、混合瓦斯の部分壓には依關せず、又溫度も關係しない。
- 二、 シアンONの線は殆ど壓力の影響を受けず。
- 三、 一元素の相似線に於ては偏移は波長に比例する。即ち赤色側のもの程著しく偏移する。
- 四、 一元素の異級の線の偏移は同一波長に引直ほして比較すれば

(主級) : (第一副級) : (第二副級) = 1 : 2 : 4

の割合である。

等で比較的規則立つたものであつたが、實は到底簡単な法則の下に律することの出来ないものであつて、同時に壓力以外の種々の物理的狀態に左右されるものであることが次第に分つて來たためにハンフリース等のやつた大氣壓力の測定は殆ど其價値を失つて了つたのである。然しながらハンフリースの仕事は歴史的に見て、常に重要な地歩を占むるものであつて、此方面に於ける論究の緒を開いたものであることは勿論のことであるのみならず、近頃喧しい相對原則に據るスペクトル線の偏移に關する實驗的檢證にまで進んで來た發端は或る意味に於て彼等の開いたものだとも考へられる。

^(二四八)ヘール、ケント及び^(二四九)アンダーソンは火花スペクトルに對する壓力の影響を研究し、^(二五〇)キングは電氣爐のスペクトルを檢した結果偏移のぐあひに就いては大體に於てハンフリース等と同じ結論に到達したが、更に電氣廻路の常數、放電電壓、火花のエネルギー、溫度等に至る迄スペクトル線に様々の影響を及ぼすことを明かにし

得たのである。キングの研究では低溫線の方が概して壓力偏移が大きく、又他に CO_2 の如き混合瓦斯のある場合も著しく偏移が大きくなる。然し壓力と偏移の「直線關係」は依然としてかはらなう。

^(二五一)其後ゲール及び^(二五二)アダムス H. G. Gale and W. S. Adams の研究に依つて各元素のスペクトル線は幾つかの種類に分たれ、各種類毎に壓力偏移が特殊の法則で律せられて居ることが分明となつた。例へば鐵の線に就いていふと、先づ低溫度の火焰線 Flame line は他の線に比して偏移が著しく小さくて最も特殊の一群を形成して居る。之を a 類とし、次に a 群に屬さぬものの中に次いで偏移小なるもので壓力に依り兩側に一樣に擴がるものを b 類となし、次いで b に比較すると遙かに偏移大なる c 類があつて、莖と青の部に密集して居る。最後に偏移格段に大にして壓力を加へると光輝を増し赤の方に幅の増加する特殊の線群があつて、之を d 類と名づける。d 群は主として綠黃部に集つて居るが、莖及び赤部にも少しく集團を形成して居る。全體としては偏移と波長との關係が甚だ不明瞭であるが、斯様に分類した上でこの關係を類毎に別々に考査すると、偏移が波長の立方に比例す

ることが歴然と分るし、又各類の平均偏移間には

$$\Delta_a : \Delta_b : \Delta_c : \Delta_d = 1 : 1.5 : 3.4 : 6.6$$

といふやうな關係がある。

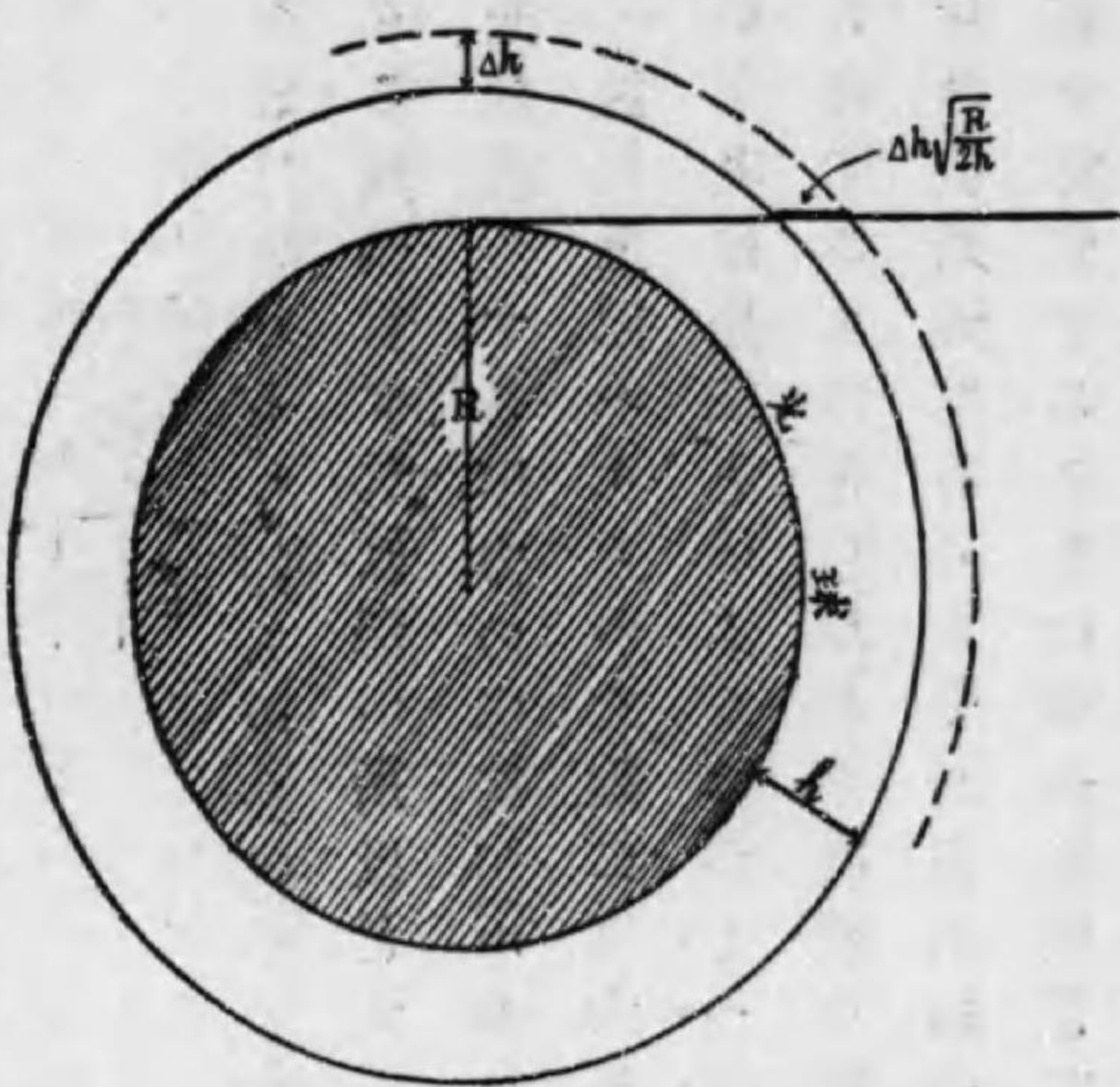
元素が異ると全く別の法則に律せられ、全く異なる分類法が必要になつて来る。例へばタイタニウムの線に於ては鐵の如く簡単に分類が出来ず、全體としては壓力偏移が波長の二乗に比例して居るが、カルシウムでは一乗に比例する。又タイタニウムの電弧線では壓力偏移と波長の間には大體直線關係が成立つて居る。尙鐵のスペクトルで火花線が電弧線に比し二三割方大きな偏移を示すことも天體雰圍氣中の壓力を検測する上に重要な事柄である。

ハンフリースに次いで太陽大氣の壓力問題で議論の種子を蒔いたのはハーム J. Halm の檢出した所謂「ハーム偏移」なる現象である。之は太陽像の縁邊のスペクトル線が中央に比して赤色側にずれて居ること、ハームが赤色部に於ける鐵の線 6301.718 及び 6302.975 のドップラー偏移に據り太陽自轉速度の測定中發見した現象である。ハ氏は東西兩縁のスペクトル線の波長、空中酸素の α 線群に對する

相對的の平均値が中央部に比し些か大きいといふことに氣付いて漸次研究の歩を進めて行つた結果、這の超過額は左の如く中心からの距離の函數であること

を確むることが出来た。

$$\begin{array}{l} \text{中心距離} \quad 0 \quad \frac{1}{2}r \quad \frac{3}{4}r \quad r \text{ (紫)} \\ \text{紫のずれ} \quad 0 \quad +0.002 \quad +0.007 \quad +0.012 \text{ A.U.} \end{array}$$



第九十圖 太陽大氣中を通る光線の徑路

の吸収が中央部よりも餘計に利いて居るわけであるから、線の最強部が赤色側にずれなければならぬ。此道理は右の圖から容易に窺ふことが出来る。即ち光

球の半径をRとし、大氣中其下底よりhの高さに於てΔhだけの厚みを有する薄層を考へると、縁から來る光線が此層を通る道程は凡そ

$$d = \Delta h \sqrt{\frac{R}{2h}}$$

で表はされる。即ち中央部から來る光に比し $\sqrt{\frac{R}{2h}}$ 倍に當る。此割合はhが小なる程、換言すれば深い所ほど大きくなる。斯様な次第で深い所の瓦斯ほど縁の光線に對する壓力の影響が(中央に比して)餘計に作用する勘定になる。

茲に上記ハームの立論には大きな缺陷があることを指摘して置かねばならない。其は光球といふものがくつきりとした限界面を有し太陽の光が總て其所から發するものとしたのと、吸収を選択吸収(線吸収)に限つたことである。大氣其自身の發光體なることや擴散及び一般吸収に依る光の減衰を考に入れて有效發光面を算定するときは縁の方ほど其が浅い所に在り、従つて吸収層の有効層位は縁の方が浅いといふ結果になりはすまいか。

ハームは數年間の觀測に基いて此種のスペクトル偏移が太陽活動と伴つた循

環的變化をするといふ説を立て、更に一步を進めて太陽が週期的に膨脹收縮する結果大氣の厚みが變化し、スペクトル線に對する壓力効果が年を追うて増減するものだといふ假設を生み出した。此假設は後年エヂントンが數學的に取扱つた如く理論上から見て甚だ面白い考ではあるが、觀測事實として見るときは甚だあやふやなもので、むしろ觀測の「系統的誤差」の所産として結論を控へるべき代物である。「縁邊偏移」なる現象の性體が甚だ明瞭を缺くに於て尙更のことである。

此問題は其後暫らく閑却された體であつたが一九一〇年ウィルソン山天文臺のアダムスが更に之を蒸し返へして論じ始めたので復び衆目の的となつた觀がある。アダムス^(二五三)は種々のスペクトル線の縁邊偏移を測定し實驗室内の結果と相待つて其性質を究める道程に一步を進めた。アダムスの觀測を要約すると左の如くである。

- 一、水素、カルシウムのH K G線、ソヂウムのD線、マグネシウムのb線等高層に生ずるものが縁邊偏移小なること、
- 二、縁邊に於て著しく強くなる線が縁邊偏移小なること、

- 三、 縁邊偏移が概して波長に伴つて大きくなつて行くこと、
- 四、 シアンバンドCN-bandには殆ど偏移なきこと、
- 五、 偏移大なる線は縁に近づくに従ひ赤色側に幅が擴がること、
- 六、 火花線の縁邊偏移特に大なること、

以上の結果は縁邊偏移を壓力作用に歸する説に對し有利な材料ではあるが、やはり茲にも解し兼ねる事柄を含んで居る。例へば火花線は輓近の學説に據ると比較的高層稀薄な部に發するものであるから壓力の影響は少い筈であるのに縁邊偏移が大きいのは如何したものであらう。

スペクトル線の縁邊偏移は瓦斯の上昇速度のために生ずる波長の減少が像の中央部に於て最も著しいからだとする説があるけれども、之は偏移の分布を詳かに調べると理に合はないことが分る。「上井瓦斯説」では偏移増加率最大の所が縁から少しく内に入つた所に在るべきだのに實際には極端の縁に在る。セントジョンの觀測に據ると像の中央に對する相對的の縁邊偏移がカルシウム、マグネシウム、水素等の上層線に就いては負となり、下層になるに従つて漸次正になり、中層

第三十六表

層位 (線ノ強度)	偏 移	元 素	線 數
0	0.000	Fe, Co, La	10
1-2	+0.005	Fe	18
3	+0.005	Fe	10
4	+0.006	Fe	21
5	+0.007	Fe	20
6-7	+0.007	Fe	28
8-20	+0.004	Fe, Si, Ti	16
最上層	-0.002	Al, Ca, H Mg, Na	14

迄増加し更に深い所では再び減じ、鐵の最微線の層迄下ると偏移零となつて居る。

此結果は「壓力説」に都合のよい事柄である。即ち上層ではセントジョンやペロ等の測定した如き一般太陽面の瓦斯の下降氣流に依つて負の縁邊偏移(對中央)を來し、又下層に於ては垂直流がなくなる爲壓力効果が主となつて働き正の縁邊偏移を生ずるに至る。更に深い所では擴散作用や一般吸收が縁邊に對しては格別に強く利いて來るから、同じスペクトル線でも縁では比較的淺い所即ち壓力の低い所に有效層を有して居るので、波長が中央部と同じくなるか若くは之よりも小さくなる筈であつて、右表の結果は正に此期待に一致して居る。

之に反しエバトシエツド及びロイツ等は種々の理由で壓力説を否定して居る。第一壓力の影響が左程著しいものとすれば下層の最も餘計に壓力を受けて居るところの瓦斯は最も温度高くして吸收作用弱き故、スペクトル線は赤の側にばか

されて擴がる筈であるのに、太陽の縁邊スペクトルに於てかゝる事實を認めないといふことを擧げて居る。壓力が左程大きくないといふことは後年諸家の研究で明かになつたのでアダムス、ハーム等の如く縁邊偏移を壓力に歸するの早計なることは疑ふべくもないが、エバーシエツドの如く溫度の影響を重要視するのも當を得て居ない。それはスペクトル線の生ずる深さ僅々數百紵の範圍に於ける溫度の差が甚だ少いことから考へて明白である。

次に縁邊スペクトルの波長の電弧線に對する超過額が一般に層位の高低を示すものと見做されて居るところの、線の強さに對し何等の依關を示さないのみならず、最も壓力の影響を受け易い線に於て反つて縁邊偏移少く、且偏移が波長と共に増加する形跡がないといふのが壓力説に對してエバーシエツド等の反對する第二の論據である。尤も之は此種のスペクトル線に特に顯著なる密度効果(後述)に依つて線の赤色側の強さが減ずる結果全體の位置が董色の方にずれたかの觀を呈する爲とすれば壓力説の破綻を救ふことが出来る。

第三の反對理由は若し壓力が主因だとすればアダムス等の分類で、群として

掲げたところの氣壓のために董色側にずれる特別の線に於ては縁邊偏移が他線の逆になる筈であるのに、かゝる事實を認めないといふに在る。

エバーシエツドはアダムスと反對に壓力效果の殆ど無い筈であるシアン關帶 QZ-band に於ても縁邊偏位の存在を認め、之を以て壓力説に對する反對の具として居る。如何にして兩氏の觀測にかゝる根本的の相違が起きたか分らないが、吾人は寧ろ之を以て斯くの如き精妙な測定が實驗の方法や周圍の條件に依つて如何に懸隔した結果に立到るものであるかを示す好例とし度い。之が後年「アインシュタイン偏移」の測定價値に關し兩研究所間に論争の種子となつたのは周知の事實である。

スペクトル線の縁邊偏移を選択擴散に據つて解釋しようとする學説がある(論者忘失)これは擴散率が吸收線の赤側の方に於ては他側よりも勝つて居るため線の幅は赤の方へ擴がる傾があるもので、縁から來る光は雰圍氣の濃密な部分を通つて來る道が長いため餘計に擴散が利いて中央部の闇線よりも赤の方へずれて見える。といふのであるが、之に據つてアダムス等の觀測した「異なる線に對する異

る縁邊偏移』を全部解釋することは困難である。恐らく種々の線の選擇擴散が理論的に且實驗的に究明された上でなくば此説の當否を判定することは出来なからう。

却説ハンフリース等の行つた太陽大氣の壓力測定は實驗室内のスペクトル研究の進歩に伴つて更に十分の吟味を受くべき運命に會することとなつた。^(二五五)エバ
ーシエツドは一九一三年實驗の結果太陽スペクトル線と電弧スペクトル線の波長差が壓力説の要求する如き波長の増大に伴ふ増加を認めずして、寧ろ紫外部に於て顯著であるといふ事實を指摘し、しかも

一、同程度の波長に就きて高層線と下層線の偏移電弧スペクトルに對するを比較するに反つて高層線に著しきこと、

二、若し壓力作用が偏移の主因であるとすれば實驗上壓力の影響を餘計に受けると見られて居る線の方が太陽スペクトルに於ける赤向偏移大なる筈なるに、事實は之に反すること、
といふ理由に基き、ハンフリース等の太陽スペクトルに於て觀測した赤向偏移は

壓力に依るものでないと斷じ、且線の強きもの(強さが層位に伴ふものと考へ)程偏移の大きくなる事實を以て上層の瓦斯が沈降しつゝ次第に速度を減ずるに依るものとなしたのである。^(二五六)翌年ロイツが或種の吸收線は真空中の電弧線よりも堇色側にずれて居る事實を發見して此現象が壓力作用で解釋出来ぬことを説くに及んで太陽スペクトルに於ける赤向偏移の問題は益々複雑なものとなつて來た。

上記ロイツの指摘した堇向偏移は電弧の長さを加減することによつて瓦斯の密度を變へると種々に變化するものであつて、氏は之を密度効果と呼んで居る。而して太陽スペクトル線の波長が密度小なる長電弧の線の波長に近いのを以て太陽面の瓦斯の密度が甚だ小さいことを物語るものであるとして居る。此結果からやがて壓力も亦甚だ低いといふことに論結されねばならない。ハンフリース等の得た結果とは段が違ふ程の低位に見積られてしまふのである。一面に於て密度効果や壓力効果の特に著しく顯はるゝ線の波長をば此種の效果甚だ小さい線を基準として測つた場合、太陽スペクトルに於ては空中電弧に於けるものよりも小なる値を得るといふことから考ふるも壓力は一氣壓以下と見積らなければ

ばならない。

其後^(二五七)コダイカナル學徒は太陽像の中央や縁邊のスペクトル線と電弧との比較研究を續行の結果遂に中央に於ける赤向偏移は約〇・五秒の下降氣流(ON)の層に於てを意味し、縁に於ける偏移はON層で〇・六秒、鐵の層で約一秒の『反地球水平流』の存在に歸さるべきことを論結するに至つたのである。而して波長の變化の太陽面分布から立論して中央部の下降氣流も全體的の循環流の垂直分速度の現はれではなくて、やはり或種の反地球作用に依る瓦斯の運動だと見做してしまつたのであるが、一方に於て、エバーシエツドは此現象の解釋上アインシュタインの重力効果説の用ふべきを提唱して居る。

然るに^(二五八)之と前後してロイツは壓力、密度、磁力、電力の影響以外にスペクトル線の偏移を起す一つの作用を新たに發見して太陽スペクトル線の偏移問題に更に複雑さを加へた。其は格段に『不對稱な線を電弧の陰電極の近くから來る光に就いて観る場合、線がぼけて居る方の側に向つてずれて居るといふ現象である。此現象は陽電極でもいくらか認められるし又電流を強くしたり弧を短くすると電弧

の中央でも現はれるものである。

斯くの如く種々と條件を變へることによつてスペクトル線の波長が變るといふことが果して事實であるか、即ち線の最強部が事實一方に偏るものであらうか、又は一方の側がぼやける爲似而非的偏移を呈するのかといふことは更に研究を要する問題である。尙之等の外に波長に影響すべきあらゆるコンディションを精査した上でなければ天體の物理的狀態を探求する上に安心してスペクトルの波長や態様を利用することは出来ない。^(二五九)之等の點を根本的に詮索する爲に一九一五年ウィルソン山のセントジョンは種々の實驗を試み上記の電極効果が實在のものであることを確かめ、而かも其が電極附近で瓦斯壓力の増す爲に起るものでもなく、其密度が局部的に大きい爲でもなく、又温度の加減でもないことが分つた。電極の附近で電位が局部的に高まることや局部的に瓦斯壓力の高まることが一部の原因をなして居るらしいが他に更に重要な因子がなくてはならぬ。複合線の部分線が煽昂のぐあひで光度變化をおこす(赤色側が強くなつたり堇色側が強くなつたりする)ために斯様な現象を呈するのではないかと考へられるが確かで

ない。尙セント・ジョンの研究に依り鐵の線に對する壓力並に電極效果の平均數

を掲ぐると第三十七表の通りである。

上述の如くスペクトル線の波長に影響する種の作用が續々發見され、其他にも同様の影響を及ぼす未知の作用が潜んで居るかも知れないといふ疑がある以上は、太陽スペクトル線の波長其物の測定から直ちに大氣の壓力なり密度なりを求め、そのことは覺束ない。壓力以外の各種の作用を均等に受け、しかも壓力效果のみが格段に相違せる二本の線を選んで太陽スペクトルに就き其『對電弧波長』を測定し、其差を實驗的に分つて居る該兩線の壓力效果の差と對比して太陽の氣壓(其線が生ずる層に於ける)を算出するのが今の所唯一の方法と考へられて居る。しかも前記各種の『效果』は波長の函數であるからスペクトルの略同じ域に在る線を

第三十七表

種別	數	λ	壓力效果 (對一氣壓)	電極效果
d	25	4085	+0.0048	+0.0099
d	12	5528	+0.0089	+0.0206
d	6	6350	+0.0160	+0.0185
c ₅	16	4766	+0.0093	+0.0119
e	7	3755	-0.0035	-0.0009
e	8	5392	+0.017	-0.0026

一對に組合はせて用ゐる必要あるはいふまでもない。即ち斯様な一對の線の波長を λ_1 とし、偏移の係數を c_1 とすれば壓力は

$$p = \frac{\Delta\lambda_2 - \Delta\lambda_1}{c_2 - c_1}$$

で計算される。但し $\Delta\lambda$ は電弧線に對する波長差である。

斯くの如き方法に依つてエバーシエツドは嘗て太陽大氣の下底に於ける壓力を $\frac{4}{3}$ 氣壓と出したことは前述の如くであるが、⁽¹⁶⁾ A. Perot は一九二二年鐵のスペクトル線 74219.5 及び 74204.3 は壓力偏移少く 74227.6, 74233.8, 74236.1 は壓力偏移著大なることを利用し、太陽スペクトルと電弧と比較して之等の線の層位に於ける壓力を約〇・五氣壓と出して居る。⁽¹⁶⁾ セント・ジョンは種々の影響を被ること最も少き一對の線を用ゐて測定をやりなほし、約十對の線から氣壓平均値として

$$p = 0.13 \pm 0.06$$

といふ結果を得て居る。之等の結果を見るに何れも太陽大氣の下底附近の壓力は前に考へられたよりも遙かに小さくて一氣壓の十分の一若くは以下であるら

しい。尙一面に於ては普通の壓力では線の幅が著しく擴がり、非常な低壓力でなくば細く且くつきりと見えぬところのクロームの線 24111, 4097, 3912 及びバリウムの 3421, 3183 等の線が太陽では可なりくつきりと見えるといふことも太陽面の壓力が甚だ低いといふことを物語る事實と見られる。

翻つて理論的方面を窺ふも太陽大氣の壓力が甚だ低いものであることは疑ふ餘地がない。第二章の後部に掲げた大氣の電離度を種々の氣壓と溫度とに配するサハの表に據ると、カルシウムの g 線 (44227) が現はれる層の上界、即ちミツチエルの閃光スペクトルで高さ五千籽とされた所では、カルシウムが完全に電離して居ると見なければならぬから、溫度を五〇〇〇乃至六〇〇〇度と見積る(溫度は下から上迄あまり變化ないもの)と考へてよい、其事は後で詳論する)と該層に於ける大氣の壓力は 10^{-4} 氣壓以下でなければならぬ。同じく電離説に根據を置くところのラッセルの研究を見るに、アルカリ金屬やアルカリ土類の吸収線の中電離せぬ原子に依るところの所謂電離線が約六千度の溫度に在る一般反彩層よりも約二千度の低度に在る黒點瓦斯に於ける方が著しく強く現はれるといふことも

溫度と電離度間の關係から考へるときは百分の一氣壓以上の壓力では起り難い事柄である。

^(二六三) スチユウオートは之と全く別の考から出發して、電離したソヂウムの不透明度を計算した處、自由電子の遮光作用を考に入れると太陽大氣中百分の一氣壓の層より下方から來る光は全部遮斷されてしまふといふ結論に達し、従つてフラウンホーファー吸収線の大部は其より上層の所産でなければならぬといふので壓力を 10^{-4} 程度と見積つて居る。

尙又^(二六四) ラッセル及びスチユウオートは電磁論から視線の中に於て一種平方の斷面上に存在する吸収線を生ずるに足るだけの分子の數を計算し

$$N = 1.7 \times 10^6 \sqrt{\frac{\text{溫度}}{(\text{種ノ波長})^2 \times (\text{分子量})}}$$

なる關係を見出し、之に據つてソヂウムの D 線を出す原子の數を 8×10^6 と出した上、種々の條件を適度に參酌して部分壓を 10^{-7} と算出して居る。

瓦斯體の密度が増す場合吸収を起す振動原子は近隣のイオンや自由電子に依

る電場でスタルク効果を受け其結果スペクトル線の幅が擴がるものと考へられて居るが、此線の幅からも壓力を推算することが出来る。又温度と電子壓とが分れば幅が理論的に概算される。^(二六五)ラツセルは水素H_β線に就き反彩層の温度五〇〇〇度、壓力 10^{-1} として幅を1.7Åと出し、之を觀測値0.6Åと對比し、尙全壓力と電子壓の關係やら他の増幅作用の可能性をも考慮して太陽大氣の壓力を 10^{-5} 程度と見積つた。

同様の結果は星體の構造論からも到達される。^(二六六)エヂントンの理論(後述)に據ると太陽に於て全壓力が 0.0 一氣壓に達する深さに於ては一九〇〇〇度といふ非常な高温となる。然るにフラウンホーファー線の生ずる反彩層は種々の理由から之より遙かに低い温度でなければならぬ。従つてもつと淺い而して低壓の層になればならない。又輻射壓の理論からして太陽面上に瓦斯分子が支へられて居る程度を計算することが出来、それから密度、壓力が大體分る。エヂントンの計算によると一平方糎上に太陽の全輻射で與へ得る質量は 8×10^{-5} 瓦に過ぎない。之から温度五〇〇〇度として壓力を計算すると壓力は 10^{-1} 氣壓程度とな

る。同じく輻射壓の理論に基きファウラー及びミルンは單電離カルシウムの上界の壓力を 10^{-5} と出して居る。

^(二六七)アトキンソン R. d'E. Atkinson がネルンストの熱力學に基いて恆星雰圍氣中のタイタニウム及び酸素の混合瓦斯と TiO_2 との間の平衡を論じた所によると、後者の吸収線が現はれる恆星スペクトル級(即ちM型)に對する反彩層の温度を三千度とすれば、其温度では全壓力が 10^{-1} 以下では TiO_2 はスペクトルに出るだけの量に達しない。又未だ此線の出ないK₀級の星に於て温度を四千度とすれば其温度では全壓力が 10^{-1} に上ると此化合物の量が可なりの程度に達しスペクトルに現はなければならぬ。従つて此中間型の矮星では TiO_2 の受ける全壓力は 10^{-1} 程度でなければならぬ。此理論によると大氣中に於ける此種の瓦斯の含有率の最小限を全體の千分の一(壓力に於て)と見て全壓力を 10^{-5} 以下と見積らなければならぬ。太陽黒點では之より温度稍高きにかゝはらず TiO_2 線が現はれるのだから壓力は右の値よりも幾らか高くあるべきだが大體の程度は之と同位と見て差支ない。

又^(二六)フアラ^(二六)ウラー^(二六)及びミルンは恆星大氣の電離論に據り、G₀型太陽型の恆星とF₀型(黒點スペクトル)の中間型に於て 75711, 5528, 4352 なるマグネシウムの線が強度最大に達する事實よりして、溫度を五五〇〇度と見て電子壓を 1.58×10^{-1} と算出して居る。

之を要するに理論的方面から見ても反彩層の壓力は其下層に於ても〇・一氣壓を出でぬ低位のものであつて、上層に於ては非常な低壓であるといふことに諸家の説が一致して居る。

アインシュタインの相對性原則に據ると重力の場に於ける電子の振動數 ν は其場のポテンシャル ϕ 及び光の速度 c の函數として略

$$\nu = \nu_0 \left(1 + \frac{\phi}{c^2} \right)$$

なる式で表はされる。即ち其^{フィールド}場による振動數増加率は

$$\frac{\nu - \nu_0}{\nu_0} = \frac{\phi}{c^2}$$

となる。で振動電子が質量 M 、半径 r の物體上にあるものとするれば、 ϕ は

$$\phi = -k \frac{M}{r}$$

で表はされる故に、振動數は

$$\frac{\nu - \nu_0}{\nu_0} = \frac{kM}{c^2 r}$$

なる割合で減少する。故に太陽の如き大きな天體の上から發する光の波長は幾らか大きくなる道理である。換言すればスペクトル線が赤の方へ僅かばかりずれることになるのである。此ずれる程度は右の式からも分る通り大體其線の波長に比例するもので、太陽の場合には波長の約 2×10^{-6} 倍に當る。例へば 0.4μ の波長に於ては光源が地上にある場合に比し 0.008 A.U. だけ波長が長くなり、 0.6μ の線なら 0.012 A.U. だけ長くなる。

アインシュタインの原則が正しいとすれば水星の軌道の長軸が百年に約四十秒づゝ回轉し、又太陽其他質量大なる天體の傍を通過して來る他の星の光が

$$\frac{1.7 \times (\text{太陽視半徑})}{\text{中心ヨリノ角距離}} \text{秒}$$

だけ該天體の中心の方に偏ることになると共に、前項に述べたやうなスペクトル線の「ずれ」がなければならぬ。勿論スペクトル線の偏移を來すべき作用は前述の如く外にも澤山にあり又未知の偏移原因が潜在するやも計られぬので、之等の作用を全部取除いた上でなければ相對原則偏移を論ずることは出來ない。之が此種の研究に非常な困難の伴ふ所以である。

コダイカナル天文臺のエバーシエツドが太陽スペクトル線と電弧の比較研究を行つた結果種々の外界の作用を消去した上で太陽の方が幾分波長の大きいといふことを確めて其原因が相對原則偏移ではないかとの疑を抱いたことは前記の如くである。更に其後電極効果、壓力偏移の殆どないCN線群(13883)に就いて得た結果は

太陽像中央 +0.005 A.U.
 兩縁の平均 +0.008 A.U.

だけ電弧より波長が長く出て來る。垂直氣流の影響を蒙らぬ縁邊の觀測結果を採ると、アインシュタインの推算した値と殆ど一致して居る。然し異なる線からの

結果が著しく不同なので未だ十分の信用を置き兼ねる。ウィルソン山のセント・ジョンが一九一八年觀測の結果は、縁部に於ける三十五本の線の中で正偏移を示すもの二十三本負が八本無偏移四といふ割合で平均+0.0018となり相對原則の要求する値に遠く及ばない。又ポコック R. J. Pocock がコダイカナルで一九一八年の夏やつた觀測では太陽北縁や赤道部では偏移がアインシュタインの計算値の半分位にしか出て來ないが南縁に於ては偏移が平均+0.0081となり推算値と全く一致して居り、之と前後してやつたエバーシエツド及びナラヤナの測定では(13883)邊のCN群十本の如くアインシュタインの値に可なり近い結果を示して居る。

北極縁 +0.0061
 南極縁 +0.0088
 中央 +0.0043

壓力の影響は前記の如く甚だ小さいものと考へられるから之を度外視してもよい。又同様の理由で密度勾配の異常に急なことが原因である異常屈折に依る偏移も殆どないものと見てよい。最近セント・ジョンは約三百本のスペクトル

線の真空電弧と太陽中央との比較により、太陽の方がいつでも波長が大きく、中位の強度の線では平均数が相對原則偏移と殆ど一致することを確めて居る。で結局アインシュタイン偏移の外に上層では〇・三秒の下降氣流、下層では〇・二秒の上昇氣流があつてドップラー効果の爲線がいくらかずれるものとすれば、全體を通じてよく觀測と理論の辻褄が合ふ。

要するにスペクトル線のアインシュタイン偏移の實證は未だ確實に握られて居るとは言ひ難いが趨勢は極めて好望にあるといつてよからう。

附記 白金に數千倍する平均密度を有するものとされて居る二重星天狼星の伴星に於てはスペクトル線のアインシュタイン偏移が非常に顯著でなければならぬのであるが、最近セント・ジョンの觀測で毎秒二・一軒の視線速度に相當する著大な偏移を示すことが分つたので、相對原則偏移の確かめが出来たものと見られて居る。

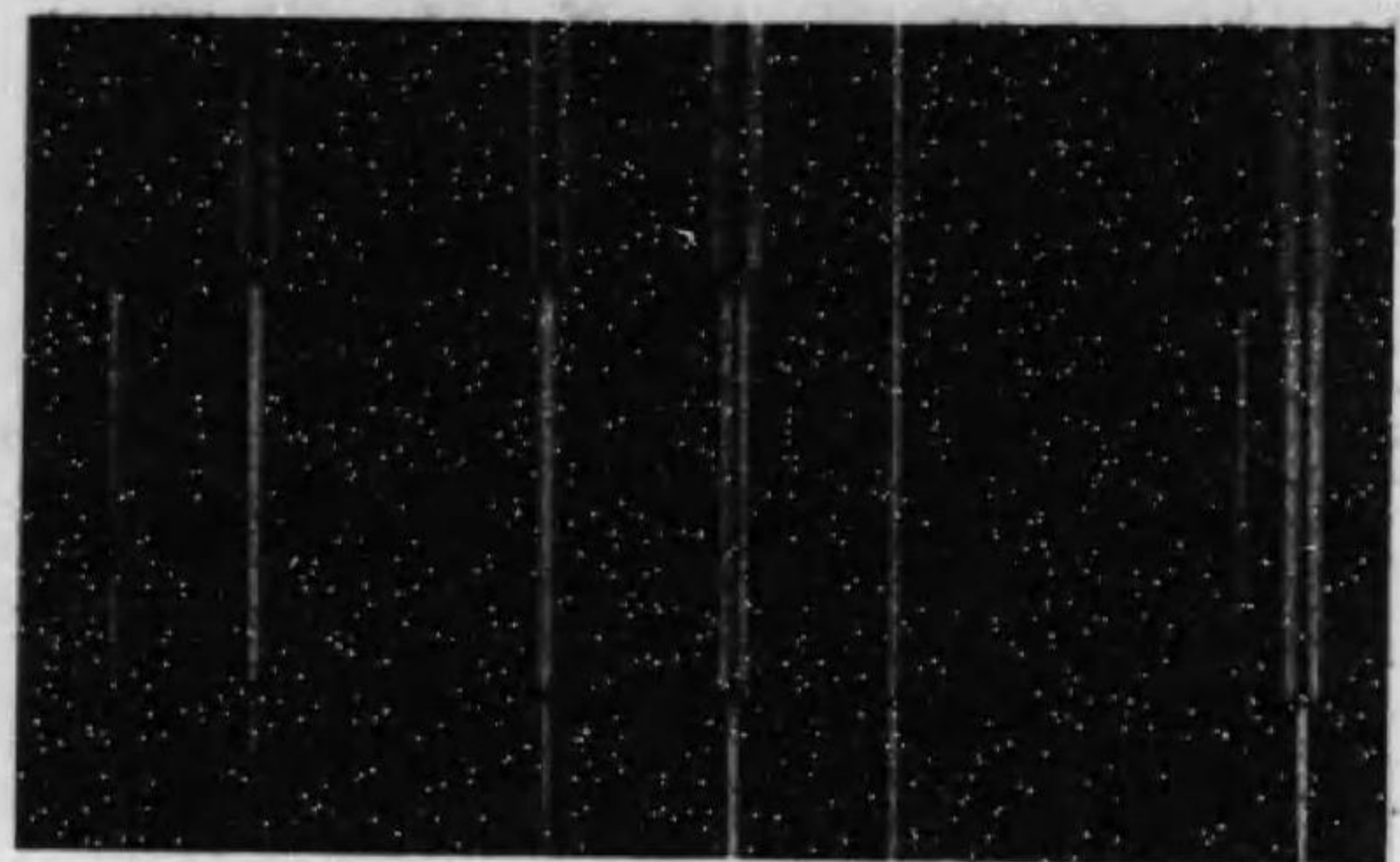
第七章 太陽面に於ける電磁現象

一一一 黒點に於ける磁力

瓦斯の中で強い放電があると其分子なり原子なりが電離するため多數の帶電粒子が生ずることは實驗室に於ける普通の事實であつて、又白熱状態にある物質からは電子を放出することも疑はれない事實である。其他種々の方法に依つて正負の帶電粒子の出来ることは一般に知られた事柄であるからして、太陽を包む高熱瓦斯中には所々に電氣を帯びた粒子が群生して居て、其が太陽大氣中所々に起る激甚な對流に伴つて動く結果は恰も導線の束の中に電流を通じたのと同様に於て、其周圍に一つの磁場を起すに至ることは明かである。蓋し帶電せる物體が動くときは電流を通じたと同様に磁場を生ずることはマックスウェルが理論的に證明し、ローランドが既に五十年の昔に實驗した所で疑ふ餘地がない。而し

て前諸説に述べた如く太陽黒點が太陽面に起る渦動の一面であるとするれば、電流を通じたコイルの軸を太陽面に垂直に置いたやうに磁力線が黒點心核を貫いて垂直に通つて居なければならぬ。此磁力はスペクトル線に對する磁場の影響を示すところのゼーマン効果 Zeemann-effect を利用して検出することが出来る筈である。

和蘭のゼーマンは一八九六年ブンゼン燈を強い磁場に置くと其發するスペクトル線が太く擴がるといふことを發見した。此現象は今日ゼーマン効果として知らるゝもので増幅は磁力の強くなる程著しくなり遂に線の分裂を見るに至るのである。しかも其現象は視線が磁力線に平行の場合と直角の場合とで大に趣を異にし、平行の場合には線が二本に分れ雙方が互に反對の向きに圓偏光を呈するのであるが、直角の場合には三本に分裂し中央のは磁力線に直角に偏り兩側の二本は磁力線に平行な平面に振動する光となるものである。磁力線が觀測者の方向に向つて居れば右旋に偏光した方が赤色側にある。以上は基準的な場合であるが、三本以上澤山の線に分裂し其各が異つた偏りを示す如き複雑な場合も少く



第九十一圖 鐵のスペクトル線に對する磁力の影響

ない。此處に挿入した圖は鐵のスペクトル線に於けるゼーマン効果を示したもので、最下は磁力なき場合、最上は三裂線中央のをニコルで消したもの、中央は兩側の二本を消したものである。

此現象は今日の輻射論から考へると、明かに發光の原因たる電子の振動が磁力の影響を受けて振動週期従つて波長を變じたり本來の振動以外に其週期に近い週期を有する多くの副振動を生じて澤山の波長が重複する結果線の幅が太くなり又は分裂するものが見ることが出来る。

ゼーマン効果に關し更に立入つた説明をする前に順序として、偏つた光の偏光面が磁力の作用で回轉する現象に就いて一言する。

ニコルプリズムを用ひて一定平面内に振動する光だけを通過させ、第二のニコルプリズムを之に直角に置き其を通して望遠鏡で觀測すると、後者は該偏光面に直

角な偏り光線のみを通過せしむる故に、視界は眞闇で光は見えない。で光源とプリズムの間にコイルを置いて之に電流を通じ其空洞を通して光を観ると、電流の作用で出来た磁力のため偏光面が廻る結果として闇黒であつた視界は再び明るくなつて来るのであるが、第二のプリズムを更に一定の角度だけ廻はすと再び闇黒になる。此角度が磁力のために偏光面の廻つた角度に相當するものである。

今平衡の位置の左右に直線的に振動しつゝある一つの電子を取つて考ふるに、其運動は(a)磁力の方向に於ける振動と(b)之に直角の方向に於ける振動とに分けることが出来る。而して後者は右旋と左旋の各圓形軌道振動に分解される。此兩者は磁力に直角であるため側方に反撥され軌道の半径が一方は増し他は減ずる。其結果として振動週期従つて波長が一方は増し他は減少する。(a)は運動が磁力に平行だから斯様な影響を受けない。磁力が若し視線の方向に向つて居れば(a)は振動が傳播方向と一致する故光としての効果を有たない。従つて(b)の互に反對に偏つた光が幾分かの波長差をもつて現はれて来るだけのことになる。之が所謂 longitudinal Zeemann-effect であつて、此場合二裂線の間隔は磁力に

比例するものである。若し又視線が磁力線と直角の方を向いて居れば(a)は磁力に平行なる偏り光線として現はれ振動週期に影響なき故、スペクトル線は波長の變化なくして元の位置に保たれる。而して(b)の兩者は圓運動の投影となる故直線偏光として(a)よりもいくらか波長を異にして其兩側にスペクトル線を現出するに至る。之が所謂 transversal Zeemann-effect である。ファラデーの發見した磁力による偏光面の回轉も同様にして説明することが出来る。

ゼーマン効果を利用して黒點の内外に於ける磁場を検測することの可能性に初めて着目し之を實地に檢證したのはヘールである。勿論之より前スペクトル線が黒點の所で分裂したり反彩現象を呈することはヤング、ミツチェル等の屢指摘したところで、此現象は上記ヘールの發見に照らして考ふるに恐らく磁場の影響に依るものと解せらるゝのであるが、當時の觀測者は未だ這般の機巧に想到するに至らなかつたものと見える。

ヘールはウィルソン山天文臺の六十呎塔狀望遠鏡と焦點距離三十呎の分光儀を用ゐて太陽黒點のスペクトル寫眞を取り右記の如き磁場の影響あるや否やを

檢して見た。其仕掛は分光儀スリットの前にフレネル斜方形鏡^{プリズム}を置き、若し光が視線に平行な磁場を通過して來るため二つの相反圓形偏り光線となる場合には、其が九十度の位相差を有する二つの直線偏光に變る様にして置く。而して其背後即ちスリットの直ぐ前にニコルプリズムを置いて之を適度に回轉すれば上記二部の偏り光線の中一方が消え他の一方が最も強く現はれる。更に九十度廻せば反對に他の一方が消える。之を分光儀で取つたスペクトル線に就いていふとニコルの或る位置に於て二裂線の一方が消え九十度廻はすと他の方が消える。而してニコルの或る位置で赤色側の線が消えるか堇色側のが消えるかによつて磁力線が觀測者の方に向いて居るか其反對に向いて居るかを決定することが出来るのである。ヘール^(Hale)は一九〇八年六月四日 CN の $\lambda 3933$ なる線を用ゐて初めて之を黒點に就いて試みたところ、果して期待通りニコルを次第に廻はして行くと或る點で二重線の一方が最強になり、他が最微になり、九〇度を置いて兩者強弱の關係が逆轉することを發見した。勿論此場合磁力線が視線と完全に一致しないことと反射回轉儀の鏡面に於て起る偏りのため偏りが橢圓式になり、其結果ニコ

ルの回轉によつて完全に片方の線を消滅させることが出來ず、單に或る程度迄弱くなるだけにとゞまるのである。又分裂する迄に至らぬ増幅線に於てはニコルの回轉によつて黒味の最も強い所が線の右縁に在つたり左縁に在つたりする結果として線のずれが起ることになる。此現象が器械の缺點等に起因するものでなく、眞に黒點部に於ける磁場の作用に歸するものであることは地球大氣の吸収に基く闇線には全く此現象を認めざること、實驗室に於ける觀測で磁力の影響を最も多く受けることが知られて居る線に最も著しく此現象を呈すること、及び太陽面上特に黒點の部に於て顯著なること等によつて争はれぬことである。又ゼーマン効果は、線の種類によつて磁力のためにずれる程度や分裂のし方が大分異なるものであるが、其關係が太陽に於ける場合と實驗室内の結果と實によく一致して居るので、其原因を磁力以外の何物にも求むることは出來ないといつてよろしい。更にまた磁力線が黒點心核を貫いて太陽面に略垂直に通つて居るものとするれば、黒點が太陽像の縁に近づいた時は磁力線が視線と略直角になる故、スペクトル線は三本に裂け、ニコルの或る角度で中央の線が消え更に九〇度廻はすと

兩側のが消えるといふやうになる筈であつて、實際此通りになるのを以て見るも二重線の観測から得た黒點磁場の結論は愈々確實なものと思はれるのである。若し黒點の磁場が荷電微粒子の渦動に因るものとしたならば、渦の旋向が逆になれば磁場の向きが逆になる。荷電の符號が同一として筈であるから、二重線に於て甲の黒點でニコルが或る角度に來た時に赤色側の線が消えたのに、乙の黒點ではニコルの同位置に於て董色側のが消えるといふやうな逆轉が起る筈である。で實際にも併列せる二つの黒點に於て斯様な逆轉が屢々観測さるゝのに據つて考ふるに、渦動の逆向きな黒點の隣接して存在することが少くないことを推定することが出来る。

尙ヘールの観測で注目すべきことは右の如き逆旋雙渦動の頻出することの外、下層に發する線程磁力が強くと働いて居り、少しく高い層になると急に磁力が弱くなるといふ事であり、つまり黒點磁場の源となる帶電粒子の渦動は主として反彩層の下底若くは更にもつと深い所にあるものと見なければならぬのである。

爾來(ニセ)ヘール、エライマン、ニコルソン等はウィルソン山に於て太陽黒點群の各部

に於ける磁極性を連續観測して居る。其方法は前記の原理に依りゼーマン三重線をば四分波板(クォーターウェーブ)とニコル・プリズムを通して観測し三線の中央、赤側及び董側の強度の比から磁力線と視線間の傾斜が分るのである。其結果を見ると黒點の磁極性は必ずしも其所屬半球(南又は北)によつてきまつては居ない。従つて黒點を帶電粒子群の渦動と見た場合の旋向が地球の颶風系の如く北半球では左旋南では右旋といふやうにきまつて居るものではないのである。此事は單光寫眞畫の水素流線の示す渦流形から得た結果と符合して居る。しかも同一黒點群に屬する隣接黒點に於て磁極性の相反したものが屢々現はれたり、又主黒點に反對の磁極性の子渦が隨伴する場合や、相反磁性の雙黒點の出現することが甚だ多いのである。一對づゝ揃つて黒點の出る場合は殆どいつも磁性が相反して居る。これは雙方が各ままとまつた一つの黒點である場合でも、小黒點の集團である場合でも同じである。

對黒點に於て特に面白いことは黒點循環期に伴ふ磁極性の轉換といふことである。ヘールの観測に據ると、一九〇八年乃至一九一二年(黒點數最少期の前年)に

於ては大抵の場合北半球の黒點は前に立つて居る方が「北」の磁極性(地球の北極と同じ)を現はし、後に伴はれて居る方が「南」の磁性を有するのに、他の半球では之が全く逆になつて居る。若し前に立つて居る方を主黒點と見るならば主黒點の磁性が赤道の兩側で互に逆になつて居るといふことが出来る。處が不思議なことに、一九一二年十二月黒點最少期を經過せる後に至つて之が全然逆になつて北半線では前に立つて居る方の黒點が「北」磁性を現はし始めたのである。其傾向は一九一七年の黒點數極大期を過ぎても依然として繼續し一九二三年の極小期迄一循環期を通じて持越して居る。此極小期を越せば復び逆になるかといふヘール等の期待は見事に實現して今度の循環期の初頭を劃する高緯度黒點に對して試みられた磁性の觀測は完全に之を實證して居る。此發見は太陽活動循環期の見方に根本的の動搖を來し斯界に異常な反響を見せたものである。即ち今迄平均十一年半と見た週期は更に根本的な二十三年といふ長週期から誘導されるべきもので、這の長週期を以て行はるゝ太陽内部の或種の重大な變動に基いて黒點に十一年といふ週期が現はれて來るものと見度くなつて來るのである。

黒點磁場の源と目されて居る帶電粒子の渦卷は主として正荷電を有するものか負荷電が主かといふことは太陽の構造及び其中に生起する諸々の現象の機巧を明かにする上に大切な問題である。ヘールは其研究の初期に於てはH. 單光寫眞畫に現はるゝ流線から判斷した旋向が反時計的である場合磁場が太陽面から外方に向つて居るといふことに基いて負荷電の渦動だとし、高熱の瓦斯から放射さるゝ負電子が黒點の上層に於て心核の方に向つて流入して行く瓦斯に伴つて集中して來るものだと考へたのである。H. 單光畫の流線やエバーシエツド、セント・ジョン等のドツブラー効果に依つて測定した結果は斯様な吹込氣流の存在を是認せしむるに足るけれども、今日の理論から考へて陰電子だけが此氣流に乗つて集中して行くとするのは無理である。のみならず磁場の強さはスペクトル線の下層に生じたもの程強く上層になるとめつきり弱くなるといふことから磁力の根源がずつと深い所に潜在する渦動に依るやに思はれるのでH. 單光畫の流線に依つて荷電の正負を決定するといふことはできない。現に其後の觀測によれば先頭黒點の水素渦動は南半球では右旋、北半球では左旋のことが多いけれども、

其例外も甚だ少くないし、黒點最少期を界とする磁極性の轉換を示さない。同じ磁極性のもので流線は右旋のものも左旋のものもあり區々として一定しない。斯様な次第で荷電の正負に關しては今の所何等信賴すべき判断が下されないのである。

ヘールは更に近頃黒點磁場の生因に關し根本的の疑問を提起して居る。黒點の磁場が帶電粒子の渦動で生じたものとすれば、之に對する電場がなければならぬ。然るに今日迄の觀測では黒點スペクトルの線にはスタルク効果は殆ど現はれて居ないから左程強い電場はありさうもない。尙一方に於てスペクトル中火花線 spark line が一般に黒點部に於ては他の部よりも弱いといふことから考へても温度の下降に對抗して原子の電離を支持するだけの電場が存在しないことは明かである。尤も之は黒點本陰影を形成する瓦斯のみに就いていふことで、其下層若くは外域に於ては或は可なりの電場があるのかも知れない。強烈な電場を伴はずして帶電粒子の運動に依る磁場の發生することは甚だ困難なことであるが茲に一つの通路がある。其はシユスタールが大なる回轉體の磁石化を唱へる

に用ゐた論法を黒點渦動にあてはめるのである。シユスタールの論旨は次節に梗概を述べてある。

二二三 太陽全體の磁性

ヘールは更に一步を進めて太陽全體を一個の磁石としてしまつた。(二七四) 非常に大きな物體が非常な高速度で自轉するときには自轉の兩極を磁極とする磁石になるといふことは大分前から一部の學者の頭に浮んだ考であつたのである。ジュー・トムソン J. J. Thomson は嘗て原子の正電氣に及ぼす引力と負電氣に及ぼす引力が等しくないならば絶大な物體中に於ける正電氣の中心よりの平均距離と負電氣の其れとが異なる結果として回轉して居る場合には磁場を生ずる理であることを説き、バウアー Bauer は分子の内部で正電氣が負電氣より比較的中心に近く集つて居るとすれば當然斯様な結果に立到ると考へ、而して其に基いて太陽の極に於ける磁場を三〇〇ガウスと算出したものである。シユスタールは各原子を夫々一個の磁石と見做して居る。而して其が心核の周圍に回轉しつゝあるた

め全體の自轉に因り獨樂的フレイロスタチックの作用を受け原子の回轉軸が全體の自轉軸と一致しようとする傾ありと考へる。斯様な無數の磁石粒の合成作用として全體が磁石になる。と斯様に考へるのである。斯くの如き假設は到底室内の小規模なる實驗に依つては解決さるべき問題でない。唯一の道はゼーマン効果を利用して太陽全體の磁場を検出するにある。コロナが太陽細塵の磁力線に沿うて逸散する道筋を示すものであらうとの考はビジェローヤステルマーも唱道した所であるが磁場の爲のふれが實測と一致せぬ點もあり、未だ太陽を磁石として承認せしむる程有力なものではない。

ヘール(一七五)が此觀測に着手したのは一九〇八年の夏であつたが、稍成功の域に入つたのは一九一三年以後の觀測である。太陽を球形磁石と見、自轉軸と磁極とが一致して居るものと考へるときは、ゼーマン効果に於ける三連線の偏移 Δ は(一七六)シヤールス F. H. Sears の研究に據ると大凡

$$k\Delta = 3 \sin(2\varphi - D) + \sin D$$

なる式で表はされる。茲に φ は太陽面緯度、 D は太陽赤道に對する地球の緯度、又

k は用ゐたスペクトル線の特性と太陽赤道部の磁場とでさまる一つの定數である。 k は Δ の南北等緯度の所に於ける値 Δ_n 、 Δ_s を觀測すれば

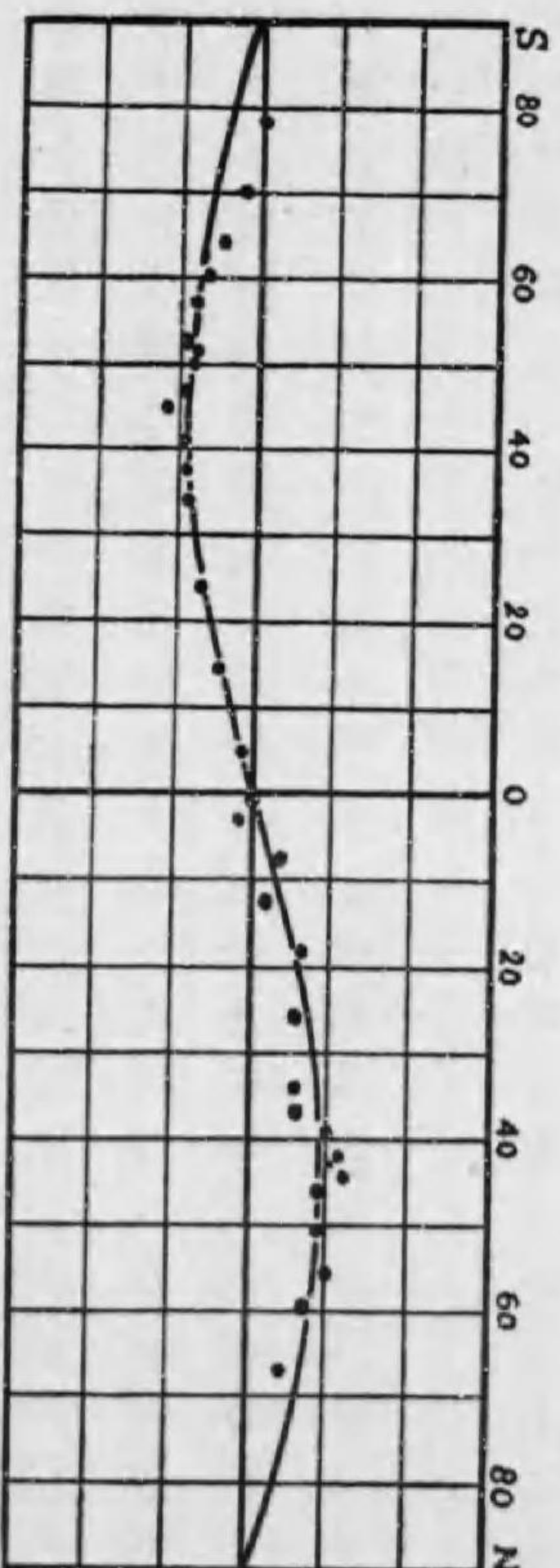
$$k\Delta_n = 3 \sin(+2\varphi - D) + \sin D$$

$$k\Delta_s = 3 \sin(-2\varphi - D) + \sin D$$

従つて

$$k(\Delta_n - \Delta_s) = 6 \sin 2\varphi \cos D$$

に依つて決定することが出来る。でファン・マーネン Van Maanen がヘールを助け



第九十二圖 太陽面の磁場を示すゼーマン線型

てウィルソン山で測定した各緯度のゼーマン偏移 (5930, 5812, 5823) を右記の式で算出した上其結果を曲線で示すと右圖の通りで、理論的に求めた曲線と観測点とのよく一致せることは太陽全體を磁石と見て大した過ちの無い證據として十分のものと思はれる。又観測し得たる全體の磁性なるものが所々に出來て居る無数の局部的小渦動に基く磁性ではないかといふ疑も插まれるが右の圖は明かに其然らざることを示して居る。

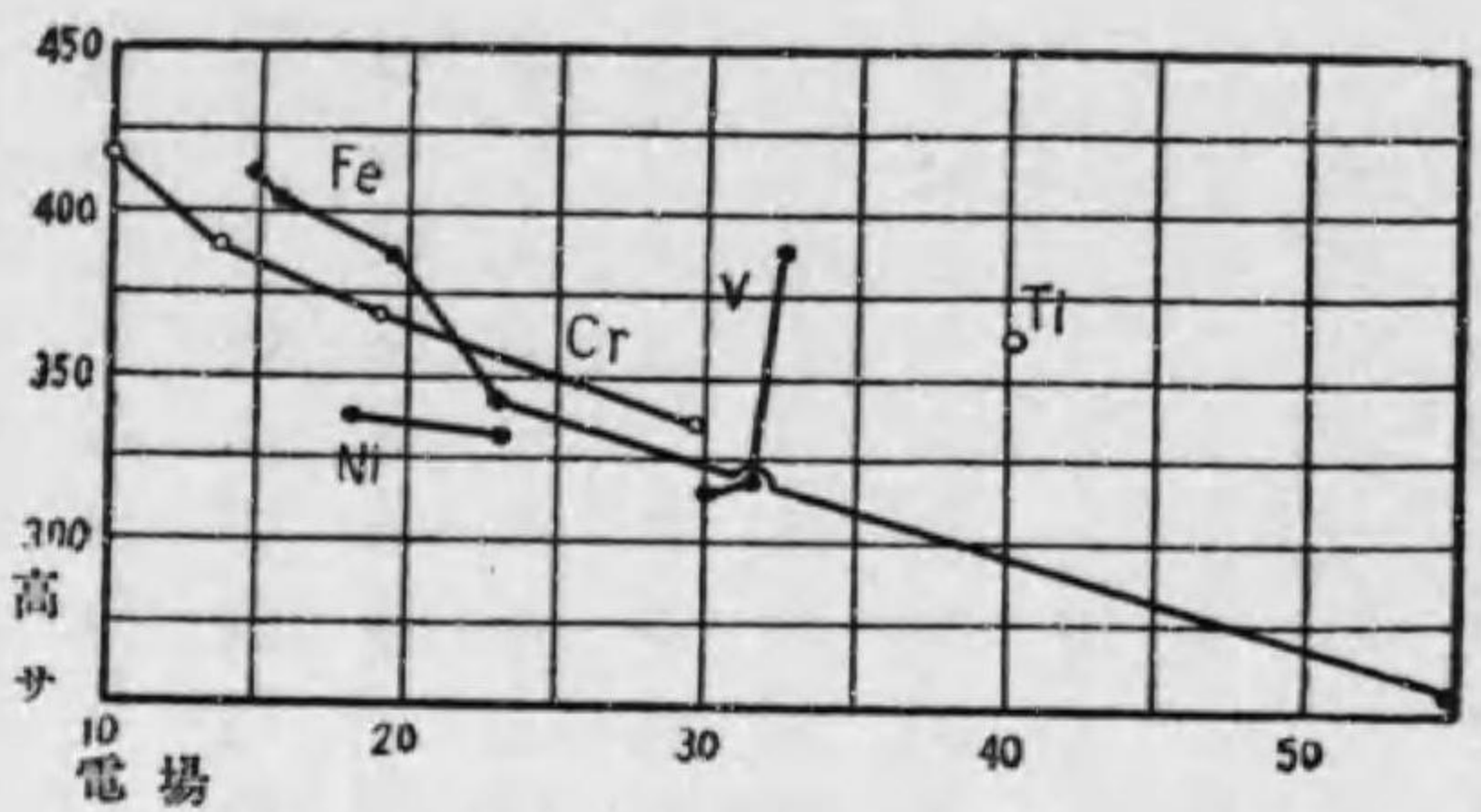
太陽自轉極に於ける磁場の強さは一ガウスに對するゼーマン分裂度をCとすれば

$$H_p = \frac{2\Delta_{ze}}{3C}$$

で表はされる。フアン・マリーネンの観測に據ると 25930 の線に就ては Δ_{ze} は 0.0015 A.U. で、又キングの實驗でCは 0.000036 と定められたから、

$$H_p = 28 \text{ ガウス}$$

と出る。又Crの線三本から出した平均値は一四ガウスとある。尙磁極が自轉軸



第九十三圖 太陽磁場と層高の關係

と大體一致せることに關しては観測値が理論値曲線と一致することから考へると疑ないことであるが、更に細かに觀察すると θ_{10} の所に於ける値が太陽自轉と同週期で變化することが分るので、之は明かに磁極と自轉極とが正確に一致して居ない證據である。其の傾斜を別に式を立て計算すると、 6.0 ± 0.4 となる。

磁場の強さが上層程弱くなることも黒點の場合と同様である。即ちミツチエルの測定した各線の層高に基いて磁場と高さの關係を圖に表はすと上の如くであつて、之を見るに磁場の強さは高さ僅か二〇〇軒の間で五〇ガウスから一〇ガウスまで急減して居る。即ち太陽磁場が極めて光球に近き薄層に限局されて居ることを示して居る。

そこで問題は再び太陽磁場の原因に移る。之を前記の如く小渦動の磁場の合成作用とすることは渦の左旋

と右旋とが同じ頻度で出現することから考へて肯はれない假設であり、自轉軸と磁軸とが大差なきこと及び全體が均整帶磁體に近きことは「大なる回轉體は磁石化す」といふ假設に對して甚だ有利なる材料たるには相違なきも、其解決は更に十分の研究を待たねばならない。

第八章 數理的考察

太陽全體に關する數理的考察は其内部及び雰圍氣の各部に於ける溫度、壓力、密度等の分布及び其變化を研究する方面と太陽を構成せる物質の運動を明かにする方面との二つに分けて取扱ふのを便とする。勿論運動と溫度、壓力、密度との間には離すべからざる連鎖があつて別々に論ずることは不可能である。唯主として我々の注意を向くる方面を二段に分けて進まうといふのである。又之等の要素の外電氣的磁氣的現象に關して數理的に取扱はるべき多くの問題が吾人の目前に横はつて居るけれども、あまりに事面倒となるので其方面は暫らく不問に附して論を進める。尙嚴密なる數理的方法を以て之等の諸要素を論ずるに當つては其れが時とともに變化せざる所謂定常状態にあるものとし、且各部の運動が大局部に於て無いものと考へてやらなければ數式の解が出来ないので、止むを得ず斯様な理想の場合を假想して議論をするのを普通とする。而して後で運動といふ事を加味して結論を更正するの道をとるか、最初から運動を考慮に入れてやる

にしても其自由度や程度を限定して數式を簡單化するの策をとる。

二四 基本方程式

今太陽を空間に靜止して居る完全瓦斯の團塊とし、其内に於ける任意の直角軸 XYZ に照らし x, y, z なる座標で表はされる一點 P に於ける運動の分速度を u, v, w とすれば、之等の座標、分速度、其點の密度 ρ 、壓力 p 、外力 XYZ の間には所謂オイラー Euler の方程式

$$\begin{aligned} \frac{\partial u}{\partial t} + u \frac{\partial u}{\partial x} + v \frac{\partial u}{\partial y} + w \frac{\partial u}{\partial z} &= X - \frac{1}{\rho} \frac{\partial p}{\partial x} \\ \frac{\partial v}{\partial t} + u \frac{\partial v}{\partial x} + v \frac{\partial v}{\partial y} + w \frac{\partial v}{\partial z} &= Y - \frac{1}{\rho} \frac{\partial p}{\partial y} \\ \frac{\partial w}{\partial t} + u \frac{\partial w}{\partial x} + v \frac{\partial w}{\partial y} + w \frac{\partial w}{\partial z} &= Z - \frac{1}{\rho} \frac{\partial p}{\partial z} \end{aligned}$$

が成立つことは一般流體力學の教ふる所である。處で原點から一定の距離例へば R 以内に於ては密度が何れの方向にも對稱的に分布されて居るとする。即ち

ρ が r のみの函数だとすると R 以内の一點 r に於けるポテンシアル Ω は

$$\Omega = -\frac{4\pi G}{r} \int_0^r \rho r'^2 dr' - 4\pi G \int_r^R \rho r' dr'$$

で表はされることも一般力學の定理として明かなことである。但し茲に G は重力常數、即ち一瓦の質量を有する二物體が一種の距離に置かれた場合に引き合ふ「力」である。

今此瓦斯塊の各部が靜止の状態にあるとする。無論之より以前に於ては或種の運動を有して居たのであらうが、或種の過程を通じて現在の状態に到達し、其處で温度、密度、壓力が或る分布を有するに及んで釣合がとれて斯様な靜止の状態になつたものと考へるのである。無論實際に於ては瓦斯の漸次降沈又は上昇し又南北及び東西の漸動が行はれて居る形跡はあるが、其はあまり著しいものではなく、第一次的の近似算に於ては省略して可なるものである。又團塊の各部に於ては非常なる擾亂状態に在つて靜止状態には遠く及ばぬものではあるが大局の運動を考へるに於ては「擾亂」は不問に附して差支ない。又前項に假定した如き原點

に對する「對稱」も嚴正に考へて決して正しいことではないが之も第一次近似算では認容せねばならぬ假定である。

以上の如き平衡状態に達する迄の過程及び其を支配する原動力や法則に關しては種々の假設が考へられるが、其は後から詳論することとし、此状態に達した時の温度其他の要素の分布を誘導しようとするのが差當りの目的である。静止の場合に於ては前記三式は

$$\frac{\partial p}{\partial x} dx + \frac{\partial p}{\partial y} dy + \frac{\partial p}{\partial z} dz = p(Xdx + Ydy + Zdz)$$

となり、更に之は

$$dp = -pd\Omega$$

となる。之に前記Ωの式を加味すると

$$dp = -\frac{4\pi G p dr}{r^2} \int_0^r p r^2 dr \dots\dots\dots (1)$$

となり、其れはまた

$$r^2 \frac{dp}{p dr} = -4\pi G \int_0^r p r^2 dr \dots\dots\dots (1')$$

なる形に書くことも出来る。又之を微分して

$$\frac{d}{dr} \left(r^2 \frac{dp}{p dr} \right) = -4\pi G p r^2 \dots\dots\dots (1'')$$

となる。

現在の状態が大局に於て静止状態に在り、中心より一定の距離に於ける温度、壓力、密度は常にきまつた値を保つて居るといふ定常状態を考ふるに當つて、此状態を維持するプロセスに關しては種々に考へることが出来る。外面に於て輻射に依り冷却して重くなつた部分が沈降し内部の高温部と交替する。而して對流的擾亂が起り内外各部間に絶えず熱の交換が行はれて居る。現在は這般のエネルギー交換が適度に行はれて居る結果各層の温度、壓力、密度が一定に保たれて居ると斯様に考へるのが所謂對流平衡論の要旨であつて、レイン、ケルビン等は此假設に基いて太陽内部の状態を論じて居る。之に對立して輻射平衡論といふのがあ

る。其は太陽の各部は主として輻射吸収に依つて周圍との間に熱の交換をなしつゝあつて其上各部共受入熱量と放捨熱量とが相等しくなつて居るため一定温度に保たるゝものであるとするもので、太陽の如き高温で強烈な輻射をなす物體の内部に於ては對流の如きは熱の交換といふプロセスとしては輻射に比しては實に緩慢極まるもので恆久的變化を考へる上に於ては殆ど觀るに足らん位のものであるといふのである。サムソン、シュワルツシルト等が其理論を展開し、近頃に至つてエデントン、ミルン、ツァイベル等が次第に之を大成しようとして居る。對流平衡に就いては其系統の理論を大成したエムデンの論法を借りて其一半を説明して見よう。

二五 エムデンの瓦斯球論

^(二七〇)エムデンは一定量の瓦斯の状態變化の道行に就いて「エネルギー・カバシチー不變なる道行」といふ一般的な假設をなし、之をポリトロープの道行と名づけ、之によつて到達した現狀をポリトロープ平衡と呼んで居る。此道行に於ては無論瓦斯

微分子に受入した熱量に比例してエネルギーが増し、又之に比例して温度が上るものであつて、受入熱量は外部から爲された仕事に比例する。斯様な道行で瓦斯が球の半径に沿うて移動して或る點に達するとき、いつでも其周圍の壓力、温度、密度と同じ壓力、温度、密度になつて靜止するものと考へる。

さて前節に掲げた諸式の外に瓦斯の特性として壓力、温度、密度間に存する關係

がある。但しHは瓦斯の性質に依關する常數である。前掲(I)又は(I')の方程式に右記の式と「道行」を表はす式とを加味して $T \rho^p$ を r の函數として解かうと云ふのであるが、解法を求めるために ρ の代りに之とある關係を保つて居るところの u なる變數を輸入して來る。

先づ右の如き道行を假定する結果として $T \rho^p$ 間に

$$\left. \begin{aligned} T &= \rho^{\alpha-1} \Theta_u \\ p &= H \rho^\beta \Theta_u \end{aligned} \right\} \dots \dots \dots (3)$$

なる關係の成立つことを證明することが出来る。但し茲には這般の「道行」を特

定するもの即ちカバシチーγによつて確定さるゝ數値で

$$k = \frac{c_p - \gamma}{c_v - \gamma} \dots\dots\dots (4)$$

で表はさるゝ常數である。kがきまれば上記の式若くは

$$\Gamma v^{k-1} = \text{const.}$$

$$\Gamma^k p^{1-k} = \text{const.}$$

$$p v^k = \text{const.}$$

の何れか一つで瓦斯の状態變化の「道行」がきまるのである。Θ₀はkにのみ依關する數量で現に考へて居る「道行」に固有な常數である。つまり此「道行」によつて單位密度1に持來した場合に到達すべき溫度を表はして居る。だからΘ₀は瓦斯球内でp=1の所に於ける溫度を意味するものとしてよいのである。で今

$$n = \frac{1}{k-1}, \quad u = p^{k-1} \quad \text{又は} \quad p = u^n \dots\dots\dots (5)$$

と置くときは(3)式は

$$\Gamma = u \Theta_0 \quad p = H u^{n+1} \Theta_0 \dots\dots\dots (6)$$

となる。之が「道行」を表はす式である。之を(1')の基本方程式に加味すると

$$\frac{d^2 u}{dr^2} + \frac{2}{r} \frac{du}{dr} + \alpha^2 u^n = 0 \dots\dots\dots (7)$$

となる。但し茲にαは此道行に固有な常數で

$$\alpha^2 = \frac{4\pi G}{k-1} H \Theta_0 \dots\dots\dots (8)$$

で表はされるものである。

(7)式を解いてuをrの函數として求むることが出来れば(5)(6)に依つて各點に於ける密度、溫度、壓力が分り、當面の目的が達せられるのである。

此方程式はnの或る特別な値、即ち瓦斯の状態變化の「道行」が或る特別の型をとる場合に對しての外完全な解が出来ないが、一般に其解には總ての場合に共通な或る顯著な特質あることは容易に看取することが出来るのである。即ち

(a) u, p, Tは常に正である。従つてρも正である。之は實際問題として、さう

なくてはならない。

- (b) (1)の式によつて見ると $\frac{dp}{dr}$ は「負」であり、従つて(6)式から $\frac{du}{dr}, \frac{dT}{dr}, \frac{dp}{dr}$ も「負」なることが分る。之は壓力、溫度、密度が何所でも外方に向つて遞減して居ることを意味して居る。

若し (r, u) の曲線に於て r が増すに従つて u が次第に減じ、或る點で曲線が r 軸と交叉すると、其處では u が零であり、同時に T, p 及び ρ が零である。而して u は「負」になれず又外方に増加することが出来ないから曲線は此所で中斷し先の方に續かない。此點から先の方は物質が存在しないので瓦斯球の外界面が劃される。勿論 u が r の有限値に對して零となるか、漸近的に零になるかは未決の問題である。

- (c) 固體若くは液體の心核を有せざる場合、中心に於て u が有限であり従つて壓力、密度、溫度も有限であるとするならば(1)の式に據つて中心では $\frac{dp}{dr}$ は零となる。従つて又 $\frac{du}{dr} = 0, \frac{dT}{dr} = 0$ 式から、故に (ur) 曲線(従つて又 (pr) 、 (ρr) の曲線も)は $u=0$ なる所より r 軸に平行に出發し漸次 r 軸に接近して行く。

- (d) 中心 $u=0$ に於ける (ur) 曲線の曲率半径は明かに $-\frac{1}{\frac{d^2u}{dr^2}}$ である。

(e) r の有限の値に對して u が零になる場合即ち瓦斯球が有限の半径を有し外面に u が零とした境界を有して居る場合には此境界面に於て $\frac{du}{dr}$ も同時に零であると云ふ事は不可能である。何故ならば $\frac{du}{dr}$ が零となれば $\frac{d^2u}{dr^2}$ 及び高次の微係數迄總て零となる故、球の内部總ての點に於て其値が零となり、従つて T, p, ρ も亦總ての場所で零となるといふ不合理な結果に立到る。故に有限の半径を有する平衡状態の瓦斯球に於ては表面に於ける溫度勾配は零ではあり得ない。 T, p, ρ は表面では零だが一寸中へ入つても有限値になる。即ち物理的状态が表面から中の方に變つて行く u, ρ, ρ は漸を追つて行かず、 u, ρ, ρ と段がついた變り方をする。

一般の場合を今少し立入つて論ずる必要があるが、其前に比較的容易に「解」の得らるゝ特殊の場合數例を掲げて見よう。

- (1) $u=0$ の場合。此場合は(5)式に據り ρ は1となり、不可縮流體の場合に當る。此場合方程式は

$$\frac{d^2 u}{dr^2} + \frac{2}{r} \frac{du}{dr} + \alpha^2 u = 0 \dots\dots\dots (9)$$

となり、一般の解

$$u = C_1 + \frac{C_2}{r} - \frac{\alpha^2 r^2}{6} \dots\dots\dots (10)$$

が得られる。但し C_1, C_2 は積分常数である。

中心に於て u が有限であるといふ條件に據り C_2 は零でなければならぬ。又中心に於ける u の値を u_0 とすれば又明かに $C_1 = u_0$ である故

$$u = u_0 - \frac{\alpha^2 r^2}{6}$$

故に $\alpha = 0$ 即ち球の表面に於ては r の値は

$$R = \frac{\sqrt{6u_0}}{\alpha}$$

之で球の大きさがさまる。

(2) $\alpha \neq 1$ の場合。方程式は

$$\frac{d^2 u}{dr^2} + \frac{2}{r} \frac{du}{dr} + \alpha u = 0 \dots\dots\dots (11)$$

となり、之に對する一般解は

$$u = C_1 \frac{\sin \alpha r}{\alpha r} + C_2 \frac{\cos \alpha r}{\alpha r} \dots\dots\dots (12)$$

である。常数の値は明かに $C_2 = 0, C_1 = u_0$ 也

$$u = u_0 \frac{\sin \alpha r}{\alpha r}$$

表面に於ては

$$R = \frac{\pi}{\alpha}$$

倍て一般の場合に於ては解は級數展開に依らなければ求められない。此場合種々なる r の値に對する u の値を表の形に順次に出して行くのであるが其は n

$\alpha^2 u_0$ の値次第で全く別々にやつて行かなければならない。此繁を避くる爲方程式に数段の變形を與へる。

先づ r の代りに

$$r = \alpha r' = \sqrt{\frac{4\pi G}{k}} \frac{r}{k-1} H_{\Theta_k} \dots\dots\dots (13)$$

なる自變數を用ゐることになると、方程式は

$$\frac{d^2 u}{dr^2} + \frac{2}{r} \frac{du}{dr} + u^n = 0$$

となる。斯くすれば或る一つの n に對しては唯 u_0 の異なる値に對して別々の積分をするだけで足る。若し更に $u_0 = U$ とし

$$u = U u_1, \quad r_1 = U^{\frac{1}{n-1}} r \dots\dots\dots (14)$$

と置きかへると、方程式は

$$\frac{d^2 u_1}{dr_1^2} + \frac{2}{r_1} \frac{du_1}{dr_1} + u_1^n = 0 \dots\dots\dots (15)$$

となり、單に $(u_1)_{r=0} = 1$ に對して一通りの展開積分を施すだけですむのである。で u_1 が 種の々の値に對して求めらるれば密度、壓力、溫度は

$$\left. \begin{aligned} \rho &= u^n = U^n u_1^n = U^{\frac{1}{k-1}} u_1^{\frac{k}{k-1}} \\ \Gamma &= u \Theta_k = U u_1 \Theta_k \\ p &= u^{n+1} H_{\Theta_k} = U^{n+1} u_1^{n+1} H_{\Theta_k} = U^{\frac{k}{k-1}} u_1^{\frac{k}{k-1}} H_{\Theta_k} \end{aligned} \right\} \dots\dots\dots (16)$$

で求められる。で結局 u_1 の r に對する分布が溫度の分布、 u_1^{n+1} が壓力の分布を示すことになるのである。エムデンは $u_1 = 0$ より $u_1 = 1$ に至る種々の場合に於て u_1, u_1^n, u_1^{n+1} を r_1 の種々の値に對して算出して居る。今其中より $n = 2.5$ の場合を摘録すると第三十八表及び第九十四圖の通りである。

g を重力の加速度とすれば前記の式から

$$\begin{aligned} dp &= -g \rho dr \\ p &= -\rho^k H_{\Theta_k} \\ g &= \frac{GM}{r^3} \quad (M \text{ は } r \text{ 以内總質量}) \end{aligned}$$

第三十八表

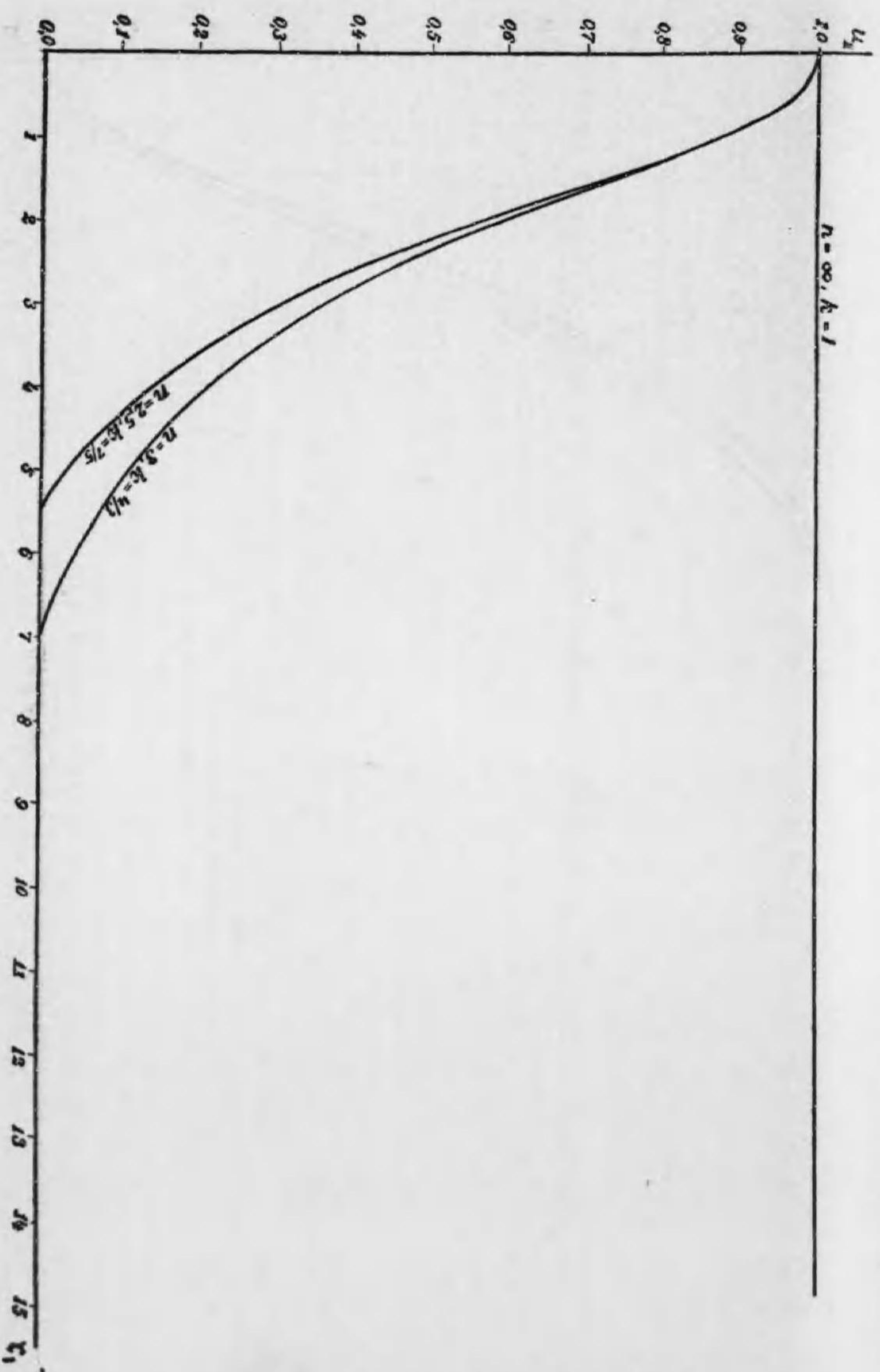
図一四

r_1	u_1	$-\frac{du_1}{dr_1}$	u_1^n	u_1^{n+1}	$-\frac{r_1^2}{dr_1} \frac{du_1}{dr_1}$	$-\frac{r_1}{3} \frac{du_1}{dr_1}$
1.75	0.63246	0.23532	0.31811	0.20119	0.90442	1.9753
2.00	0.55961	0.28614	0.23428	0.13111	1.1446	2.3998
2.3498	0.46331	0.26290	0.14611	0.06769	1.4516	2.9793
2.50	0.42473	0.25080	0.11756	0.04993	1.5675	3.3227
3.00	0.31000	0.20793	0.06351	0.01669	1.8711	4.8092
3.50	0.21752	0.16783	0.02207	0.004800	2.0560	6.9517
4.00	0.14300	0.13445	0.007733	0.001106	2.1512	9.9170
4.50	0.08263	0.10313	0.001963	0.000162	2.1896	10.539
5.00	0.03334	0.08796	0.002107	7.395 × 10 ⁻⁶	2.1990	13.948
5.40	0.00128	0.07545	5.862 × 10 ⁻⁸	7.503 × 10 ⁻¹¹	2.2001	23.857
5.4172	0	0.07500	0	0	2.2010	24.076

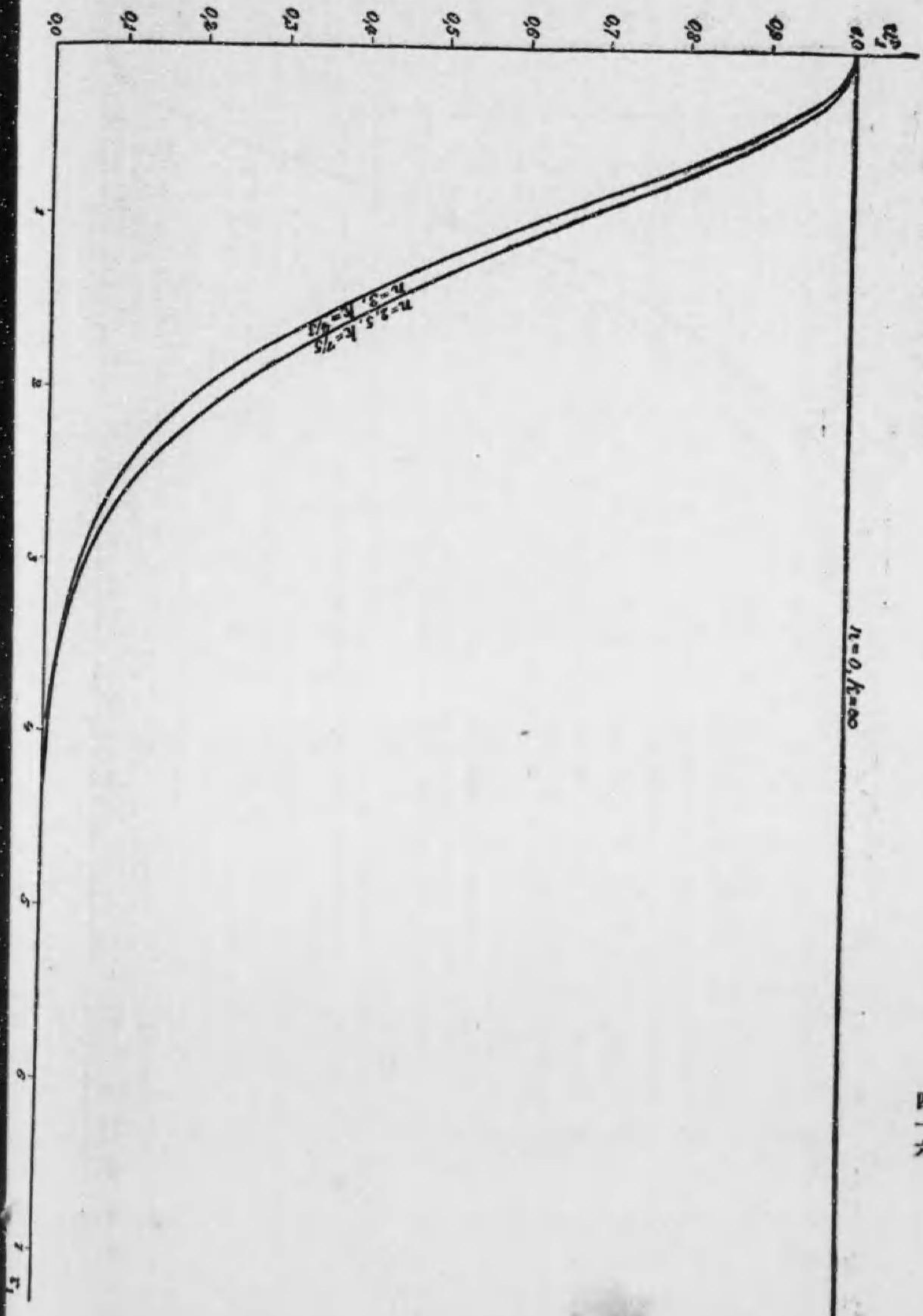
を得従つて

$$g = -\frac{k}{k-1} \frac{H\Theta}{dr} \frac{du}{dr} = -\frac{4\pi G}{\alpha^2} \frac{du}{dr}$$

$$M = -\frac{k}{k-1} \frac{H\Theta}{G} \frac{1}{r^2} \frac{du}{dr} = -\frac{4\pi}{\alpha^2} r^2 \frac{du}{dr}$$



第九十四圖 n 温度と中心距離の關係



第九十四圖 b 密度と中心距離の關係

なる式が出来、中心より r の距離に於ける重力及び其より内側の總量が求められる。而して平均密度 $\bar{\rho}$ は

$$\bar{\rho} = -\frac{3}{\alpha^2} \frac{1}{r} \frac{du}{dr}$$

で計算することが出来る。尙前記の變數轉換の式に據つて r, u の代りに r_1, u_1 を入れると

$$\left\{ \begin{aligned} g &= -\frac{4\pi G}{\alpha} U^{\frac{n+1}{2}} \frac{du_1}{dr_1} = -\sqrt{\frac{4\pi G}{k-1}} \frac{k}{H\Theta_k} U^{\frac{k}{2(k-1)}} \frac{du_1}{dr_1} \\ M &= -\frac{4\pi}{\alpha^3} U^{\frac{3-n}{2}} r_1^2 \frac{du_1}{dr_1} = -\frac{k}{k-1} \frac{H\Theta_k}{G} \sqrt{\frac{k}{k-1}} \frac{H\Theta_k}{4\pi G} U^{\frac{3k-4}{2(k-1)}} r_1^2 \frac{du_1}{dr_1} \\ \rho &= -\frac{r_1 [(u_1)_0 = 1]}{3} \frac{du_1}{dr_1} \end{aligned} \right.$$

で此式中の $-\frac{du_1}{dr_1}, -\frac{du_1^2}{dr_1^2}, -r_1^2 \frac{du_1}{dr_1}, -\frac{r_1}{3} \frac{du_1}{dr_1}$ はエムデンの計算に據ると次表の如くなる。

第三十九表

n	r_1	$-\frac{du_1}{dr_1}$	$+\frac{d^2u_1}{dr_1^2}$	$-\frac{r_1^2}{r_1^2} \frac{du_1}{dr_1}$	$-\frac{r_1}{3} \frac{du_1}{dr_1}$
0	2.4194	0.81647	-0.333333	4.8938	1
0.5	2.7528	0.49975	+0.36309	3.7871	1.8361
1	3.14159	0.31831	+0.20264	3.14159	3.2899
1.5	3.6571	0.20316	+0.11355	2.7176	6.0003
2	4.3518	0.12729	+0.06262	2.4107	11.398
2.5	5.4172	0.07500	+0.02795	2.2010	24.076
3	6.9011	0.04231	+0.01282	2.0150	54.360
4	14.939	0.00903	+0.00107	1.8064	623.40
4.5	32.140	0.00168	+0.000164	1.7334	637.77
4.9	169.47	6.013×10^{-5}	$+4.208 \times 10^{-7}$	1.73354	9.348×10^5
5	∞	0	0	1.73205	∞
5	∞	0	0	∞	∞

ポリトロップの種別 n によつて種々の平衡状態が現出するのであるが、 $n \parallel \kappa \parallel \frac{c_p}{c_v}$ の場合は特に顯著なる型式に属する。之は $n \parallel 0$ 即ちエントロピー不変の「道行」を示し、所謂断熱變化の場合である。此場合にはポテンシアル温度が一樣であ

つて、一部の瓦斯を他に移動させても周囲と等温等密度で其儘静止する。瓦斯球内を如何に掻きまぜた後でも状態は前と變らなう。

次に $n \parallel 1$ の場合、即ち $n \parallel 8$ の場合は $n \parallel \rho \cdot r \parallel 1$ 又 $r \parallel \rho \cdot r$ で瓦斯球全體に互り温度も壓力も一樣である。

n が $\frac{4}{3}$ なる場合は特に顯著な性質を有つて居る。輻射に依つて瓦斯球の各部分間に熱の出入のある場合に終止同級の(即ち n が變らない)ポリトロップ瓦斯球であるときには、瓦斯の各エレメントは $n \parallel \frac{4}{3}$ 即ち $n \parallel \frac{4}{3}$ なるポリトロップ變化をするといふことを證明することが出来る(證明は原著参照)。之は太陽の如き空間に放置されて輻射に依つてエネルギーを放出しつゝある天體の狀況に相當する。今太陽が空氣と同じ性質の瓦斯からなる球で断熱平衡にあるものとし

$$H = 2.8705 \times 10^9 \text{ 焦耳/秒}^2$$

$$k = \kappa = 1.4 = \frac{7}{5}$$

より

$$n = 2.5$$

前掲公式に據り、第三十七表の結果を用ひ

$$\frac{P_0}{\rho} = 24.074$$

と出る。太陽の平均密度

$$\rho = 1.37841 \text{ 瓦/釐}^3$$

を用ひて中心密度 ρ_0 を求めると

$$\rho_0 = 33.189 \text{ 瓦/釐}^3$$

となる。そこで $U = u_0$, $\rho = \rho_0$ なる前記の關係に據り

$$U = \rho_0^{k-1} = \rho_0^{0.4} = 4.0587$$

前記Mの公式を②に就いて解き

$$\textcircled{3} = \frac{M^2 4\pi G^3}{\left(\frac{k}{k-1}\right)^3 H^3 U^{3-n} \left(r_1^2 \frac{du_1}{dr_1}\right)_{n_1=0}^2}$$

を得、之に第三十七表から $r_1 = 5.4172$, $-\frac{du_1}{dr_1} = 0.07500$ を取つて入れると

$$\textcircled{3} = 1.1226 \times 10^8$$

となる。之は太陽内部で密度1の所に於ける温度である。中心の温度は

$$T_0 = U \textcircled{3} = 4.5563 \times 10^8$$

又中心壓力は $p = \rho H T$ から

$$\begin{aligned} p_0 &= 4.3405 \times 10^{16} \text{ 瓦/釐}^2/\text{秒}^2 \\ &= 4.2410 \times 10^{13} \text{ 気壓} \end{aligned}$$

第三十八表に據り r_1 の種々なる値に對する u_1 其他を求め、之を(16)の式に入れると、 r_1 の各の値に對する $\rho T p$ が得られる。然るに r と r_1 との間には前記の(13)(14)式できめられた關係あり、即ち

$$r = 6.42 \times 10^{10} r_1$$

となる故之に依つて r の種々の値に對する $\rho T p$ を算出することが出来るのである。例へば $r_1 = 5$ なる所、即ち $r = 6.42 \times 10^{10}$ 釐の所では

$$p = (U u_1)^n = 0.00699$$

$$T = U u_1 \textcircled{3} = 1.5419 \times 10^7 \text{ C. A.}$$

$$p = \rho HT = 3.0943 \times 10^{11} \text{ 瓦/釐}^2 = 3.0525 \times 10^5 \text{ 氣壓}$$

之は表面から約十分の一半徑の所の状態である。同様にして $r = 5.4$ とすれば $r = 693000$ 等 即ち表面下角度で約三秒の所に於ては

$$p = 1.9454 \times 10^{-6} \text{ 瓦/釐}^2$$

$$T = 5.8320 \times 10^3 \text{ C. A.}$$

$$p = 3.2128 \text{ 氣壓}$$

之に據つて見ると表面から少し中に入つたばかりで温度、密度、壓力は非常な増加を示すものである。

太陽を構成する瓦斯の種類に關し異つた假定をするに従つて p 、 ρ 、 T の値は區別になるが、大體の程度に於ては上記の結果と左程懸隔はない。

太陽光球の温度が殆ど一定して居るといふことから考へると内部からどうかして熱の補給を受けて放射エネルギーの損失を補つて居るものと見ねばならない。此補給の役に當る作用として第一に考ふべきものは傳導であるが瓦斯の傳導率は甚だ小さいものであるから温度勾配に絶大の値を假定しなければ光球

面に對して毎秒平方釐 1.54×10^8 カロリーに及ぶ消失熱量を補ふことが出来ない。を傳導率とし ΔT を温度勾配とすれば

$$\Delta T = \frac{1.54 \times 10^8}{k}$$

攝氏零度の水素に對しては k は 0.00033 カロリー/釐秒で太陽の温度 5000 に於ては 0.0015 となるから、一種毎に $\Delta T = 10^6$ 度といふ桁はづれの温度勾配が必要である。傳導率が銀の如き大きなものとしてもやはり ΔT は 10^6 程度の値となる。據つて熱の補給上傳導が主たる役をなすものと考へることは出来ない。

次に考ふべきは輻射であるが、太陽瓦斯は前記の如く表面の淺層を除いては甚だしく不透明であつて、輻射は僅かの距離で殆ど完全に阻止されてしまふ故、内部からのエネルギー補給の主役を輻射に歸することは出来ない。であるから結局非常に激しい上下の對流を假定することが必要になつて来る。斯様な次第で比較的深い所では大體對流平衡が保たれ、ずつと上層では輻射平衡に在るものと考へるのが至當だ。斯様に見るのが對流平衡を主張する論者の根據である。然し

ながら内部に於ける輻射の作用を斯様な低度に見積るためには今日の理論から見て許すべからざる程度の擴散作用を假定せねばならないので對流が主たる役目であると斷ずるのは早計たるを免れない。

二六 輻射平衡論

輻射平衡論は既に前世期末に於て^(二七九)サムソンが其概念を以て太陽構造論を開展して居るが、輻射の放射吸収の割合に關して假定した法則が適切を缺いた結果密度が外方に向つて増し壓力は大體均一であるといふ奇妙な結論に達したのであつて、約十年を経てシュワルツシルトが此問題に手を觸れるまでは此種の平衡論はあまり重きをなさなかつたのである。

今太陽を構成する瓦斯が靜止して居るものとするれば前記の方程式

$$dp = -g\rho dr$$

が成立つ。之は即ち上に負うて居る物質の重量が壓力として現はれるものだといふ靜水力学の法則を方程式として書いたものに外ならない。此外に瓦斯の各

部に入出入するエネルギーの爲其状態がどう變化するかといふことを示す法則を取り入れると、其れで全體の構造が解けるのである。エネルギーの出入に關しては、中心より r なる距離に於ける dr なる薄層(球形)から放射する輻射量と其兩側から之に受入する輻射エネルギーとが互に補消し合つて平衡を保ち、之によつて溫度を不變ならしめて居るものと假定するのである。で吸収は輻射線の遭遇する物質の量に比例するものとすれば、密度と通路とに比例するからして、射入輻射量の $2aE\rho dr$ 倍となる。又輻射能を E とすれば放出する輻射は明かに

$$2aE\rho dr$$

となる。茲に E はステファンの法則に依り

$$E = cT^4$$

で表はされる。茲に注意すべきは、此場合キルヒホフの法則に據る「溫度輻射」のみを考へて居ることである。又全輻射量を或る單一の波長に引直ほして考へて居るものであることも注意を要する。

半徑 r の球面を通つて毎秒中から外に流れる輻射エネルギーの量を A とすれ

ば、此 A は dr の薄層を通過中吸収に依つて $A\rho dr$ だけ失はれるから、 $r+r+dr$ の面を外方に向つて通過するエネルギーの流れは其残餘に此薄層自身から出す放射が加はつたもので、即ち

$$A - A\rho dr + aE\rho dr$$

である。即ち dr だけ中心からた距たるに従つて外出放射量 A の増加する割合は

$$dA = -\rho p(A - E) dr \dots \dots \dots (I)$$

之と同様に流入エネルギー B が中心距離の増すに従つて變る割合は

$$dB = -\rho p(E - B) \dots \dots \dots (II)$$

此二つがエネルギー出入のぐあひを表はす方程式で、其上に dr 層に吸収されたエネルギー γ と其兩側に向つて放射するエネルギーとが等しいといふ放射平衡の條件を加へる。此條件は即ち

$$A\rho p dr + B\rho p dr = 2aE\rho dr$$

である。之を書換へると

$$A + B = 2E \dots \dots \dots (III)$$

となる。右記 (I) (II) (III) の式を組合はせて

$$\frac{d(A - B)}{dr} = 0$$

従つて

$$A - B = \text{const.} = 2\gamma \dots \dots \dots (IV)$$

即ち或る球面から出るエネルギーと入るエネルギーの差は中心距離に關せず一定でなければならぬ。表面に於ける放射量を A_0 とすれば、此所では流入エネルギー γ 、B は零である故、上記の常數は A_0 であつて

$$\gamma = \frac{A_0}{2}$$

となる。此常數 A_0 は表面の有効溫度 T_0 を用ひて

$$A_0 = cT_0^4$$

で表はすことが出来る。

(I) 乃至 (IV) 式から

$$\frac{dT}{dr} = -\alpha p \gamma \dots \dots \dots (V)$$

Eはステファン法則に據つてTの函數であるからして、右の式はつまりTとρの關係を表はすものである。で此式と瓦斯の特性を表はす式とを最初の靜水力学の方程式に組合はせてT、ρ、pの分布を決定することが出来る。(V)式は表面から常に2γだけの放射をすると云ふことと瓦斯球が輻射平衡にあるといふ條件から出た状態變化の方程式で、つまり前記のポリトロープ式状態變化の式に代はるものである。

前に證明した如く有限半徑の瓦斯球は表面では溫度が零でなければならぬからE=0.従つて

$$A=0$$

でA=0となり(V)式に據りE(従つて又T)がrに無關係で一定の値を保ち、到る所で總て零になるといふ不合理に逢着する。故に太陽が有限の半徑を有する瓦斯球であるとすれば全體を通じて輻射平衡が成立つて居るといふことはあり得ない。

今瓦斯球の表面に近き薄層内の事態のみを考へるに、此層を十分薄く取ればA、B、E、γ等を單位面積よりの輻射量としても前記の方程式が成立つことは明らかである。

(V)式は

$$\frac{\alpha dT}{dr} = -\alpha p \gamma$$

と書いてもよい。で此薄層の中に於ては諸種の變化がポリトロープ式に生起するものとする。而して前記の如く

$$T = u \Theta^k, \quad p = u^n$$

と置きかへると

$$u^k \frac{du}{dr} = -\frac{\alpha u^n \gamma}{4 \Theta^k c}$$

今前記ポリトロープ平衡の一般式に於てA=0の場合を考へて見る。此場合には一般の解が

$$u = u_0 \sqrt{\frac{3u_0}{3u_0 + u_0^3 \alpha^2 r^2}}$$

と出る。表面に近き外層に於ては、 $p = u^n$, $T = u \Theta_0$, $p = u^{n+1} H \Theta_0$ に據り T は r に反比例して外方に減ずる。密度は ρ に反比例する。 p は r^2 に反比例する。
右記 u の式は近似的に

$$u = u_0 \sqrt{\frac{3u_0}{u_0^3 \alpha^2 r^2}} \frac{1}{r}$$

として差支ない。之を前記の方程式に置換へると

$$1 = \frac{\alpha \gamma u_0}{4 \Theta_0^3 c} \sqrt{\frac{3u_0}{u_0^3 \alpha^2}}$$

となる。右記の關係を用ゐて u の代りに p T を入れると、此式から

$$A_0 = 2\gamma = \frac{8cT_0^4}{a} \sqrt{\frac{4\pi G}{3.6 p_0}}$$

なる結果が得られる。由つて若し中心の温度、壓力が分れば表面の放射量 A_0 を知

ることが出来る。假に吸収能を地球大氣のと同じと見て $a = 4.3 \times 10^{-4}$ 置^て / 瓦として
ステファン常數 c の値を入れて書きかへると

$$A_0 = 6.4 \times 10^{-2} \frac{T_0^4}{\sqrt{p_0}} = 2.7 \times 10^{-2} \frac{T_0^4}{\sqrt{p_0}}$$

各層の温度、密度がきまれば其放射及び吸収がきまり、之に據つて地球から見た
太陽面の輻射の分布が分る。今半徑 r なる球面上に厚み ds なる薄層を取つて其
放射吸収を考へる。此球面上に df なる一小部分を取り df より地球に向ふ輻射線
の太陽半徑となす角を i とする。此平行輻射線の強さを A_i で表はし、之に對する
該薄層の瓦斯の吸収能を a_p とし、此方向に於ける距離を s で表はすと

$$dA_i = -a_p p ds A_i$$

而して

$$ds = \frac{dr}{\cos i}$$

なる故、上式は變形して

$$\frac{dA_1}{dr} = -\frac{a_p A_1}{\cos i}$$

となる。

次に前記輻射平衡の式と同様にして

$$\frac{dA_1}{dr} = -\frac{a_p \rho}{\cos i} (A_1 - E)$$

なる式が出る。而して近似算的に

$$a = 2a_p$$

なる事を證明することが出来るから、右の方程式は

$$\frac{dA_1}{dr} = -\frac{a_p (A_1 - E)}{2 \cos i}$$

となる。此式の解は明かに

$$A_1 = e^{-\int_{r_1}^{\infty} \frac{a_p}{2 \cos i} dr} \left[\int_{r_1}^{\infty} \frac{a_p}{2 \cos i} E e^{-\int_{r_1}^{\infty} \frac{a_p}{2 \cos i} dr} dr + A_0 \right]$$

積分を無限大迄及ぼせば

$$A_1 = \int_{r_1}^{\infty} \frac{a_p}{2 \cos i} E e^{-\int_{r_1}^{\infty} \frac{a_p}{2 \cos i} dr} dr$$

若し r_1 の層を稍深く取れば $\int_{r_1}^{\infty} \rho dr$ は甚だ大きくなり r_1 以下の層を突破して外に出る内部からの輻射は極めて微量であるに由り、 r 以内は殆ど積分に寄與することがなくなる。で實際は上の方の浅層のみを考へて居るのではあるけれども概算に於ては積分を零から行つて

$$A_1 = \int_0^{\infty} \frac{a_p}{2 \cos i} E e^{-\int_{r_1}^{\infty} \frac{a_p}{2 \cos i} dr} dr$$

としても差支ない。

そこでポルトロープの式を入れて浅層の大體 $\rho = \text{const.}$ と見られる部分に就き近似解を求むると

$$A_1 = \cos i^{n+1} A_0$$

但し A_0 は見掛の太陽面中心から来る輻射の強さである。

シュワルツシルトが輻射平衡論で求めた結果は

$$A_1 = \frac{1 + 2 \cos^2 i}{3} A_0$$

である。

以上の結果により種々の i に對し、從つて又種々の中心距離(見掛上の)に對し、輻射を計算することが出来る(太陽面中心よりの角距離を視半徑の百分率で表はしたものが $\sin^2 i$ である)。

第四十表

中心距離	ポルトロープ平衡	ポルトロープ平衡	ポルトロープ平衡	ポルトロープ平衡
0	100	100	100	100
20	99	99	99	97
40	97	95	94	87
60	92	87	86	70
70	87	81	80	58
80	81	73	71	44
90	70	63	58	26
96	59	52	43	13
98	49	47	34	8
100	(40)	33	0	0

此表で見る通り輻射平衡の假定で計算したものが一番觀測値とよく一致し

ポルトロープ平衡も之と大差ないが、解離した瓦斯の斷熱平衡として出したものは全然觀測と合はない。斯様な次第で太陽の表面に近い淺層では大體輻射平衡の状態にあるものと見てよいやうであるが、吸収能を層の深淺に關らず不變のものとして論じて居るのは大きな疑問と云はなければならぬ。淺層だけでは大體一定と見て差支あるまいが之を深い所までも及ぼしてよいか否かは別に證明を要する事柄である。又吸収は種々の波長に對して異なる影響を及ぼすものであるのを考に入れてない。尙基本方程式中の壓力の項には輻射壓をも入れなければ十分でない。斯様な更正を施した上で計算をしたならば最後の結果はどう變つて來るであらうか。之等の點は後段エヂントンの輻射平衡論に於て更めて述べる。

前記太陽面見掛の中心に於ける輻射は

$$A_0 = c \left(\frac{\Theta_{\kappa}^{2g}}{H\alpha} \right)^{\frac{1}{n+1}} \Gamma \left(\frac{4}{n+1} + 1 \right)$$

となることを容易に證明することが出来る。

之は $T = a\Theta_e$, $p = a^{n+1}H\Theta_e$ の關係を用ゐて更に

$$A_0 = cT^n \frac{\Gamma\left(\frac{4}{n+1} + 1\right)}{\left(\frac{\alpha}{2} \int_0^\infty pdr\right)^{\frac{1}{n+1}}}$$

と直ほすことが出来る。茲に T は發光面の溫度である。 A_0 が觀測で分つて居れば此式に據つて T を計算することが出来る。此の式で cT は發光面の輻射で、分數の形になつて居る最後の因子が雰圍氣の影響を表はして居るものである。此影響は太陽瓦斯の吸收能 a が十分に分つて居ないと發光面と見做すべき r 面の位置が定まらぬので理論的に計算することが出来ないし、又觀測からも容易にはきめられない。フォーゲルは觀測から此減光係數を約 $\frac{1}{2}$ と推定して居るが甚だ不確實なものである。

假にフォーゲルの減光係數を正しいものとして太陽常數の觀測値は 30 カロリから地球太陽間の距離に基いて太陽面に於ける輻射の強さを出して見ると

$$A_0 = 6.45 \times 10^{10} \text{ エルグ/厘米}^2/\text{秒}$$

之を用ゐる前記の式より T を求めると

$$T = \sqrt[4]{\frac{2 \times 6.45 \times 10^{10}}{5.36 \times 10^{-5}}} = \sqrt[4]{\frac{16125}{6.7}} \times 10^3 = 700^\circ$$

之は完全黒體として計算したものだから最底限を示すものである。

又前記の減光係數 $\frac{1}{2}$ から、§11のポルトロップの場合に於ては

$$\frac{\alpha}{2} \int_0^\infty pdr = 2.43$$

となり地球の場合に吸收率を觀測に基いて $\alpha = 0.223$ として出した所の

$$\frac{\alpha}{2} \int_0^\infty pdr = 0.223$$

に比すると約十倍の大きさに當つて居る。故にもし太陽雰圍氣の平均吸收率を地球の其れと同程度と見るときは r 以上の高さにある瓦斯の總量は 1.13×10^{15} 瓦となる。

§11の場合 ρ は $\frac{1}{r^2}$ に比例するを以て、光球面の半徑を R とし其密度を $\bar{\rho}_0$ とす

れば

$$p = \bar{p}_0 \frac{R}{r^2}$$

従つて

$$\int_R^\infty p dr = 1.13 \times 10^4$$

より

$$\bar{p}_0 = 6.50 \times 10^{-7} \text{ 瓦/}\text{cm}^2$$

となり地上の空氣の約二千分の一の密度に當る。此値は n の値次第で大いに異つて出る。又太陽に於ける α の値が地球の大氣と甚だしい懸隔あれば p の値も大分と異つたものとならう。

二七 新輻射平衡論

エチントン^{エチントン}は輻射平衡に於ては靜水學的壓力 p の外に輻射壓 P_R をも取り入れて論ずる必要あることを強調して居る。輻射壓力は高溫度瓦斯に於ては可なり

大きな値を有し、絶對溫度 T に於ては、 E を一立方糎内の輻射エネルギーとすれば

$$P_R = \frac{1}{3} E = \frac{1}{3} c T^4$$

なることを容易に證明することが出来る。で全壓力 P は

$$P = p + P_R$$

で表はされ、靜水力学の方程式は

$$\frac{dP}{dr} = -pg \dots\dots\dots (1)$$

とせねばならない。而して瓦斯球の構造を解明するには前掲 p, P, T 間の關係式の代りに P, P, T 間の關係式を誘導して用ゐなくてはならないのである。

今 h を輻射に對する瓦斯の不透明度とすれば、一平方糎の面を通つて毎秒 J だけの輻射エネルギーの流れて居るとき一瓦の質量の瓦斯を通過する毎に其流れは h だけ減ずる。で半径 r なる球面より $r + \Delta r$ なる球面に流出する間に其中間の物質に吸収されるエネルギーは

$$k\rho J dr$$

である。又此薄層が輻射に依つて外部より受くる運動量は両面に於ける輻射壓の差 dP_R であつて、其れは吸収されたエネルギーの $\frac{1}{C}$ に等しくなければならぬ (但し C は光の速度)。故に

$$-dP_R = \frac{k\rho J}{C} dr$$

或は
$$-\frac{dP_R}{dr} = -\frac{k\rho J}{C} \dots\dots\dots (ii)$$

(i) (ii) より dr を消去すると

$$\frac{dP_R}{dP} = \frac{Jk}{gC}$$

此式の中で

$$\frac{Jk}{gC} = 1 - \beta$$

と置く

$$\frac{dP_R}{dP} = 1 - \beta \dots\dots\dots (iii)$$

エチントンは種々の理由で吸収率 k を r に關らず一定したものとし、中心より種々の距離に於ける輻射エネルギーの流出量 J を其點の r に比例するものと假定した。従つて β は定數になる。斯くの如き假定の大體に於て正しいと云ふことは後で分る。

半徑 r の球層に於けるエネルギー流出總量を L_r とし、 r 以内の全質量を M_r とすると

$$L_r = 4\pi r^2 J, \quad g = \frac{GM_r}{r^2}$$

従つて

$$L_r = \frac{4\pi GM_r}{k} (1 - \beta)$$

故に L_r を M_r に比例するものとするれば β は r に關らず一定のものとなる。即ち

が定數であるといふ假定は結局瓦斯球内の任意の球面を通過して流出するエネルギーが其内側に在る全質量に比例するといふ假定に外ならないのである。太陽内部に於けるエネルギーの源泉が放射能のプロセスに在るものとすれば、面以内のエネルギーの供給は其質量でさまり、また嚴密に定常状態に在るものとすれば此發生するエネルギーが即ち各球面を通過するエネルギー流出量に等しくあらねばならぬ故以上の假定が肯定されることになるのであるが、エネルギー源泉問題のきまらぬ以上やはり憶測の範圍を出ない。一面に於て斯くの如き假定に基いて多數恆星の光度を計算したる結果は觀測の結果と甚だよく一致するので、全輻射量従つて又各球面からのエネルギー流出量が中の全質量でさまるといふ假定は大體正しいものと考へらるゝに至つた。

此結果は非常に重大な意義を有つて居る。アインシュタイン等の唱道する「質量がエネルギーに轉換する」といふ根本問題を實驗的に解明する鍵が吾人の手に漸く近づきつゝあるやの感がある。或る意味に於て太陽は「質量を放射しつゝある」ので其結果太陽の質量は永年に互り絶えず減少しつゝあるものと見られる。

星體內の物質が其單位質量から生出するエネルギーは場所に關せず一定したものであるといふエヂントンの考に數理的の證明を與へたものは最近ツァイベル H. v. Zeipel の發表した研究である。ツァイベルは「同一の水準面等ポテンシャル面に於ては瓦斯の性質が一樣である」といふ極めて一般的な假定に基いて輻射平衡に在る瓦斯塊の各部から毎秒毎瓦に發生するエネルギーが

$$4\pi r^2 = B \left(1 - \frac{\omega^2}{2\pi G \rho} \right)$$

なる式で表はされることを證明して居る。茲に B は其瓦斯塊に固有な常數で ω は自轉の角速度を表はす。で ω を零とすれば、は一定數となり、エネルギーの發生率が瓦斯塊中到處所一定して居るといふエヂントンの假定が實證される。同時に此假定は自轉速度が大きい場合には成立たぬといふことが言はれるのである。

却説 β を常數と見て前記の (iii) 式を積分すると

$$P_r = (1 - \beta) P \dots \dots \dots (iv)$$

$$p = \beta P \dots \dots \dots (v)$$

(iv) 式に前記の輻射壓と温度との關係を加味すると

$$P = \frac{1}{3} \frac{c}{1-\beta} T^m \dots \dots \dots (vi)$$

又(v)に瓦斯の法則即ち

$$p = \frac{R\rho T}{m}$$

を入れ

$$P = \frac{R\rho T}{\beta m} \dots \dots \dots (vii)$$

(vi) (vii)の兩式からPを消去すると

$$\frac{p}{T^m} = \frac{c}{3} \frac{\beta m}{R(1-\beta)} \dots \dots \dots (viii)$$

此式の右邊は分子量 m を氣體内各部分で一様なものとすれば常數となる。即ち

$$\frac{p}{T^m} = A$$

となり密度は温度の三乗に比例して中の方に増して行く。

(vii) 式を微分し

$$\frac{dP}{dr} = \frac{R}{\beta m} \left\{ T \frac{dp}{dr} + p \frac{dT}{dr} \right\}$$

之に(i) (viii) 式を参照し

$$-pg = \frac{4pR}{\beta m} \frac{dT}{dr}$$

従つて

$$\frac{dT}{dr} = -\frac{\beta m}{4R} g \dots \dots \dots (ix)$$

即ち温度低減率は其點の g に比例する。

(vi) (vii) 兩式より T を消去すれば

$$P = \kappa \rho^{\frac{4}{3}} \quad \text{但し} \quad \kappa = \left\{ \frac{3M^2(1-\beta)}{cm^4 \beta^4} \right\}^{\frac{1}{3}} \dots \dots \dots (x)$$

此式と最初の静水力学の式とで瓦斯球の構造が定まるのであるが此式はエムデンのポリトロップ平衡の式

$$p v^{\kappa} = \text{const.} \quad \text{或は} \quad p = \text{const.} \rho^{\kappa}$$

に於て $k = \frac{4}{3}$, $n = \frac{1}{k-1} = 3$ の場合と同形である。でエムデンの法を應用して之を解くには先づ β の値をきめてかゝらねばならない。

今單位質量、單位半徑、單位分子量の瓦斯球に就いて解を得たとき、質量 M 、半徑 R の場合には g が $\frac{M}{R^2}$ 倍、 ρ が $\frac{M}{R^3}$ 倍になる、故に (i) に據り中心から相當する距離 R の百分率でに於ける P の値は $\frac{M^2}{R^4}$ 倍にならなくてはならぬ。由つて (x) 式に據り κ は M 倍となる。即ち

$$\left(\frac{3M^2(1-\beta)}{cm^4 \beta^4} \right)^{\frac{1}{3}} = \text{const.} M^{\frac{2}{3}}$$

之を書換へると

$$1-\beta = \text{const.} M^{\frac{2}{3}} m^{\frac{4}{3}} \beta^4 \dots \dots \dots (xi)$$

此式から β がきまる。此式中の常數の値を考ふるに、エムデンは太陽を分子量 18 の完全瓦斯球として前記 $\left| \frac{P_0}{\rho} \right|$ の式から $\frac{M}{R^2} = \frac{4}{3}$ に對し中心の密度、壓力を

$$P_0 = 74.94, \quad \rho_0 = 1.86 \times 10^{17}$$

と出して居るから、之を (xi) 式に入れると

$$\kappa = 3.754 \times 10^{14}$$

となり、之を

$$R = 8.23 \times 10^7, \quad c = 7.06 \times 10^{-5}, \quad M = 1$$

と共に (x) 式の κ の中に置くと

$$1-\beta = 0.0026 m^{\frac{4}{3}} \beta^4$$

を得るにより (xi) 式の常數の値は 0.0026 となる。エムデンは $\frac{M}{R^2} = 2.8$ と見積つて β を求め

太陽: $1-\beta = 0.106$

太陽の 13 倍の質量: $1-\beta = 0.615$

故に(iv)式に據り輻射壓は太陽の場合は普通の瓦斯壓力の一割、又十三倍の質量の星では六割に上る勘定である。

エヂントンは(i)及び(x)式にエムデンの解法を應用して平均密度〇・〇〇二、質量一・五(太陽單位)なる瓦斯球の密度、溫度、壓力の分布を計算して左表の如き結果を得て居る。

第四十一表

r	ρ	T
0	0.1085	4650000°
0.14	0.0678	3980000
0.29	0.0215	2710000
0.43	0.00503	1670000
0.58	0.00100	974000
0.72	0.000149	517000
0.87	0.0000039	207000
1.00	0.0000000

太陽の如き密度の大きさ(ρ=1.38)瓦斯球に上記の如き理論を其儘應用すること

は出来ない。此場合にはボイルの式の代りにファンデル・ワールスの式

$$p = R\rho T \left(1 - \frac{p}{p_0}\right)^{-1}$$

を用ひなければならぬので、エヂントンは之に對し

$$p = \frac{4}{3} c \frac{\beta}{1-\beta} T^m$$

$$\frac{1}{\rho} \frac{d\rho}{dr} = -\beta g$$

なる方程式を得た。茲に p_0 は其物質の達し得る最高密度で、太陽に於ては其大部分を通じて密度が p_0 に近くなつて居るものと考へられる。今 p_0 を一・五とすると β を如何に選んだら内部の ρ が之に該當するやうになるかを試みるに、質量一・五、密度〇・七なる瓦斯球では $\rho=1.8$ とせねばならぬことが分る。で級數展開の法に依り右記三式より左の如き結果が得られる。

第四十二表

	ρ	T
9.92×10^{10}	0.0
9.93	0.05	3.4×10^6
9.05	0.15	5.0
8.87	0.25	6.1
8.70	0.35	7.0
8.54	0.45	7.8
8.37	0.55	8.6
8.18	0.65	9.5
7.95	0.75	10.4
7.67	0.85	11.3
7.29	0.95	12.5
6.76	1.05	13.8
5.86	1.15	15.4

エチントンの所論は太陽内部の比較的深い所の状態に關するものであつて、表面近くに於てはエネルギーの流れを境界面に垂直とせず、今少し嚴密の取扱方を必要とする。又前に記したシュワルツシルトの方法も輻射を單に境界面に垂直な流れとして取扱つた點に於て大きな非難がある。ミルンは之を訂正し表面から a の深さに於て垂直線と θ の角度をなす輻射の強さ I と其點の溫度 T に相當する輻射エネルギー密度 B (即ち dI で表はさる)との間に

$$\cos \theta \frac{dI}{da} = k\rho(1-\beta)$$

なる關係を求め、輻射平衡の條件から半径の方向に單位面積を通過して流出するエネルギーの流れが一定して居るといふことが分り、其れを

$$2 \int_0^\pi I \cos \theta \sin \theta d\theta = \text{const.} = I'$$

なる方程式で表はした。で問題は此式と

$$I(0, \theta) = 0, \quad \left(\frac{1}{2}\pi < \theta \leq \pi\right)$$

といふ限界條件とにかなふやうに上記の方程式の解を求めるに在るので、ミルンは之に對し累進近似算法を用ゐ

$$B(r) = a + 2br$$

$$I(0, \theta) = a + 2b \cos \theta$$

$$\frac{I_1}{I_0} = 1.232 \quad (I' \text{は全輻射からシュワルツシルト法則で出したもの})$$

$$\frac{a}{b} = \frac{4}{3}$$

なる結果を得て居る。但し茲に τ は x の函數で

$$\tau = \int_0^x k \rho dx$$

で表はさるゝ量である。

上記の $I(0, \theta)$ は太陽像の光輝の分布を示す式で $0 \parallel 0$ は中心、 $0 \parallel \theta$ が縁邊の光度を示すものである。今之に依つて計算した光度を觀測値と比較するに第四十

第四十三表

中心距離	觀測(アポット)	計算(ミルン)
0	1.00	1.00
.2	0.95	.95
.4	0.91	.90
.65	0.87	.86
.75	0.82	.80
.85	0.78	.74
.875	0.71	.69
.92	0.66	.64
.95	0.60	.59

三表の如くである。

計算と觀測との一致はシュワルツシルトやエムデンの結果よりも餘程の優越を示して居る。

太陽^(二八三) 雲圍氣の溫度の分布に關してはミルンが輻射平衡の立場から之を論じて居る。其結果を摘記すると、スペクトルの各部に對し一様に吸収するやうな物質であるときは、溫度は大氣下底よりの距離の平方根に逆比例して減じ、主として赤外線を吸収する性質を有するものなるときも大體之に類し、又紫外線を主に吸収するものならば大體均溫的分布をなすものである。尙吸収の法則が如何であつても溫度低減率が平方根逆比例よりも急になるやうなことはないといふ結果に達したのはシュワルツシルトの所論を更に一般化したもので甚だ重要な事柄である。即ち太陽雲圍氣の溫度は上層でも下層に比して格段な懸隔がないといふ結論に達したのである。

太陽大氣の溫度分布を今少し細かに論ずるには種々の高さに於ける成分の吸收係數を知らなければならぬ。這の吸收係數の分布を詳かにするといふ事は

今日の智識では到底及びもつかないことであるがスチユウォート Stewart が吸収並に擴散係數と壓力、溫度、電離度との關係を論じた結果を利用し、尙サハが求めた電離度と溫度、壓力の關係をも併せ用ゐるときは瓦斯の不透明度が溫度と壓力の函數として表はされるので、シュワルツシルトの輻射平衡式は壓力、溫度間の微分方程式となり、之を累進近似算法で解くと、溫度の分布が得られるわけである。勿論此場合瓦斯の組成に關しては或る簡単な假定を置いてかゝらねばならぬので、^(二八三)今假に大氣がカルシウムのみから成るとして計算を行ふと左の如き結果になる。

第四十四表

壓力	電離度	溫度
10 ⁻¹⁰	1.000	4928°
10 ⁻⁵	0.993	4928
10 ⁻⁴	0.879	4929
10 ^{-3.5}	0.727	4947
10 ^{-3.0}	0.570	5041
10 ^{-2.75}	0.550	5137
10 ^{-2.5}	0.646	5562
10 ^{-2.25}	0.896	6545
10 ^{-2.1}	0.962	7335
10 ^{-2.0}	0.978	7871
10 ^{-1.9}	0.987	8423
10 ^{-1.8}	0.991	8926

壓力 10⁻¹⁰ の所はカルシウムの H K の上界に近く、前記の如くミツチエルの測定では約一四〇〇〇纤の高さにある。又電離度から見ると H⁺ の壓力は大體カルシウムの g 線の上界に當り其高さは約五千纤と推されて居るので、此高さは迄は溫度が次第に低減して行き其以上は殆ど均溫的であることが窺はれる。

^(二八四)ミルンは更に自轉を考慮に入れて輻射平衡を論じたが、其論旨は複雑な数理に満ちて居るので此處には立入らず其輪廓だけを抽出するに止める。

ミルンはやはりエヂントンと同じく單位質量より發生するエネルギーと吸収率を一定のものとして出發して居る。ω を自轉角速度(小さいものとす)とすると $\frac{p}{T^3}$ は中心距離 r のみの函數で、しかも中心を遠ざかるに従つて減少するものであることが容易に證明される。又

$$\beta = 1 - \frac{Ks}{CG}$$

なる量を導入すると、p/T 等の無自轉の場合に對する差は (i) $e^{-\beta} / p_m$ に比例する項と (ii) $e^{-\beta} / p_m$ に比例する項とに分れる。前者は r のみの函數で、後者は r の函數

と $P_1(\omega)$ なる函数として表はされる (r, θ, φ は極座標、 ρ_m は平均密度)。之等の補正項は ω のあまり大きくない限りは可なり小さいもので、大體に於てエヂントンの結論と大差はないのであるが、定性的に見て特に擧示する價值のある點は兩極部が赤道部に比し高温となる傾のあることである。之を通解するに、先づ瓦斯が靜止から次第に自轉を始むるものとする。赤道部は遠心力で或る程度迄膨れる。遠心力が輻射壓で物質を支へる作用に力を添へるから赤道部では輻射壓、從つてエネルギー流出量が極に比し小量であらねばならない。其結果極の方が赤道部より暑くなる傾があらう。此結論は完全瓦斯の法則があてはまる場合の「解」であつて、直ちに太陽の如き高密度の天體に及ぼすことは出来ないが、地球の如く外部からの受熱關係の相違により季節現象のあるものでなくとも、極と赤道部の間に於て雰囲気温度を異にし得るといふことが分つたのであつて、又太陽大氣に南北流の存在するを主張すべき有力な論據が提供された次第である。而して此南北流は恐らく自轉の偏向力で東西流を誘出するだらう。

二二八 太陽瓦斯の東西分運動に關する

數理的考察

此問題は別言すれば自轉の考察である。太陽自轉の問題を數理的に取扱つたものは甚だ少い。其は瓦斯球の自轉を表はす流體力學の方程式が餘程の單純化的假定を設くるにあらざれば解が不能であつて、斯様な單純化は實際問題の論究をして殆ど無價値ならしむるが故である。

^(二八五) ウィルシング Wilsing は全體が密度の均一なる不可縮流體で成るものとし、其各部分が自轉軸 Z の周りに Z 座標と中心距離 r とのみに依關する速度を以て圓形軌道を畫いて動くとして考へて、角速度の平均値よりの偏差が甚だ小さいといふ假定の下に、流體力學の方程式と連續性の式とから $\omega = a + b \frac{r^2}{R^2}$ なる所に於ける角速度として

$$\omega = a + b \frac{r^2}{R^2}$$

或は

$$a = a + b \sin^2 \varphi$$

なる形の解を見出すことが出来たことは既に自轉の項で述べた通りである。茲に a, b は中心距離 R のみに依關する定數である。而して φ の係數 b は時刻 t の函數で次の如き形を有つて居る。

$$\phi(r, t) = -\frac{3}{2r^3} \sum_n h_m q_m e^{-\alpha^2 h_m^2 m^2} [c_{m1} \psi(h_m, r) + c_{m2} \chi(h_m, r)]$$

此式の中で α は内部抵抗の係數 k と密度 μ の函數であつて $\alpha^2 = \frac{k}{\mu}$ で表はされ、又 ψ, χ は起算時及び境界の條件で定まる h_m, q_m, c_{m1}, c_{m2} なる常數の函數であつて

$$\begin{aligned} \psi_n(h_m, r) &= (-1)^n 2^{n+1} h_m^n r^n \frac{\partial^n}{\partial (h_m^2 r^2)^n} \frac{\sin h_m r}{h_m r} \\ \chi_n(h_m, r) &= (-1)^n 2^n h_m^n r^n \frac{\partial^n}{\partial (h_m^2 r^2)^n} \frac{\cos h_m r}{h_m r} \end{aligned}$$

なる形を有する。でウィルシングは起算時に於ける r の値が或る二つの中心距離 R_1, R_2 で零になるとし

$$\phi(r, 0) = A(r - R_1)(r - R_2)$$

なる形に表はされるものと考へて上記級數の各項を計算したのである。例へば $R_1 = 1, R_2 = 3$ (太陽光球の半徑を單位とし) とすれば

$$\begin{aligned} \phi(r, 0) &= \frac{A}{r^3} [158.0 \psi_3(2.366, r) + 195.3 \psi_3(3.688, r) + 145.3 \psi_3(5.111, r) \\ &\quad + 127.5 \psi_3(6.59, r) + 100.0 \psi_3(8.09, r) + 91.3 \psi_3(9.63, r)] \end{aligned}$$

となり、此級數の各項に $e^{-\alpha^2 h_m^2 m^2}$ を乗ずれば $\phi(r, t)$ の値が得られる。例へば $r = 1.25$ に於ける値を計算すると

$$\begin{aligned} \phi(1.25, t) &= A [-2.339 e^{-2.39^2 \alpha^2 t} + 2.713 e^{-3.688^2 \alpha^2 t} - 1.440 e^{-5.111^2 \alpha^2 t} \\ &\quad - 0.838 e^{-6.59^2 \alpha^2 t} - 0.410 e^{-8.09^2 \alpha^2 t} + 0.212 e^{-9.63^2 \alpha^2 t}] \end{aligned}$$

マクスウェル、マイヤーに據ると k は絶對温度の平方根に比例し

$$k = B\sqrt{T}$$

と置き得る故、密度を地上の空氣の百萬分の一とし、零度に於けるもの値として水の 0.00098 を用ゐると

$$\alpha^2 = \frac{773.5 \times 0.00098 \times 10^6}{5.577^2 \times 10^{20}}$$

此値を用ゐて自轉公式中の $\frac{d \sin^2 \theta}{dt}$ の係数が變る割合を計算すると $\frac{d \sin^2 \theta}{dt}$ の變化を生ずるに 1860000 年を要する勘定になる。斯様な次第で或る時代に何等かの原因によつて賦與された角速度の不均等が平均されずに現在に残されて居るものであらうといふのがウイルシングの見解である。

要するにウイルシングは同心回轉面で表はされる等密度面を假定し、之に垂直な氣流は星體の年齢の進むに従つて速かに消殺される傾もあるも、此面に沿ふ流れは此面内の瓦斯粒子が揃つて同軸の周りに回轉して居る結果として、内部摩擦の外に消殺作用を遣うするものがないからして、永遠に残留することが出来たものであらうと見て居るのであるが、上記計算の結果は現今一般に想定されて居る太陽の年齢から見ると極短い時間に自轉の不均等が消殺されてしまふことを示し

て居るので、どうしても他に絶えず此不均等を助成若くは維持すべき作用が働いて居るものとしなければ解釋が出来ないのである。茲に於てやはり前に述べた如き南北の溫度不均等といふやうな原因を考へる必要が起つて来る。

因に上記ウイルシングの解は不可縮流體に就いて得たものであるが、議論の筋を點檢するときは必ずしも不可壓縮の場合に限らず $\frac{d \rho}{dt} = -\rho \frac{d \ln \rho}{dt}$ が一様であれば同一の解が成立つものであることが分る。其れには溫度が密度の二乗に比例し $\rho \propto T^2$ なる形に表はさるればよいのである。尤も之も可なり特別な條件であつて、實際に此様なぐあひになつて居るか否かは甚だ疑はしいので、可なりの理想論であることはいふ迄もない。

ハルツァー Harzor の考も大同小異で密度と溫度が瓦斯球の中心距離及び極距離のみの函數であり、等密度面及び等溫度面が球面に近い回轉面(自轉軸を回轉軸とする)であるといふ假定の下に方程式を解いて

$$\omega^2 = A - \sum_m B_m \cos^2 \varphi$$

なる形の解を得て居る。茲で B は内部摩擦から起る係數で A に比しては小さい

数である。此式は少しく變形してBの高次項を省略するとウィルシングと同じく

$$\omega^2 = a - b \sin^2 \varphi$$

なる形に直ほすことが出来る。

ウィルチンスキー E. J. Wilczynski の行つた論法は一部の論者には可なりの非難はあるが、此種の理論中有数のものであるから、其輪廓だけでも茲に抽出するのは徒爾でなからう。氏の議論は先づ内部抵抗を考へ入れた一般の流體力學の方程式から出發する。瓦斯球の各微要素が ω の面に平行で z 軸上に中心を有する圓形を畫いて動くものとし、しかも一つの軌道上では何所も變らない角速度を有するものとすれば、(内部摩擦ある場合) 斯様な運動が成立し得るか甚だ疑問とせざるを得ない(連續性の式から直ちに

$$\begin{aligned} \sigma &= \frac{\partial u}{\partial x} + \frac{\partial v}{\partial y} + \frac{\partial w}{\partial z} = 0 \\ \frac{dp}{dt} &= 0, \quad \frac{\partial p}{\partial t} = 0 \end{aligned}$$

の三式が得られる。此事は回轉瓦斯球の一點に於ける密度が不變であり、しかも或る同一の流動微要素に就いていふと其密度が終始不變であるといふことを意味するものである。で運動の方程式を變形すると

$$\begin{aligned} -r\omega^2 &= f \frac{\partial V}{\partial r} - \frac{1}{\rho} \frac{\partial p}{\partial r} \\ 0 &= f \frac{\partial V}{\partial z} - \frac{1}{\rho} \frac{\partial p}{\partial z} \end{aligned}$$

$$\frac{\partial \omega}{\partial t} = \frac{k}{\rho} \left(\frac{2}{r} \frac{\partial \omega}{\partial r} + \nabla^2 \omega \right) + \frac{\partial k}{\partial r} \frac{\partial \omega}{\partial r} + \frac{\partial k}{\partial z} \frac{\partial \omega}{\partial z}$$

となる。茲にVは ω のなる點に於けるポテンシアル、kは内部抵抗の常數、 ρ は單位の選擇次第でさまるところの或る常數である。

此三式から更に

$$\omega^2 = \frac{1}{r} \int_{r_0}^r \frac{1}{\rho^2} \left(\frac{\partial p}{\partial r} \frac{\partial p}{\partial z} - \frac{\partial p}{\partial z} \frac{\partial p}{\partial r} \right) dz + f(r)$$

なる式が導き出される。 $\omega^2(r)$ は r なる平面に於ける ω^2 の値を表はし、 r と t のみの函数である。茲でまた等壓面と等密度面とが一致するといふ新たな假定を置く。さうすると右の式は

$$\omega^2 = f(r)$$

なる簡単な式となつてしまふ。即ち z 軸を軸とする一つの直圓筒の上に於ける總ての點の角速度は一定であるといふ結果に到達したのである。

尚

$$P = \int \frac{dp}{\rho}$$

とちくと前記運動の方程式は

$$\frac{\partial (fV - P)}{\partial r} = -\omega^2 r$$

$$\frac{\partial (fV - P)}{\partial z} = 0$$

$$\frac{\partial \omega}{\partial t} = \frac{k}{\rho} \left(\frac{\partial^2 \omega}{\partial r^2} + \frac{3}{r} \frac{\partial \omega}{\partial r} \right) + \frac{\partial k}{\partial r} \frac{\partial \omega}{\partial r}$$

と變つて来る。最初の二つから

$$\int fV - P = - \int_0^r \omega^2 r dr + C$$

なる式が出る。茲で C は t のみの函数である。之に

$$p = \rho fT, \quad K = \beta \sqrt{T}$$

なる關係を加へて ω を r の函数としてきめようといふのである。

更にポアソン Poisson の方程式

$$\nabla^2 V = -4\pi p$$

を用ひて前式を少しく變形すると

$$4\pi f \rho + c \nabla^2 T + c T \nabla^2 \log \rho + \frac{c}{\rho} \left(\frac{\partial p}{\partial r} \frac{\partial T}{\partial r} + \frac{\partial p}{\partial z} \frac{\partial T}{\partial z} \right) = 2\omega^2 + 2r\omega \frac{\partial \omega}{\partial r}$$

$$\frac{\beta \sqrt{T}}{\rho} \left(\frac{\partial^2 \omega}{\partial r^2} + \frac{3}{r} \frac{\partial \omega}{\partial r} \right) + \frac{\beta}{2\sqrt{T}} \frac{\partial T}{\partial r} \frac{\partial \omega}{\partial r} = \frac{\partial \omega}{\partial r}$$

此二式からして若し T が均等である場合には ρ は r のみの函数となることが分る。即ち等密度面が直圓筒であるか、全體が一つの剛體様に自轉しなければ最初

の假定の如き単純な運動は成立し得ない。等密度面が大體球形である場合には瓦斯球の各微要素は圓形軌道をとらず螺旋狀に動いて行く。又 λ が小さいものであれば圓に極近いものである。

ウィルチンスキーは内部の状態を假定して上記の式に依り角速度分布を求むる代りに、角速度に就いて観測から分つて居る分布則を採り之に對應する内部壓力の分布を吟味するといふ方針に出た。前記

$$\int V - P = - \int_a^r \omega^2 r dr + C$$

の式からして等壓面の式が

$$\int V + \int \omega^2 r dr = \text{const.}$$

であることが容易に分る。又観測から知られて居る自轉法則は

$$\omega^2 = \lambda + \mu r^2$$

なる形に表はされる。之を入れて等壓面が球に近い形で重心が原点と一致して居るといふ假定の下に近似算法で解くと、等壓面の方程式は

$$R = a \left[1 + A \left(\frac{3}{2} \cos^2 \theta - \frac{1}{2} \right) + B \left(\frac{35}{8} \cos^4 \theta - \frac{15}{4} \cos^2 \theta + \frac{3}{8} \right) \right]$$

となる。茲に R は座標原点よりの距離、 θ は餘緯度、 a は ρ なる等密度面以内に含まる、容積と同じ體積の球の半径である。尙此解は ρ が a^2 に反比例し $\rho = \mu / a^2$ で表はされるものとしての結果である。

表面に於ける a の値を a_1 とし、以上の式から境界面の橢率 e を求むるに

$$e = \frac{\text{赤道半径} - \text{極半径}}{\text{赤道半径}} = \frac{5}{4\pi f \sigma} \frac{a_1^2 \lambda}{3 + \sqrt{17}} + \left\{ \frac{1}{16} - \frac{3}{448} (\sqrt{73} - 7) + \frac{1}{4(3 + \sqrt{17})} \right\} \frac{a_1^4 \mu}{\pi f \sigma}$$

地球軌道の半径、太陽の質量、平均太陽日を長さ、質量、時間の單位とすれば f は k は重力常數に等しくなり、 a の定義から

$$M = 4\pi \int_0^{a_1} \rho a^2 da = 4\pi \sigma a_1$$

M は 1 であるから此式で σ の値がきまり、ハルツァーの求めた自轉角速度の観測式

$$\omega^2 = 0.06032 - 0.03458 \cos^2 \theta$$

と前記の式との對比により μ の値をきめ、之を σ の値と共に e の式に入れると

$$e = 0.000010268$$

といふ非常に小さい値が出る。之は前にも述べた如く太陽の橢率を観測では到底分らない程小さいものである事とよく相應して居る。之に反し ρ を均等なものとして計算すると e の値が可なり大きく出で觀測と合はなす。

舊來の研究者は多くは太陽自轉の赤道加速度を太初に於て加へられた衝撃の影響が残留して居るものとして解釋して居る。ムートン Moulton はチャンバリン Chamberlin の唱へた微惑星説を利用して之を説明せんとした。此假設は太陽系の成生を二つの恆星(太陽)の接近して相互の起潮力の爲同轉球體の兩端が膨れ出し、其れが甚だしくなると遂に内部より物質が飛漲して中心體の周圍を轉週する微惑星群を形成し、次いで此微惑星群の所々に心核が出来て引力の中心となり周圍の微惑星を吸引して一段と大きな惑星が出来ると唱へるものである。斯様に二つの恆星が接近するといふ機會は現在知られて居る恆星分布のぐあひ(相互の距離)から考へると極めて稀な現象と思はるゝが絶無とは言へ

ない。此場合近接恆星の起潮力と太陽表面の重力との比即ち太陽面の膨れ出す傾向は太陽の半徑の二乗に比例し、相互距離の三乗に逆比例するもので、太陽對地球の場合を單位として之を表はすと、太陽と同質量の恆星が一千萬哩の距離まで接近した場合には約二千倍、距離が此の半分に短縮すれば一萬六千倍になる勘定である。太陽が均質な流體から成るものとして計算すると、斯様な起潮力の作用に依り表面が五〇〇哩だけ膨れ上る。此現象は太陽の表面近くに於ける如き高熱の稀薄な瓦斯に於ては更に幾層倍も激しく起らねばならない。極度に膨れ上り力の均衡が破れると内部から流動物質が噴出する。噴出した瓦斯は冷却して無數の固體核を形成する。此假想的の微小天體が所謂微惑星 Planetesimal である。微惑星は遙か遠方まで飛び離れて太陽の周圍を其引力に導かれて運行するものもあるし、又一部は重力のため復び太陽面に歸來するものも少くあるまい。微惑星は太陽から飛び出すときは近接恆星の攪亂作用に依り角運動量を増加するので其の太陽面に落下する際は垂直に落下せず、いくらか前方への運動を持つて衝下して來る。即ち太陽は之に依つて角運動量を獲得する結果となり、遂には之が

其自轉運動を支配するやうなことになるのである。尙潮汐隆起部は近接恆星の運行の方向に引きずられて行く結果、其の方向に向つて自轉流を生ずるに至ることも見通せないことである。でムールトンは微惑星群が〇・九なる離心率の軌道を畫いて運動し、其近日點の近所で太陽に吸引されたものとして、現在の自轉速度を起すに必要な微惑星の總質量を計算し、太陽質量の〇・二バセントと見積り、赤道部には最も澤山の微惑星が衝突する故に一番角速度が速くなり、角速度の向極傾度の最も急な帯域に黒點が出来るのだと唱へて居る。

ムールトンの説は恆星接近の機會が非常に稀であるの故を以て極端な否定説を持つる者が多いけれども、最近ジーンズ等の唱ふる如く恆星發展史の主線から一寸外れて居るやの觀あるセファイド變光星、惑星狀星雲、長週期變光星等の支系に屬するものは隣接恆星の攪亂作用で主線を少しく脱したものと見るのが最も自然であるといふ理由で、微惑星説は一部恆星の生立を説明する方便として復活し來つた形である。太陽系が普通の星雲説(近代的)の主張するが如き分裂作用に基くものでないことは回轉運動量の甚だ小さいことから明白であつて、他に之に

代るべき適當の假設を見出し難き現状に於ては、太陽をば以上の如き恆星發展史中の除外例的道程にはめこむといふことは強ちに無理なやり方ではない。

偕て以上の如き作用に依つて太陽の自轉の不均等が生じたものとするも、其れが現今迄途方も無く永い年代の間持續するためには、微惑星の落下が非常の長期に亘り其全質量は可なりの大量に上らなければならぬ。其結果として豫想される、太陽質量の増加率は莫大なもので、前章に述べた如き理由に據り到底之を認容することは出来ない。で結局我々は斯様な原因以外に自轉角速度の不均等を起すべき内部的の原因を他に尋ねなければならぬことになつて來る。其は更に後節に於て黒點の成因と併せて考へることにしよう。

第九章 太陽の性體

二九 太陽の實體に關する學說の開展

太陽の實體に關する理論は無論天文學の歴史と共に數百年の昔に遡つて追跡することが出来るけれども、其は殆ど單なる趣味の仕事に過ぎない。實驗を主として數理に確實な基礎を要求する近代科學の研究法と其成果を紹介しようとする現著に於ては寧ろ其領域外のこととして割愛しなければならぬ。近代科學の行き方による太陽の理論が開始したのはガリレオが黒點を發見して以後のこととて今日迄僅か三百年を出でない。此期間を科學的理論の時代と言ひ得べくんば其以前は哲學的乃至は宗教的理論の時代とも言へよう。科學的理論の時代は更に大別して二期に分けられる。即ち第一の時代は(一)單に太陽面に現はれた現象の觀測に基きあやふやな推理に據つて太陽其物や之等現象の性體に關し種々

の憶測を逞うして居た時代、(二)分光器の應用が開始されて太陽の内外に於ける物質の性狀を確實な物理學の原理と實驗的方法で詮索し、之に基いて諸種の理論が開展された時代で、其はキルヒホフが分光學の原則を確立した時に端を發し、次第に進んで現在に及んで居る。此第二の時代は更に前後二期に分たれよう。即ち最近二十年程の間物理學に於て物質内部の構造に關する方面の研究が格段の進歩を示したのに伴つて、其應用に依つて天體物理學上續々新たな領域が開展されたと同時に數理的の研鑽が一層緻密を加へて來たので、物理學が舊物理(ニュートンの)からアインシュタインの新物理學によつて立て直ほされたと同時に、天文學が新天文學から新天文學へと姿を變へ、其一部門である太陽に關する理論の上にも一新期を劃するに至つたのである。で我々は科學的理論の時代でも主として分光器時代に入つてからの進歩を概觀し、所謂近代の太陽觀を紹介し兼て現代の趨向の一端を窺つて見ようとするのである。

三〇 太陽の性體に關する近代學說

キルヒホフの原則の齎らす太陽の實體に關する歸結は既に前章に於て略説したところ、太陽輻射を單に高温度に基く現象と見るならば、其れが最も自然の歸趨と思はれるが、連續スペクトルの發源場たる光球の性質及び其内部の状態に關する結論に至つては未だ容易に黑白を決し難いものが多い。ツォルナー Zöllner 及び一派の學者の所見(一八七〇年前後)では太陽光球は液狀心核を包む白熱状態の雲層と考へたものである。成程是はスペクトル線の觀測やキルヒホフの輻射律に照らして一應尤もな假設ではあるが、太陽の平均密度の甚だ小さいこと(地球の約四分の一)から考へると固體若くは液體の心核を有するとは大分無理がある。太陽に鐵、ニッケルの如き重い金屬が多量に存在して居ることは分光器的檢證の結果争はれぬ事實で、若し其れが液體や固體として太陽の内部に藏されて居るものとすれば平均密度が斯様に小さくはあり得ない筈である。而して左表に掲げた氣化温度の示す如く太陽の表面又は内部に於けるが如き五千度以上的高温に於ては大抵の物質が瓦斯體としての外存在し得ぬことが實驗的に分つて居るので、太陽は内部も主として瓦斯體であると見るのが自然である。

第四十五表

元 素	氣化温度 (189) (一 氣 壓)	測定年及ビ測定者
アルミニウム	1800°	1909 グリーンワード
アンチモン	1440	1909 同
鉛	1525	1910 同
クロム	2200	1909 同
鐵	2450	1909 同
黄 金	2610	1919 ルフ, ベルグダール
ヘリウム	-268.8	1911 オンネス
インヂウム	1450	
イリヂウム	電弧	
カリウム	757.5	1905 ルフ, ヨハンセン
コバルト	2375	1914 ルフ, カイリツヒ
炭 素	3917 4432 (八氣壓)	1920 コーム
銅	2100	1903 フェリー
リシウム	1400 以上	
マダネシウム	1120	1911 グリーンワード
マンガン	1900	同 同
ナトリウム	877.5	1905 ルフ, ヨハンセン
ニッケル	2340	1914 同
バラヂウム	電弧	同 同
燐	287.3	
白金	3804	1920 ファン・リームプト
銀	電弧=テ蒸發	1909 グリーンワード
水銀	357	
シリコン	1200-1300	1913 ヴァルテンブルヒ
窒 素	-195.46	1900 バリー

太陽内部の壓力に就いては何等觀測の結果を有せざるも前章に於て略説した二三の理論的考察に基きて推定するときは、途方もなく大きなものであることは確かである。斯様な高壓の下に於てもなほ物質が瓦斯狀を保ち得るものであるか否かと云ふことは疑問である。其は非常な高温度に於ける物性の問題であつて、近代の進歩した實驗法を以てしてもなほ太陽内部に於ける如き高温度高壓の下に物性を試験することは出来ないものであるからして、以上の如き疑問に對しては何等の斷案をも下し兼ねるのであるが、大抵の物質は如何に壓力を加へても温度が或る臨界點を超えると液の性質を保ち得ないものであるから、太陽内部の如き一萬度以上にも達する高熱の下に於ては總ての物質が氣體となつて居るものと考へるのが至當である。臨界温度は若干の物質に就き測定された成績があるのみで、其他大多數の物質に關しては實驗的の材料が無いけれども、種々の根據から一萬度を超えると大抵は液體として存在し得ないものと考へられる。

茲に注意すべきことは非常な高壓の下ではたとへ瓦斯體であつても完全に瓦斯の法則を具有して居るものとは考へられまいと言ふ疑である。或者は之を半

ば液體の如き性質を具へて居るものと考へ、また非常な高温度にあるため非常に粘性の勝つた、而かも相當壓縮性膨脹性を有つた流動體であらうと考へて居るが、エヂントンが高密度の恆星に對し完全瓦斯の法則をあてはめて理論的に其光度關係を吟味した結果はよく觀測の結果と一致するに由り、太陽の内部は殆ど完全に電離して居るため高密度でありながら完全瓦斯の性質を具有して居るものだらうと論斷して居る程であるから、太陽全體を普通の意味に於ける瓦斯球と見做しても差支ないと考へる。

光球の白光即ち連續スペクトルは如何にして生ずるか。太陽大氣太陽瓦斯體説に立脚する場合大氣と心核とを區別するのは如何と思はれるが便宜上此文句を用ゐることにする)の中には固體又は液體の粒子を澤山に含んでは居るであらうが、其れが下底に於て特に濃密で連續スペクトルの發源層を成すと考へることは理論上に無理がある。第一下層は温度が非常に高い。又光壓が強い。従つて粒子の密度はむしろ上層に於て大きくあるべきである。でロツキア¹は瓦斯體が壓力を加へるとスペクトル線の幅を増すといふ實驗の結果に基いて、光球の光

を太陽深層の高壓部より發するものと考へるに至つた。同様の觀測はウィルソン山でキング等が繰り返へし確めたところで一般に信じられて居る現象であるけれども、近年フラウンホーファー線の觀測から出した壓力値の非常に小さいことと撞着するので光球層の高壓説には贊同されない。

最近の原子物理學の觀念に據ると稀薄な瓦斯體でも周圍の條件次第では連続スペクトルを發することが出來ぬことはない。アトキンソン^(二九) R. D. E. Atkinson は電離した瓦斯内のイオンの電場に因りスタルク效果でスペクトル線の増幅を來し、遂に連續スペクトルになることが出來るといふ説を理論的の立場から主張して居る。實際強度の火花で溫度を思ひ切り高め同時に電離を完全にすると輝線が著しく増幅し連續スペクトルへの轉換を示すことがある。然し又一面に於て此説が正しいとすると、溫度と連續スペクトルの光度分布の關係を表はすウィーソンの法則は物質に依り又電磁的の條件に依り異なる形をとらねばならぬといふ困難が生ずる。

サハ^(三〇) は連續スペクトルの輻射は各の波長の光が夫々一つの薄層から發して出

來上つたものだらうとの見解を持つて居る。又ステュウオートの推算した如く電離に依つて生じた自由電子の輻射吸收が主要な役目をつとめるものとするれば原子所屬の振動電子と異りあらゆる週期の振動が雜然と入り亂れて生起する結果連續スペクトル即ち白光を生ずるに至るであらう。之等の説は未だ十分まごまつた形に於て提唱されて居らないから單に好望な一説として將來の發展を期待するに止めねばならない。

三一 黒點及び關係諸象の性體

太陽面に生起する各種の現象は悉く太陽黒點に關聯して居るものである故に、黒點生滅の機巧を探究するといふことは隆角、白斑、其他諸象の性體に光明を與へることとなり、又黒點の理論は同時に他の形象の説明に役立つものであらねばならぬ。

先づキルヒホフの黒點論から始める。地球大氣の所々に浮ぶ雲層が水蒸氣を含む空氣の冷却に依つて生じた凝結水滴の群集したものであることは今更説く

迄もない。太陽の大氣中に於ても何かの原因で其組成分たる各種の高熱瓦斯が凝結を起し一種の雲層を形成することは不可能でない。すると此雲層より上方に於ては光球面の輻射が遮蔽される結果冷却を起し雲層は上へ上へと成長して行くものと考へられる。而して其れが光球の光を遮る結果其部が闇黒に見え所謂黒點を現出するに至るだらう。第一雲層の更に一段と上層に於て第二の雲層が出来る。而してそれは第一雲層より薄くして廣い面積を占める故に、第一雲層の周圍にはみ出し其部分が下の光を多少すき透して半黒に見え、中央部は雲層厚きため格段の闇黒さを保つて居る。斯くして本陰影と半陰影の區別が出来るものであらう。而して雲層の上に在る大氣は輻射を遮られて冷却する結果下降氣流を生じ其層面に達するに及んで四方に吐出され、其流線に沿うて雲粒が縞狀の配列をなし半陰影の放射狀縞模様を現出することにならう。斯ういふのがキルヒホフの理論の筋であるが凝結が起きても絶えず之を促進するやうな作用が續いて働かなければ雲層は忽ちに消散してしまはねばならない。下からの輻射を遮つて上層に於ける雲の成育を助けるといふことは下層の雲が安定であるとい

ふ斷定の下にのみ許さるべきプロセスである。凝結粒子群は輻射能が大きくて其部が反つて周圍よりも強く輝き而して上層が反つて温められるといふ結果にならぬとも限らない。

ツォルナーの黒點論も遮光層の成生を説く點に於てキルヒホフのに似通つた所があるが、全體を包む雲層は光球の輝きを添へるものであり同時に内殼の冷却を防ぐ覆被と見做され、其一部に生じた裂害が熱の放射を助くる結果内球(液體)の表面を冷却せしめて固體の浮揚物が出来、其部に對する熱の供給が阻碍されるため冷却が更に進行して輻射が弱り、其結果闇黒に見えるのだと考へて居る。而して、之が黒點本陰影の性體で其上面近くに生ずる雲層が半陰影として現はれるのだといふのであるが、斯様な恆久的の雲狀覆被が平衡状態として成立し得るものとは思へないし、固體の冷却成生物が一時出来るとしても太陽の如き高温度に於ては永續し得ないことは明かである。無論くつきりとした界面の存在を否定する今日の太陽瓦斯球觀に於ては、固形物が表面に浮游するなど云ふ考は容れらるべくもない。ツォルナーの學說に於て紅焰を氣泡の爆發に伴ふ瓦斯の噴出とな

す如きは今日の太陽觀に於ては一顧の値なきものである。

セツキが隆角を以て太陽内部に於て或種の化學作用で起つた爆發に伴ひ噴出する瓦斯であると考へ、噴出柱が太陽面に投影された場合に其吸收作用に依つて黒點を現出するとしたのには卓見といはねばならない。殊に黒點に於けるスペクトル線の特性をも之に依つて説明しようとしたのは一段の進歩である。金屬吸收線の特に増幅することや二重反影の現象を濃密な厚く盛り上つた噴出瓦斯の作用に歸したのは不十分ながら近代的の論法に一步を踏み入れたもので感服の外ない。噴出した瓦斯は重力で再び周圍に落下し其勢で光球面を押し下げ且中央の闇黒瓦斯塊に向つて急激に流れ込む結果として半陰部の放射縞時としては螺旋形の縞を形成し、而してウィルソン現象として知らるゝ凹状を示すものであると言つて居るが、同一の場所から長い間同じ状態の噴出が持續さるゝといふことは化學作用に依る爆發現象としては受取れない。それには連續的にエネルギーを供給するものがあつて定常的の局部的循環系を維持して行くのでなければならぬ。而して太陽の熱度に於ては多くの物質が解離して居なければならぬ

のでセツキの想像するやうな化合が内部に於て屢起り得るものではなからうと思はれる。尙セツキの考では黒點は噴出瓦斯が主として金屬性である場合に限つて出来るもので、水素紅焰の場合には其が吸收層の物質を押し除けると光球が其部に於て吸收層の浅い所迄腫脹するので反つて光輝を増し白斑が出来るかと考へて居るが、何故に場合によつて主に水素を噴出したり又主に金屬を吐き出したりするかが明かでない。

ファイエ Hays が同じ頃唱道した黒點論に於てもやはり黒點の「黒味」を比較的冷かな瓦斯の吸收に歸したのは近代的分光研究の結果と符合した卓見である。殊に上層大氣の渦卷を黒點成生の主因と見た點は最も指摘すべき特色であらう。地球大氣中に出来る龍卷や颶風(低氣壓)と似寄つた渦卷が太陽上層の水素層に出来、周圍から其中心に向つて水素其他稀薄な瓦斯が螺旋狀に流れ込む。此渦動は次第に下層に傳播して行く。中心に流れ込んだ瓦斯は下方に吸ひ込まれて行く。其結果中心では比較的冷かな瓦斯が柱狀に堆積する。斯くして此瓦斯柱の吸收作用が黒點心核を現出せしむるのであるといふのがファイエ説の骨子である。

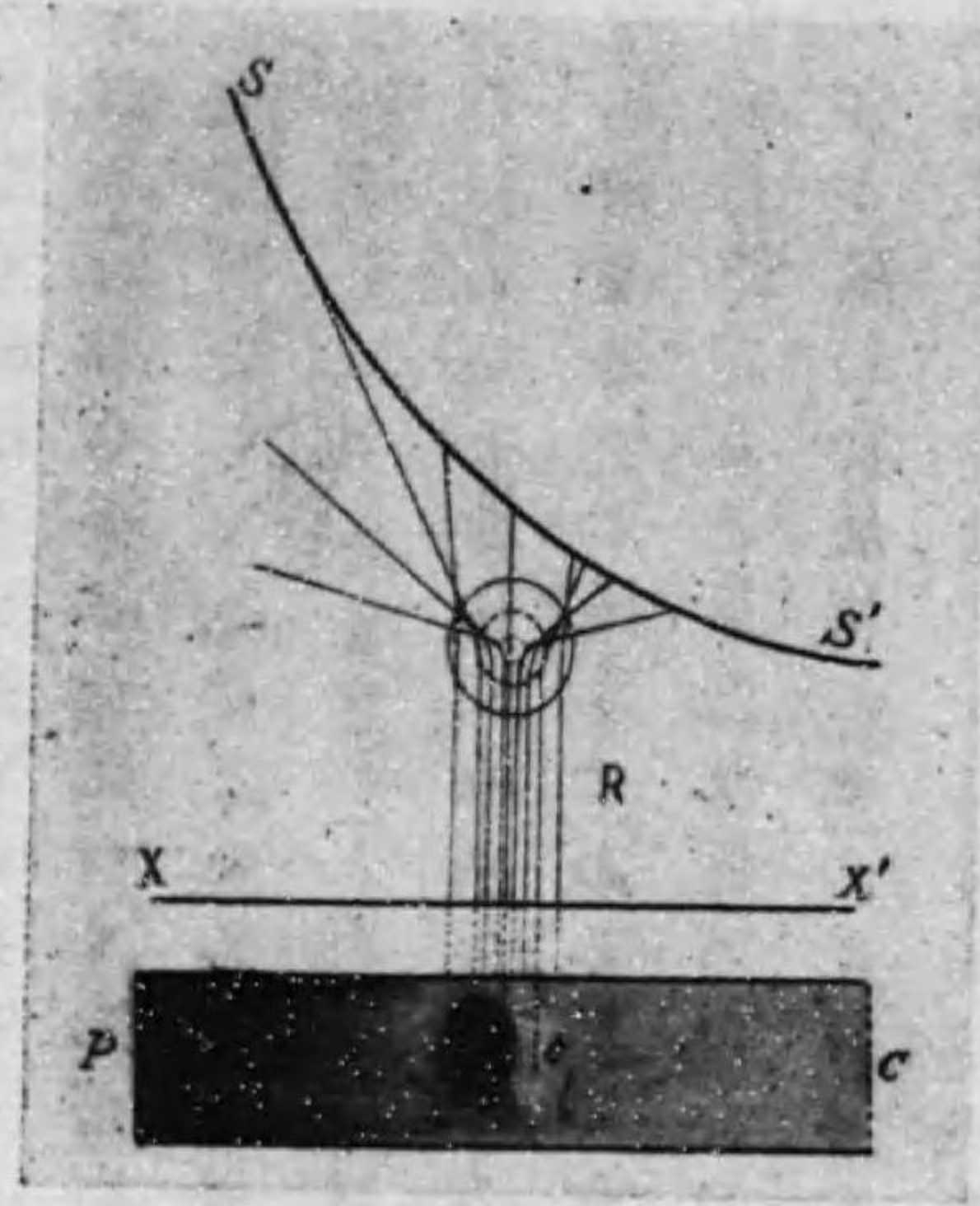
而して隆角に關しては降水素流が大氣下底に於て四方に吐き出され其間に更に高熱を賦與されて上方に奔騰するものであるといふので、黒點中心と其周圍の區域間に局部的の對流系を想定するものである。上層に吹込、下層に吐出運動があるといふことは正しく近年の分光觀測の結果と一致する所であるが、渦動エネルギーの源泉に關しては明かにする所がない。下降瓦斯柱が周圍に比し著しく低溫度であるといふことも單に上層の低溫度より來たるの故だけでけきまらぬ問題であつて大氣の溫度勾配(上下の)が異常に急峻であるとせねば成立たぬ議論である。周圍から上昇し膨脹の結果冷却した瓦斯の中心に吸ひ込まれたものだとするも同様の非難を免れない。近代の觀測や理論では少くもカルシウムのg線の層(氣壓約一萬分の一氣壓、高さ五千呎)以上では溫度勾配は非常に緩かなものとされて居る。ファイエの考へる如き現象ありとすればそれはずつと下層の數百呎間でなければならぬ。黒點の輻射吸收が主として下層のスペクトル線に限られて居るといふ事實を握らぬ限りは下降瓦斯流を以て黒味を解釋することは出來ない。

黒點周縁部の放射狀構造はやはり吹込の流線として解釋し、ウィルソン現象は、中心と周圍の氣溫差從つて光差が下層に於て顯著になり恰も黒塊が下底に沈下して居る如くであるといふ考で説明される。

シュミット A. Schmidt が太陽は瓦斯球であつても密度の分布が或る特別の條件を充足して居れば輪廓がくつきりと見えるといふ道理を説いたことは既に前章に於て述べた通りであるが、此理を太陽大氣中の所々に生ずる異常な密度分布に推し擴げると、黒點其他の現象は光球の各所から發する光が大氣を通過つて外部に出る際異常屈折に依つて種々の特殊な光度分布を呈するがために現はれるものではないかといふ奇抜な理論が生まれる。此學派の見解を代表し極度に、光學的幻象論を振りかざして居るのはジュリウスである。

前記の如くジュリウスはスペクトル線の極めて近くでは光の屈折係數が非常に大きくなる結果異常分散や異常擴散を起し、光球面の光が遮られたり若くは特に強まつたりするので、黒點其他の現象を呈するのだと主張して居る。ジュリウスの考もやはり渦卷説に根據を置いて居るのであつて、其説では、渦卷の中に於て

は瓦斯の密度が中心に近づくに従つて次第に低減して居り其低下率は心核に近い程著しいとする。渦動軸が光球面に大體垂直であると、光球面の一部SSに於ける斯様な渦巻を地球から見ると、心核に近い所から来る光線は密度勾配最大の所を通るので彎曲が甚だしくaaの様な道筋をとり、芯からの距離に應じてbb, cc, …といふ様に漸次彎曲度を減じて行く。aaの如き線は光球面外の光



第九十五圖 異常分散に依る黒點の成立

輝の微弱な大氣中から来て居るので光薄くして黒點心核の微光部を形成するが、bの如き線は光球面に對し非常に斜めに出發して来るので吸収が著しく利いて光が弱まり黒點の半陰部を成す。又斯様な渦巻が太陽縁に近いときはccの如き線は光球面に直角に出發し其兩側では斜に出るといふやうな事情が起るので、cは周圍に比し光輝の強い部となり、白斑が現は

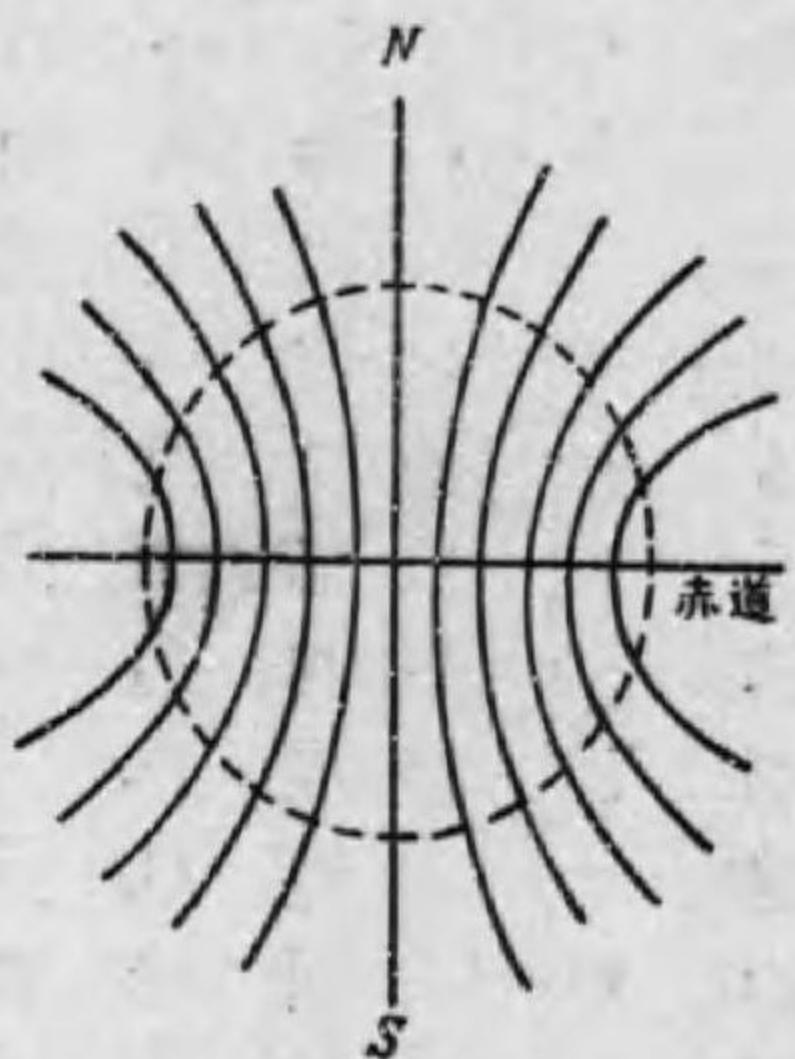
れる。本陰影と半陰影の境界は太陽の水平線である。半陰部の放射的な刷子狀構造は渦動の成層面(例へば圓筒狀)に於ける壓力波に因つて生ずるものとし、光橋の突如として心核を横ぎり言語を絶する大速度の噴焰が現はるゝなどいふことは皆密度の急激な變化から起る光線通路の曲歪といふことに據つて難なく解釋することが出来る。是が黒點及び之に關聯する諸現象の正體に對するジュリウスの假設である。ジュリウスの説は前にも述べた如き非難があり一般の認容するところとならない。

前記諸説に於て假定された様な渦巻の成因に關しては、流體力學上最も難解の問題に屬し、容易に説を立てることは出来ないが、エムデンはヘルムホルツの大氣波浪説を利用して巧みに之に解釋を與へて居る。無論此説にも種々の難點はあるが此方面に於ける代表的の理論であるから一例として其梗概を掲げる。

一般に密度の著しく異つた流體が境界面に於て接觸しつゝ之に沿うて相對的に運動して居るときには、其面に波動を生じ速く動く方の流體の運動方向に傳播して行くのは周知の事實である。水面を吹く風の作用で波の起るのも其一例で

あるし、地球大氣中の波状雲の成生なども此考からすると上下に温度の急變層が重り合つて其境界面に沿うて互に滑り動く結果として生ずる波浪と解釋することが出来る。斯様な浪が高くなると遂に其頂部が巻き崩れて渦になるといふことも磁波などの經驗から明かであつて、また理論上からも相當支持さるゝ事柄である。

此理論を太陽に應用するに當つてエムデンは對流平衡の考を基礎にし、上層で冷えて重くなつた瓦斯が沈下し、之に入れ替はるために上昇する瓦斯ありて各所に上昇流柱と下降流柱とが錯綜して存在して居るものと考へた。上昇流と下降流の接觸する所の状況を考へるに、上昇流の方では下方の温度高くして自轉實速度遅き所に發する瓦斯であり、下降流中に在る部分は低温高速の上層に發したものであるため、相當の温度の差を保有し且東西運動の速度が著しく異つて居る道理である。之を全體として考へると速度と密度を異にする幾つもの層が接觸して存在し相對的に滑り動いて居るといふことになるのである。此境界面の形状はエムデンの計算に據ると左圖の如き切口を有する回轉面系である。尤も太陽



第九十六圖
太陽内部に於ける不連続面

の中に常に斯様な不連続面が完全に成立つて居るといふのではなく、平均に於て斯様な位置に不連続面が出来勝ちであるといふ意に過ぎない。而して偶、或る條件に依り何所かに此種の不連続面がよく發達するときは其所に前記の如き渦動が生じ、若くは生じ易い状態になる

のである。つまり斯様な面が断片的に、一時的に、而して局部的に區々の度合を以て出現するといふのである。

エムデンは太陽全體を完全瓦斯とし、粘性を度外視し且子午線の方に於ける運動なきものと假定し、断熱的對流平衡の下に各部が東西の向きに定常運動をなせるものと考へて、流體力學の式から

$$\frac{dV}{dr} + \theta \frac{dV}{dr} = 0$$

$$\frac{dV}{dr} + \theta \frac{dV}{dr} = \frac{Q}{r^2}$$

なる式を誘導した。但し r は自轉軸 (z) からの距離 R は中心(原點)よりの距離で、 Ω は回轉運動量 V は

$$V = -4\pi \left\{ \frac{1}{R} \int_0^R \rho R^2 dR + \int_R^R \rho R dR \right\}$$

なる式で表はされ、 θ はポテンシアル温度に比例する量である。又二つの不連続面間に含まる θ 及び Ω の均等な層の中に於ては

$$V + \theta \Pi = -\frac{1}{2} \frac{\Omega^2}{r^2} + C$$

なる關係が成立つ。茲に π は壓力に比例するパラメターである。

今 θ_1, Ω_1, C_1 及び θ_2, Ω_2, C_2 でさまる (1) (2) なる二つの隣接薄層を考へるに $\Pi_1 = \Pi_2 = 0$ なる條件に依つて其境界面の方程式が得られる。即ち其面と子午面との切口は

$$V \left(\frac{1}{\theta_2} - \frac{1}{\theta_1} \right) = \frac{1}{2} \frac{1}{r^2} \left(\frac{\Omega_1^2}{\theta_1} - \frac{\Omega_2^2}{\theta_2} \right) - \frac{C_1}{\theta_1} + \frac{C_2}{\theta_2}$$

で與へられる。其切線の方角を與ふる式としては

$$\frac{dr}{dR} = r^2 \frac{dV}{dR} \left(\frac{\theta_2 - \theta_1}{\Omega_1^2 \theta_2 - \Omega_2^2 \theta_1} \right)$$

が得られる。其値は (1) の方が温度高くして角運動小なるときは常に正で大體前圖の如き形となることが明かであるし、又温度相等しく角運動のみ相異るときは零となり不連続面は z 軸(自轉軸)に平行なる軸を有する直圓筒となる。又 $\theta_1 > \theta_2$ なるときは

$$\left[\frac{d(\Pi_1 - \Pi_2)}{dR} \right]_{r=\text{const.}} = \frac{dV}{dR} \left(\frac{1}{\theta_2} - \frac{1}{\theta_1} \right) > 0$$

$$\left[\frac{d(\Pi_1 - \Pi_2)}{dr} \right]_{R=\text{const.}} = \frac{1}{r^2} \left(\frac{\Omega_1^2}{\theta_1} - \frac{\Omega_2^2}{\theta_2} \right)$$

なる故に不連続面は安定であつて、太陽中心を圍る同一球面上に於てはポテンシアル温度高くして角速度小なる方が極に近い側に在る。従つて太陽表面では極に近い方が赤道部より高温であるといふことが出来る。

不連続面の方程式は自轉軸を X 、赤道面を YZ の平面とせる直軸に照らせば

$$\frac{d\omega}{dy} = \frac{1}{\alpha} \left\{ \frac{R}{r^2} \frac{dV}{dR} \phi(\Omega, \theta) - y \right\}$$

なる形にも書ける。但し ϕ は

$$\phi(\Omega, \theta) = \frac{\theta_2 - \theta_1}{\Omega_1^2 \theta_2 - \Omega_2^2 \theta_1}$$

なる式を表はすものである。此式からして不連続面は赤道面と直角に交ることが分る。而して ϕ が小さい程此面は赤道に對する垂直面に近くなる故に、兩側の層の温度の差と角速度の差が大きくなる程曲率が増大する。

同一の層内に於ては回轉運動量の一定であると云ふことからして、角速度は自轉軸よりの距離 r の二乗に反比例し、實速度は其一乗に反比例するといふことが言へる。従つて二層の接觸面に於ける速度の差は自轉軸に近づく程大きくなる。即ち太陽の内部に入る程不連続面に於ける滑べり動が著しく従つて渦動成生の傾向が顯著になつて行く。で渦卷の源は内部に在つて其が表面に傳播して來るのである。

極に近い部では瓦斯の垂直方向の對流が不連続面に沿うて行はれる結果として比較的自由に行はれるが、赤道部では之が不連続面で支へられるやうになり、而かもロハルの成生は益々上下の速度の平均しようとする傾向をにぶらせる。換言すれば極の方では表面の角速度がにぶり易く赤道部ではにぶりにくい。斯様にして太陽自轉の赤道加速を説明することが出来る。

エムデンは黒點を以上の如き機巧で生じた渦卷の中心に於ける低壓部に周圍から瓦斯が吸ひ込まれて行く過程とし、又渦動が内部に潛み表面に現はれぬときは白斑を生ずるものとして居る。

黒點の分布に關してエムデンの説く所は次の如くである。境界面に於ける不連続の度合は深部程著しいことは前記の如くであつて、赤道部では境界面が十分深部迄達して居らぬため黒點渦動は起りにくい。又遙かに極の方に至れば境界面に於ける實速度の差が小さくなる故にやはり渦が生じにくい。従つて黒點は主として中緯度に出現する。

エムデンの理論は或る點に於て甚だ巧みに諸々の現象を説明することが出来る

るが、其基礎假定としたところの對流平衡なるものが太陽の實狀に適應せるものであるか否かは甚だ疑なきを得ないので實際にはむしろ輻射平衡に近いものと考へねばなるまい。況や南北運動の除外、粘性の閉却等止むを得ぬ策ではあるが異論の餘地も少くあるまい。

ジュリウスはエムデンの渦動論を極端に持ち廻はつて、紅焰の異常上昇速度をば異常密度勾配の傳播する爲に現はるゝ光象の移動として解釋し、從來物體其自身の運動として説明することの不可能とされた其の行詰りを打開しようとして試みたが、そもそも密度配布の傳播といふことが毎秒百軒といふやうな高速度を有し得るであらうか其が第一疑問であると思ふ。更に黒點出現度の週期性をばコロナ圈の外迄も延長せる不連續面の影響で起る光線屈折の爲地球からよく見えるときと見えぬ時との差別を生ずるのであるとして居る如きは寧ろ脱線の氣味あるものと言つてよからう。

(一九三)

オツボルツァーはエムデンと反對に均温平衡に近いものと考へて計算をして居る。先づ黒點部の吸収が光球の雲層に生じた裂害中を低温の瓦斯が填充した

ものであるとし、其上には異常に温度の高い層があると考へ、裂害の出来るのは上層から沈降して来る瓦斯が壓縮昇温の結果凝結粒子を蒸發せしめたため、其に伴つて其上部の大氣は異常に透明になり下層の放熱を促進する結果裂害の下底に於ける瓦斯が冷却するのだとして居る。此説は着想を地球大氣の高氣壓性冷却の現象に取り、ウィルソン現象を強ひて説明せんとしてこね上げたかに見える。黒點の中央部に放射狀構造なく至つて静寂にして吸収線の曲歪を認めないのを以て渦動が無い證據として居るが、之は渦動を否定する理由にはならない。

黒點出現の週期性の原因に關しては未だ満足なる説明を與へた者がない。惑星の引力(起潮力)が之と關係あるかの疑を以て研究した者もあるが、理論上其起潮力は甚だ微弱なものであつて黒點發生上格別の役をするものでないことは明かである。ゼルマイアー W. Sellmeier は木星と金星が太陽に對し同時に「衝」又は「合」の位置に来る年數を計算して約十一年となることを確め、又エクホルム E. Ekholm の研究も同様の結果に到達したのであるが往々惑星の位置と黒點數の極大とが伴はぬ場合があるので兩現象の因果關係を主張する根據とするに足らない。エク

ホルムはコロナの荷電粒子に對する惑星の電力に依つて其流線の變形を起し太陽各部の熱放射に異狀を呈する結果其大氣の氣流に變調を生じて黒點發生の機縁の濃淡が出来るものだらうといふ假設を提起して居るけれども計數的の根據が甚だ薄弱であるし、惑星の位置に伴ふコロナの變形に就いては何等實證の材料がないので、單に一個の可能な因子として多少の考慮を拂ふに止めねばならない。惑星の作用が顯著なものであれば黒點數の調和分析に際し相當の週期が算出されねばならぬのに諸家の計算は未だ十分に其證跡を擧げ得ない。

流星群が其軌道の近日點に於て太陽に吸引されて落下するためエネルギーの増大を來し太陽瓦斯の活動を促すといふことが黒點の生因だと考へて居る者もある。ターナーは黒點出現數の週期が時に急變不連續することに着目し約一年の週期で運行する一つの流星群が三三年の週期を有する獅子座流星群に會して其重力で加速若くは減速さるゝ結果落下數極大の時期が平均週期に比して前後にずれるものだとして居る。ターナーは這の不連續期は一七六六年、一七九六年、一八三八年、一八六八年、一八九五年に當り此は獅子座流星群が近日點近くに

來て攪亂作用を逞うし得る時期であるとして居るが、斯様な「黒點流星群」は未だ觀測されて居ないものであるからあまり重きを置くことは出来ない。

之を要するに以上の如く黒點の成因を外界の作用に求むる學説は觀測上からも又理論上からも吾人を首肯せしむるに足らないので、別に内在の力學的プロセスに向つて探究の眼を轉ぜねばならない。

ウィルシングは太陽自轉論に於て太陽物質の不均整分布から生ずる振動的流動を以て黒點數や隆角出現度の消長の原因と見、又ウィルチンスキーは回轉的振動に伴つて密度溫度の週期的變化を起し、其れが太陽活動の増減を齎らすものと考へたが、前にも述べた如く何れも實狀とは大分懸離れた假定の上に論を進めて居るのみならず、週期の長さを計算して觀測と照合することが出来ないもので理論としては甚だ不十分の憾みがある。

(二九四)
ハームは放熱收縮と、收縮昇温と、次いで起る膨脹との繰り返しに依る一種の脈動に伴つて起る週期的の爆發として太陽活動の循環期を説明しようとして居る。今此なる所にある光球が輻射冷却の結果收縮して H_2 : : と次第に内方に退い

たとする。此變化は或る程度迄光球が收縮して(例へば ρ_0 迄)發生する熱と放射する熱とが平衡を保つに至る迄進行する。然るに雰圍氣は外面に在つて冷却し易きため更に濃厚を加へ光球よりの輻射に對する遮蔽作用を増し、其下底に於ける温度が高まつて來て、遂に温度勾配が非常に急峻となり、極度の不安定釣合が現出するに至るだらう。此時些かの刺戟を受ければ釣合が崩れて内部から高熱の瓦斯が隨所に奔騰し、又上方から冷えた瓦斯が流下し來つて激烈な對流が起らなければならぬ。即ちポテンシアル・エネルギーが一種の張力として蓄積され、次第に其が増大して或る限度を超えると平衡を破つて動的のエネルギーとなつて現はれるものである。暫らくすると攪拌の結果上下の温度が平均して釣合が復舊する。而して更に上層の冷却に伴つて同前の経過を繰り返へす。

ハームは數理的に此種の對流の起る度合即ち太陽活動の経過を表はす曲線を求め、其の上り坂が急で下り坂の緩なることや、上り坂の特に急な時には次いで來る極大が特に著しいことを擧げ、觀測から知られて居る事實と一致することを指摘して居るが、其數理には可なり重大な缺點があり且取扱方が抽象的で數理とし

て重きをなすに足らない。

(二九五)

同様な着想で脈動に依つて太陽活動の週期性を説明しようとした者に近頃出たペロの説がある。太陽が赤道及び極に於て交互に縮張する結果として對流や温度分布に變化を來し黒點數の消長を現はすと云ふのであるが、計算に依つて出來る週期は何日といふ程度であつて、十一年といふやうな長い週期がどうして導き出せるかといふことに對する數理的支持點が甚だ薄弱である。

東京帝國大學の寺田教授も同様脈動論を唱へ、又エヂントンが、セファイド變光星の研究に用ゐた如き脈動も可能だが、やはり週期の長さといふ點が困難である。

三三二 太陽の生立と行末

時々刻々に莫大なエネルギーを放捨して止むことない太陽が這の消失に端を發する諸現象の生滅と轉變に依つてエネルギー轉換の理法の嚴乎として全宇宙を支配せる事實を吾人に示して居るとともに、恆久の過程に於ても亦歩々漸變の行路をたどりつゝあるものだといふことは物理學の原則に照らして否むことが

出來ない。之を天文學上天體の開展と稱へる。絶大な體積を有つた稀薄の團塊が重力のため次第に收縮し、收縮に依つて生ずる熱量を以て赤熱、黄熱、而して更に白熱の球體に進展するものだとするヘルムホルツの假設に關しては既に詳述せる所であるが、其着想は遠くカント、ラブラースの唱道した星雲説に緒を得たものと考へられる。當時の星雲説は今日の進歩した物理學の理法から見ても受入れ兼ねる數多の難點を有し、大なる更正を要するものではあるが、依然として此觀念が諸説の基調を成して居るといふことは彼等先哲の偉大を物語るものである。

カントの理論が觀測事實と重力の原則に基いて唱へられたものであることは特筆せねばならない貴さである。カントの出發點は各惑星と當時知られた總ての衛星が悉く太陽の周圍を太陽の自轉と同方向に圍つて居るといふことを解釋するためには始源に於て加へられた或る共通の作能を想定する必要あること、及び總てが同方向の公轉をなすことは嘗て其の間に存在した物質的の連鎖に依つて共同動作を強ひられたものとせねば説明し難いことであつたのである。然しカントの理論の中には到る所に彼一流の哲學的思想が流露して居る。太陽系

の總ての個體は渾沌たる而して渺瀰たる全體から分化し、無差別均整の渾一状態に應はしい静寂は所々に結ばれた心核の吸引作用に依つて破られ、次第次第に個體の運動を惹き起す。而して最強の引力を有する個體に向つて諸方より引寄せられて行く。初は中心體の方に眞直に動いて行くが、其軌道は中間媒質の弾性と個體同士の衝突の結果雜多な曲線軌道になつて中心體を週行する。衝突の結果自轉が生ずる。之等微小個體は相互に衝突し融合成長して次第に大きさを増して来る。之が惑星の前身で中心體は太陽の始である。同様にして惑星の周圍に衛星が生じ又惑星の自轉が起る。

以上はカント星雲説の梗概であるが之を今日の力學的考察に照らすときは見通すべからざる缺陷がある。即ち最初心核として成生された多數の微小個體は全體の重力中心に引寄せられ結局唯一個の自轉中心體が出来上り決してカントの信じたやうな多數の惑星に分れるやうなことはないのである。又カントは太陽及び惑星の自轉は中間の媒質の弾性を仲介として次第に其速度を増し今日の状態を醸成したものと考へて居るが近代的力學の原則からは斯様なことはあり

得ないのである。

ハーシエルも同様な説を立てたが、其は彼の得意な星雲の観測に基いたものであつて、蒸氣の如き物質より成る龐大な發光體が次第に濃密になり、其最濃部を中心として次第に引きしまり、遂に一つの恆星(即ち太陽)になるものだと考へたのである。各種の星雲を這の收縮過程の所々にあてはめたのも面白い。即ち形の不規則な茫漠とした星雲は收縮の未だ始まらぬもの(第九十七圖)形の稍まとまつた光の濃い星雲は内奥部で可なりに收縮が進んで恆星が出来かゝつたもの(第九十八圖)星狀の心核を有するものは既に恆星が出来上つたものと見て居る。

ラブラリスもやはり惑星の自轉や公轉が總て同方向で殆ど同一の平面内に運動し且軌道が大體圓形であるといふことに立脚してカントと同様の説を唱へた。ラブラリスの考に依ると之等の事實を説明するには惑星なるものが太陽と共に自轉する廣漠たる大氣中に出来た物だとしなければならぬ。其カントの説と異なる點は渺瀰渾沌の原始状態に遡らずに、何時の頃からか中央に心核を有する星雲が存在して居るものとして其行末を考へて居るのである。力學的に見て此説



第九十七圖 サジタリウス星座の星雲
(一九二一年六月三十日ウィルソン山に於て)